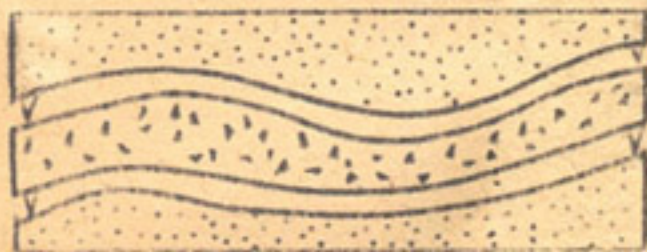


# ГЕНЕТИЧЕСКИЕ ТИПЫ ПОДЗЕМНЫХ ВОД



УДК 556.874.679 (01)

А.Н.Султанходжаев, Г.В.Куликов, А.И.Спиридовонов,  
И.Б.Трофимова, В.Г.Тыминский, Г.Ю.Азизов

О ЗНАЧЕНИИ ИЗУЧЕНИЯ ВОЗРАСТА ПОДЗЕМНЫХ ВОД ПО  
СООТНОШЕНИЮ РАДИОАКТИВНЫХ И РАДИОГЕННЫХ ГАЗОВ  
ДЛЯ ИССЛЕДОВАНИЯ ТЕКТОНИЧЕСКИХ ПРОЦЕССОВ.

Использование данных о содержании гелия и аргона в водорастворимых газах для определения возраста подземных вод было предложено В.П.Савченко в 1935г.(1). Содержание гелия в газах, растворенных в подземных водах, постепенно увеличивается за счет процессов ядерного распада (элементов ряда урана и тория), происходящего в недрах; содержание аргона определяется по его количеству, захороненному в осадочных отложениях вместе с поверхностными водами и не претерпевшему существенных изменений. При этих условиях возраст вод ( $t$ ) определяется  $\text{He}/\text{Ar}$  - отношением:

$$t = A \cdot \frac{\text{He}}{\text{Ar}}, \quad (1)$$

где  $A$  - числовой коэффициент, зависящий от радиоактивности водовмещающих пород, их пористости и плотности, степени отдачи гелия и его диффузии.

Однако трудности использования формулы (1) ограничивают применение Не-Ач - метода. В частности при определении возраста по Не-Ар - методу необходимо проведение трудоемких комплексных исследований физических свойств горных пород (пористости, плотности и радиоактивности) (2). Предположение, что весь аргон поступает в воду из атмосферных осадков, недостаточно обосновано. Исследованиями изотопного состава аргона в газах подземных вод Амударьинского бассейна установлено, что доля радиогенного аргона в наибольее застойных участках бассейна достигают 30-50%, а в горизонтах, где развиты соленосные отложения, превышает 70%. Таким образом, неучет доли радиогенного аргона в зонах слу-чаях приводит к резкому занижению Не/Ар - отношения и соот-

вательно величины возраста подземных вод. Колебания радиоактивности водовмещающих отложений и процессом миграции флюидов (газов и вод) сильно искажают результаты расчета возраста вод как в сторону завышения, так и занижения.

Из вышеизложенного следует, что данные возраста подземных вод, рассчитанные по  $\text{He}/\text{Rn}$  - отношению, необходимо контролировать другим независимым методом. Ранее нами предлагалось проводить это по дейтерию. (3).

Генетическая связь гелия и радона позволяет использовать величину  $\text{He}/\text{Rn}$  - отношения для оценки возраста подземных вод без определения физических свойств горных пород (плотности и пористости) и их радиоактивности.

Концентрация гелия (в см<sup>3</sup>/литр) в поровом пространстве водовмещающих горных пород определяется выражением:

$$\text{He} = 1,14 \cdot 10^{-4} (\text{U} + 0,27 \text{Th}) \frac{d}{P} (1 - K_{\phi}) \cdot K_{\text{отд}} \cdot t; \quad (2)$$

$\text{U}, \text{Th}$  - содержание урана и тория в горных породах в г/г,  $d$  - плотность пород в см<sup>3</sup>/г,  $P$  - пористость пород в долях единицы,  $K_{\phi}$  - коэффициент, учитывающий потери гелия из пластовых вод в вышележащие породы и атмосферу за счет диффузии, в долях единиц,  $K_{\text{отд}}$  - коэффициент отдачи гелия горной породой пластовым водам, в долях единицы,  $t$  - возраст подземных вод, в годах.

Концентрация радона (в эманах) определяется выражением:

$$R_n = 34 \cdot 10^5 \frac{K_{\text{эман}} \cdot U \cdot d}{P}; \quad (3)$$

где  $U$  - содержание урана в горных породах в г/г,

$K_{\text{эман}}$  - коэффициент эманации, в долях единицы.

Из выражения (3) видно, что концентрация радона в подземных водах зависит от содержания урана в городах, их физических свойств и  $K_{\text{эман}}$  и не зависит от времени.

Разделив выражение (2) на (3) и найдя , получим:

$$t = 8 \cdot 10^{10} \cdot \frac{K_{\text{эман}}}{K_{\text{отд}}(1+0,27 \gamma) (1-K_{\phi})} \cdot \frac{\text{He}}{R_n} \quad (4)$$

где  $\gamma = \frac{\text{Th}}{\text{U}}$  - отношение в горных породах.

Обозначив числовой коэффициент

$$8 \cdot 10^{10} \frac{K_{\text{эман}}}{K_{\text{отд}} (1-K_{\phi}) \cdot (1+0,27 \gamma)} \quad \text{через } B, \text{ полу-} \\ \text{ним выражение для возраста вод в более простом виде:}$$

$$t = B \cdot \frac{He}{R_n} ; \quad (5)$$

Рассмотрим возможные числовые значения коэффициента "B". Учитывая, что Котд и Кэман взаимосвязаны между собой, т.к. отражают один и тот же физический процесс - уход гелия из горных пород, можно считать, что колебания Кэман и Котд практически не сказываются на абсолютной величине коэффициента "B". К тому же следует отметить, что колебания Кэман и Котд синхронны, т.е. если увеличивается Кэман, то возрастает Котд и наоборот. В общем случае Котд и Кэман зависят от физических свойств горных пород и физико-химических условий среды. Анализ результатов исследования эманации и потерь гелия показывает, что в большинстве случаев Котд превышает Кэман, примерно в 3 раза. Коэффициент КД изменяется от 0,4-0,8 в зависимости от геолого-тектонических условий района.

Исходя из сделанных предположений, выражение  $\frac{K_{\text{эман}}}{K_{\text{отд}}(1-K_{\text{р}})}$  в первом приближении можно принять равным 1. Кроме того, коэффициент "B" зависит от  $\frac{Ih}{n}$  - отношения ( $I$ ) в породах. При изменении величины  $I$  от 1 до 10 коэффициент "B" изменяется от  $1,65 \cdot 10^{10}$  до  $1,05 \cdot 10^{10}$ . Следовательно, значение коэффициента "B" очень слабо зависит от изменения  $I$  в породах. При среднем значении для осадочных пород, равном 5, коэффициент "B" равен  $1,3 \cdot 10^{10}$ .

Таким образом, формула для оценки возраста подземных вод имеет вид:

$$t = 1,3 \cdot 10^{10} \cdot \frac{He}{R_n} , \quad (6)$$

где He - концентрация гелия в водах, в  $\text{см}^3/\text{лит}$ ;

$R_n$  - концентрация радона в водах, в эманах.

Используя выражение (6), мы рассчитали возраст подземных вод, взятых из скважин Ташкентского и Амударьинского артезианских бассейнов. Концентрация радона в водах определялась в поле эманационным методом. Радон из водных проб объемом 100-150  $\text{см}^3$  переводился в эманационную камеру вакуумным способом. Анализ гелия производился по стандартной методике (4).

Данные определения возраста вод по He/A - отношению

Таблица I

Результаты оценки возраста подземных вод Ташкентского артезианского  
бассейна  $\text{He}/R_n$  — и  $\text{He}/\text{Ar}$  — методами

№ III	Наименование поселка	$\text{He}$ см <sup>3</sup> /литр	$R_n$ дман	$\frac{\text{He}}{R_n}$ -возраст	$\frac{\text{He}}{\text{Ar}}$ -возраст	$\frac{\text{He}}{R_n}$ -возраст	$\frac{\text{He}}{\text{Ar}}$ -возраст	Зона
1.	с/х Капчамек, скв.10 <sup>6</sup>	0,00017	9,0	240.10 <sup>3</sup>	60.10 <sup>3</sup>	4,0	4,0	штад-
2.	ст. Монтантай, скв.18	0,00022	8,0	360.10 <sup>3</sup>	60.10 <sup>3</sup>	6,0	6,0	ния
3.	пос. Дарбаза, скв.18 <sup>0</sup>	0,0005	7,0	900.10 <sup>3</sup>	200.10 <sup>3</sup>	4,5	4,5	
4.	пос. Сарн-Агач, скв.12 <sup>0</sup>	0,00047	7,0	870.10 <sup>3</sup>	200.10 <sup>3</sup>	4,3	4,3	
5.	пос.-Кибрай, скв.8	0,0120	7,0	22.10 <sup>6</sup>	2,4.10 <sup>6</sup>	9,0	9,0	пере-
6.	ст. Джилга, скв.15	0,0014	8,0	2,8.10 <sup>6</sup>	400.10 <sup>3</sup>	6,0	6,0	ход-
7.	пос. Дунайчарского, скв.3	0,0064	5,2	16.10 <sup>6</sup>	2,4.10 <sup>6</sup>	6,6	6,6	ния
8.	Ташинводы, скв.5	0,0170	5,0	44.10 <sup>6</sup>	1,6.10 <sup>6</sup>	28	28	зас-
9.	Дворец водного спорта г.Ташкент, скв.2	0,0174	4,0	57.10 <sup>6</sup>	6,2.10 <sup>6</sup>	9,2	9,2	той-
10.	ст. Пишевик, скв.2	0,0174	4,0	57.10 <sup>6</sup>	5,1.10 <sup>6</sup>	11	11	ная
II.	ст. Чиновод, скв.7	0,0123	5,0	32.10 <sup>6</sup>	0,5.10 <sup>6</sup>	60	60	

Таблица 2.  
Результаты оценки возраста подземных вод Амударьинского бассейна  
 $\text{He/Rn}$  и  $\text{He}/\text{Ar}$  - методами

№	Местоположение скважин	$\text{He}^3/\text{лitr}$	$\text{He}$	$\text{Rn}$	$\text{He/Rn}$ : возраст $: 10^6 \text{ лет}$	$\text{He}/\text{Ar}$ : возраст $: 10^6 \text{ лет}$	$\text{He/Rn}$ : возраст $: 10^6 \text{ лет}$	$\text{He}/\text{Rn}$ : возраст $: 10^6 \text{ лет}$
I.	Ходжакудук, скв. I	0,0071	4,8	17	17	-	1,0	-
2.	Ходжихайрам, скв. I	0,0061	3,2	26	8	-	3,2	-
3.	Актепе, скв. I	0,0155	3,7	52	26	-	2,0	-
4.	Свердлов, скв. I	0,0274	4,5	73	-	-	-	-
5.	Химерек, скв. 2 <sup>3</sup>	0,022	3,7	78	-	-	-	-
6.	Караачкур, скв. I	0,0117	3,6	39	-	-	-	-
7.	Шуртепе, скв. I	0,0206	3,0	65	-	-	-	-
8.	Фарас, скв. 40	0,080	4,0	100	-	-	-	-
9.	Алат	0,0150	2,7	90	-	-	-	-
10.	Караабир, скв. I	0,0151	4,8	40	12	-	3,3	-
II.	Дж.Мубарек, скв. 9	0,0146	2,9	85	30	-	1,1	-
III.	Дж.Мубарек, скв. 13	0,0866	3,6	130	65	-	2,0	-
IV.	Дидузская, скв. 7	0,0264	3,6	91	88	-	1,1	-
V.	Розетан, скв. I	0,0288	2,2	140	115	-	1,2	-

(табл. I) значительно превышают данные, полученные при расчете по  $\text{He}/\text{Ar}_2$  - отношению. Это особенно характерно для наиболее погруженной части бассейна - зоны застойных вод. (3,5).

Для Амударьинского артезианского бассейна (табл. 2) различие в возрасте значительно меньше. Иногда результаты, полученные обоими методами (в пределах ошибок методов), совпадают.

Отмеченная особенность имеет не случайный характер, а является отражением геолого-тектонических процессов Ташкентского и Амударьинского бассейнов.

В зоне застойных вод Ташкентского артезианского бассейна, т.е. в зоне наиболее активных тектонических процессов, различие в значениях возраста вод - максимальное. Застойность гидрогеологического режима в районе подтверждена высоким содержанием дейтерия (6). Аномальные значения возраста по  $\text{He}/\text{Rn}$ -методу свидетельствуют об избыточном наличии гелия в этой зоне бассейна.

Данные, полученные по Амударьинскому бассейну, указывают на то, что основные предпосылки, положенные в основу расчета значений возраста вод, обоснованные. Для этой зоны, видимо, допустимо рассматривать гелий как газ сингнетического происхождения. Полученные данные по возрасту подземных вод соответствуют результатам комплексных радиоизотопных исследований подземных вод этих районов (дейтерий, изотопы урана, радиоактивные элементы и т.д.).

Следовательно, величина отношений значений возраста подземных вод, рассчитанных различными генетическими методами  $t_{\text{He}}-\text{Ar}_2$  ( $t_{\text{He}}-\text{Rn}$ ), является показателем тектонической активности региона и может рассматриваться как индикатор процессов тектогенеза.

#### Л и т е р а т у р а

- И.В.П.Савченко К вопросу о геохимии газов. Сб."Природные газы". ОНТИ, 1935, 9.
- 2.А.М.Овчинников,  
Л.В.Горбушина Вопросы определения возраста подземных вод. "Изв.выш.учеб.завед.", серия геол.и разведки, 1965, 2.

3. Л.В.Горбушин и др. Возраст и пропорции смешения минеральных вод Ташкентского артезианского бассейна."Изв.выш.учебн.з-вов.", серия геол.и разведки, 1967, 7.
4. Л.В.Горбушин, Д.Ф.Зимин, А.С.Сердюкова Радиометрические и ядерно-геофизические методы поисков и разведки месторождений полезных ископаемых Атомиздат, М., 1970.
5. А.Н.Султанходжаев и др. Принципы палеогидрогеологического анализа артезианских бассейнов. "Узб.геол.журнал", 1969, 1.
6. А.Н.Султанходжаев и др. Об использовании соотношений радиоактивных газов в подземных водах с целью оценки их возраста. "Узб.геол.журнал", 1971, 5.

УДК - 556.3 (084.3) 575.

К.А.Сабиров

## О РЕЗУЛЬТАТАХ КАРТИРОВАНИЯ ПОДЗЕМНЫХ ВОД ПОВЫШЕННОЙ МИНЕРАЛИЗАЦИИ СРЕДНЕЙ АЗИИ

Материалы гидрогеологических исследований подземных вод повышенной минерализации Средней Азии легли в основу составления обзорных карт, характеризующих закономерности распространения пресных и солоноватых подземных вод и районирования территории Средней Азии по обеспеченности пресными водами (выделяются два региона: обеспеченный и не обеспеченный пресными подземными водами).

Территории горных, межгорных и внутригорных впадин, предгорных прогибов и площади, занятые крупными подпесчаными линзами пресных вод Каракумов, выделены как регион, обеспеченный пресными подземными водами.

Территории Каракумов, Кызылкумов, Устюрта и Западной части Туркменской низменности выделены как регион, не обеспеченный пресными подземными водами. На карте для каждого региона показаны: контуры распространения перспективных водоносных горизонтов, степень минерализации, химический состав вод, величины динамических и емкостных запасов подземных вод повышенной минерализации.

В пределах сирдарьинской системы артезианских бассейнов Ферганский и Приташкентский выделяются как регион, обеспеченный пресными подземными водами, а группы средне- и нижнесирдарьинских – не обеспеченный.

На территории низне- и среднесирдарьинских бассейнов к отложениям юры, мела, палеогена и неогена-четвертичных приурочены напорные, часто самоизливавшиеся подземные воды.

В неогеновых и четвертичных отложениях содержатся грунтовые воды различной минерализации - от пресных до соленных. К северо-северо-западу минерализация возрастает от I до 10 и более г/л. Расходы колодцев - до 1,2 л/сек. В пределах песчаных массивов распространены небольшие линзы пресных и слабоминерализованных (от 0,5 до 3-5 г/л) грунтовых вод.

Сенонский водоносный горизонт развит повсеместно. На поверхность выходит по периферии, на остальной площади вскрывается на значительной глубине (100-800 м), увеличивающейся в севера на юг. Воды преимущественно слабосолоноватые (I-3 г/л).

Туронский водоносный горизонт, развитый на всей описываемой территории, обнажается по ее окраинам, где обработан несколькими колодцами, а за остальной площади погружается на значительную глубину (до 450 м) и вскрывается скважинами.

Сеноманский водоносный горизонт обнажается на юго-восточной, южной и западной окраинах района и вскрыт глубокими скважинами в его центральных частях. Воды преимущественно слабосолоноватые (I-4 г/л), самоизливающиеся. Дебиты скважин составляют 10-72 л/сек.

Водоносный горизонт альба распространен повсеместно. Воды самоизливающиеся, солоноватые (2-12 г/л). Производительность скважин при самоизливе достигает 10 л/сек.

Аптский водоносный горизонт распространен ограниченно. Деяния скважин от 3 до 23 л/сек. Воды слабосолоноватые (I-12 г/л).

Сведения о водоносности юрских отложений ограничены. Воды солоноватые и слабосоленные. Деяния скважин могут достигать 8,5 л/сек.

Линзы пресных и слабоминерализованных вод четвертичных отложений распространены ограниченно. Подземные воды верхнего мела наиболее перспективны для водоснабжения населенных пунктов, обводнения пастбищ и орошения. Качество их удовлетворяет требованиям, предъявляемым к во-

допойным водам; запасы весьма велики. Дебит одиночных скважин - 5-27 л/сек, а групповых - 500-1000 л/сек. За счет использования солоноватых напорных вод с применением искусственного орошения может быть решена проблема водоснабжения населенных пунктов, совхозов и колхозов.

Амударыинская система артезианских бассейнов включает три группы артезианских бассейнов; верхнеамударыинскую и нижнеамударыинскую.

Верхнеамударыинский артезианский бассейн охватывает территории Сурхандарьинской, Вахшской, Яванской, Кафарниганской и Йхсуйской долин и прилегающие к ним горные массивы. Глубокие скважины вскрывают несколько напорных водоносных горизонтов, приуроченных к четвертичным, неогеновым, палеогеновым, меловым и юрским отложениям.

На территории обширных конусов выноса и аллювиальных равнин рек Сурхан, вахш, Кафирниган, Кызылсу, Шяндж и др. широко развиты грунтовые воды, приуроченные к четвертичным отложениям. В периферийной части конуса выноса грунтовые воды напорные, местами самоизливающиеся. Воды преимущественно пресные и слабосолоноватые; сильносолоноватые характерны для высоких террас, сложенных мелкоземами.

Наиболее широко распространены в пределах артезианского бассейна отложения неогена. Их суммарная мощность превышает 7000 м. Воды этих отложений выходят на дневную поверхность в виде родников с дебитом 0,1-1 л/сек и вскрываются неглубокими колодцами. Обычно воды верхне-неогеновых отложений пресные, однако в зоне недостаточного увлажнения их минерализация повышается до 1-3 г/л.

Водоносные горизонты палеогеновых отложений (алайские и бухарские слои) выходят на поверхность по склонам гор, обрамляющих бассейн. Минерализация I до 10 г/л, с приближением к центру впадины увеличивается до 25-30 и даже до 130 г/л.

Водоносный комплекс верхнего мела включает водонос-

ные отложения сенонского и туронского ярусов.

Сенонский водоносный горизонт приурочен к песчаным и известнякам. Минерализация воды достигает 214 г/л. Относительно менее минерализованные воды (1-10 г/л) развиты в районах выхода сенонских отложений на дневную поверхность.

Туронский водоносный горизонт, приуроченный к известнякам, в одном пункте вскрыт скважиной на глубине 2000 м. Скважина самоизливающаяся. Минерализация воды - 204 г/л., с высоким содержанием йода и брома.

Водоносный комплекс нижнего мела выходит на дневную поверхность узкой полосой по окраинам бассейнов в виде многочисленных родников с дебитами от 0,1 до 1 л/сек. Вода родников - пресная, редко с минерализацией от 1 до 10 г/л.

Юрский водоносный комплекс в пределах бассейнов залегает на больших глубинах и содержит рассолы с высоким содержанием йода и брома.

Пресные подземные воды четвертичных и неогеновых отложений являются основным источником водоснабжения городов, поселков, сельских населенных пунктов, промышленных предприятий, обводнения пастбищ и орошения земель. Естественные запасы вод четвертичных отложений (в долинной части бассейна) составляют 300 тыс. $\cdot$ м<sup>3</sup>. Эти запасы в перспективе могут полностью удовлетворить нужды сельскохозяйственного и городского водоснабжения, обводнения пастбищ и мелководного орошения. Высокоминерализованное, с повышенным содержанием йода и брома, подземные воды юры, мела и палеогена представляют ценность для промышленного использования.

В периферических возвышенных частях района запасы и распространение пресных вод ограничены, поэтому они не могут полностью удовлетворить нужды водоснабжения сельских хозяйств и нефтяной и газовой промышленности. Здесь проблема водоснабжения можно решить за счет спрессования подземных вод неогена и палеогена. Дебит одиночных

скважин может составить 1-8 л/сек, а групповых - 10-100 л/сек. К среднеамударьинской группе относятся два бассейна: Бухаро-Каршинский артезианский бассейн - его территория представлена отложениями палеозоя, юры, мела, палеогена и четвертичной системы. Подземные воды четвертичных отложений в описываемом районе распространены повсеместно. В верхней части водоносного комплекса они часто слабосолоноватые, а в нижней-минерализация их не превышает 1 г/л. Водоносные породы неогена в предгорьях Гиссарского и Зерафшанского хребтов выходят на дневную поверхность, а на остальной площади бассейна вскрываются скважинами. Общая минерализация воды возрастает с востока и северо-востока к западу (от 1 до 8 г/л). Дебиты одиночных скважин - 4-12 л/сек, а групповых 10-100 л/сек. Подземные воды палеогеновых отложений в основном самоизливающиеся. Минерализация - до 3 г/л, но на отдельных участках иногда достигает до 10-30 г/л.

Воды палеогена используются для технического и питьевого водоснабжения и водопоя овец. При эксплуатации соловьеватых и соленых вод дебит одиночных скважин - до 11-16 л/сек, а групповых - до 100 л/сек. К меловым отложениям приурочено более пяти напорных, нередко самоизливающихся, водоносных горизонтов. Вблизи областей питания воды пресные или слабосолоноватые; к югу минерализация увеличивается до 5-10 г/л, а иногда и более (до 58 г/л). Дебит одиночных скважин - 4-5 л/сек. Воды юрских отложений высокоминерализованные (10-540 г/л), до рассолов, с большим содержанием йода и брома. Подземные воды палеозойских изверженных и метаморфизованных осадочных (известняки и песчаники) пород на участках выклинивания питают родники с пресной водой. На больших глубинах (до 1500-2000 м) содержатся высоконапорные, часто самоизливающиеся воды с минерализацией от 17 до 114 г/л и повышенным содержанием йода и брома.

Общие прогнозные эксплуатационные запасы пресных

подземных вод района составляют около 9 м<sup>3</sup>/сек, из них вод четвертичных отложений - более 6 м<sup>3</sup>/сек. Запасы вод с минерализацией 2-5 г/л - около 11 м<sup>3</sup>/сек, из них используются около 9 м<sup>3</sup>/сек. Пресные подземные воды, приуроченные, главным образом, к предгорной части района, могут полностью обеспечить сельскохозяйственное водоснабжение, обводнение пастбищ и мелкоаэзисное орошение. В южной и западной частях бассейна для водоснабжения необходимо использовать солоноватые воды неогена, палеогена и мела после их опреснения.

Каракумский артезианский бассейн занимает центральную равнинную часть Каракумов, сложенную мезокайнозойскими - юрскими, меловыми, палеогеновыми, неогеновыми и четвертичными образованиями, общей мощностью до 3500-4000 м. Здесь выделяются пять гидрогеологических районов третьего порядка: Центрально-Каракумский, Заунгусский, Предкотедагский, Туаркирский и Карабогазгольский.

К восточной части Каракумского артезианского бассейна приурочено несколько водоносных комплексов. Неогеновые и четвертичные отложения содержат грунтовые воды. В пределах Центральных и Юго-восточных Кызылкумов водовмещающей толщей служат нижне- и среднечетвертичные пески, а в северо-западной части бассейна - верхненеогеновые песчаники и пески. Глубина залегания грунтовых вод от 0 до 260 м; наибольшая - более 100 м - в пределах возвышенностей Карабиль и Бадхиз; от 20 до 50 м - территории предгорной равнины и западной части Сарыкамыса; 10-20 м - почти на всей площади низменных Каракумов; менее 10 м - для Копет-Дага и вдоль Аму-Дарьи и Каракумского канала. В таких же пределах изменяется мощность водоносного горизонта. Пресные и слабосолоноватые воды распространены на территории конусов винosa горных рек Копет-Дага, узкой полосой вдоль Аму-Дарьи и Каракумского канала, и образуют ряд крупных линз - Ясханская, Ахча-Куймысская, Джили-Кумская, Восточно-Заунгусская, Балучинская, Мургаб-Амударьянская и Мур-

таб-Таджикской. На остальной площади района преобладают солоноватые и соленые (до рассолов) грунтовые воды. Воды с минерализацией более 35 г/л широко распространены на западе низменной части Каракумов. Дебит одиночных скважин 2-20 л/сек, групповых - 400-1000 л/сек. Естественные запасы их превышают 245 млн.м<sup>3</sup>. в пределах бассейна подземные воды палеогена, мела, юры по минерализации и химическому составу различны. Слабоминерализованные воды (до 3-10 г/л) распространены в пределах хр.Копет-Дага. Водоносные комплексы этих отложений залегают на дневной поверхности. С продвижением от гор к предгорьям водоносные комплексы погружаются под четвертичные отложения до 5000-6000 м. Минерализация увеличивается до 35-50 г/л и более. Ближе к Центральным Каракумам зона соленых вод сменяется зоной рассольных - сначала слабых (35-50 до 100 г/л), а затем крепких (100-250 г/л). Изменяется также химический состав воды - от гидрокарбонатно-кальциевого до хлоридно-натриево-кальциевого. Соответственно увеличивается температура воды от 20 до 100-150<sup>0</sup>С (Предкопетдагский прогиб). Из вышеизложенного видно, что подземные воды палеогена, мела и юры Каракумского артезианского бассейна отличаются высокой минерализацией, измеряемой десятками и сотнями граммами на литр. В связи с глубоким залеганием и минерализацией грунтовых вод невозможно орошение и использование их для питьевого водоснабжения и орошения.

Грунтовые воды неогеновых и четвертичных отложений являются основным источником водоснабжения. Наиболее водообеспеченны предгорные равнины Копет-Дага, где прогнозные эксплуатационные запасы пресных подземных вод составляют 9800 л/сек. Используется лишь незначительная часть.

В пределах дельт Мургаба и Таджика пресные воды распространены на незначительных участках и используются для водообеспечения скотоводческих хозяйств. На остальной,

большей части Центральных и Заунгусских Каракумов, подземные воды встречаются только в виде мелких линз. Для этой территории проблема снабжения населения пресной водой может быть решена за счет опреснения соленых и солоноватых подземных вод, магазинирования атмосферных осадков или путем переброски пресных вод из соседних районов.

В пределах Центрально-Кызылкумского артезианского бассейна подземные воды приурочены к отложениям палеозоя, мела, палеогена, неогена и четвертичной системы. Подземные воды четвертичных и неогеновых отложений развиты почти повсеместно. Минерализация их - от I до 30 г/л, водообильность пород небольшая (0,2-6 л/сек). Подземные воды палеогена солоноватые и соленые (2-10 г/л). Глубина залегания кровли водоносных отложений возрастает по направлению к центральным частям бассейна. Водообильность их незначительная (0,5-1,5 л/сек). Сенон-Туронский водоносный комплекс мела характеризуется относительно высокой водообильностью (2-20 л/сек). Мощность водоносных пород и их глубина залегания увеличивается к центру впадины (от 20-30 до 400-500 м). В этом же направлении наблюдается постепенное увеличение минерализации подземных вод, по преимуществу слабосолоноватых (I-10 г/л). Подземные воды сеномана, распространенные на большей части территории, характеризуются высокими напорами и значительными дебитами скважин (2-10 л/сек). Подземные воды палеозойских отложений широко развиты в окраинных частях горных массивов. Дебиты источников - 0,5-3 л/сек (Тамдытау). Воды пресные, реже слабосолоноватые. Пресные подземные воды палеозоя и четвертичных отложений распространены в горной и предгорной частях районов; в равнинной - слабосолоноватые воды меловых отложений. Дебит одиночных скважин до 2-20 л/сек. Воды вполне пригодны для обводнения пастбищ, но для использования их с целью водоснабжения необходимо искусственное опреснение.

В Западно-Туркменской низменности подземные воды раз-

вity в отложениях верхнего мела, палеогена, неогена и четвертичной системы. Воды четвертичных отложений нестрые по водообильности и степени минерализации (до 100 г/л). Дебит одиночных скважин незначительный - 0,06-1,5 л/сек. К мощной глинистой толще ашхеронского яруса приурочено несколько водоносных горизонтов. Воды напорные, иногда самоизливающиеся, по степени минерализации - от соленых до крепких рассолов. Отложения акчагыла содержат два-три водоносных горизонта, разделенных глинами. Воды самоизливающиеся, высокоминерализованные, содержат йод и бром.

Для красноцветной толщи неогена характерно чередование водосодержащих и водоупорных пород. В ней выделяется до 20-30 водоносных горизонтов со значительным дебитом (4-12 л/сек). Воды самоизливающиеся, сильносоленные (до 25-30 г/л), до крепких рассолов (200-250 г/л). Минерализация вод уменьшается от верхних горизонтов к нижним.

В аллювиальных и эоловых отложениях встречаются линзы пресных и слабосолоноватых вод. Наиболее крупные из них - Бугдалинская, Каракульская. Общие естественные запасы - 6 млн.м<sup>3</sup>. Многие мелкие линзы иссякают.

Из вышеизложенного видно, что источником водоснабжения Западно-Туркменской низменности могут служить подземные воды четвертичных отложений предгорных возвышенностей Копет-дага и южной части Большого Балхана. В равнинной части дефицит можно покрыть за счет орошения подземных вод (однако, распространение их ограничено, мощность незначительна, минерализация превышает 50 г/л). В приморских районах целесообразно производить орошение морской воды, минерализация которой гораздо ниже.

В пределах Устюртского бассейна подземные воды вскрыты буровыми скважинами в отложениях неогенового, палеогенового, мелового и юрского возрастов. Палеогеновые отложения являются региональным водоупором для грунтовых вод неогена.

в неогеновых отложениях выделяются два водоносных горизонта: сарматских и тортонаих отложений. По условиям залегания подземные воды сармата и тортона являются грунтовыми. Глубина залегания сарматского водоносного горизонта уменьшается от 50 (в области поднятия) до 5 м (в области понижения рельефа), минерализация увеличивается с севера на юг от 1-3 до 30 г/л и более. Производительность скважины увеличивается до 5 л/сек, при понижениях 10-15 м. Водообильность сарматских отложений увеличивается с юга на северо-запад и по мере углубления.

Мощность водоносного горизонта тортона увеличивается в направлении (погружения) к шору Барса-Кельмес от 10-16 м до 30-50 м. Глубина залегания кровли водоносного горизонта колеблется от 25 до 70-80 м и более. Минерализация вод изменяется от 4 до 30 г/л. С приближением от возвышенных частей рельефа к области (понижений) разгрузки, минерализация воды достигает 100 г/л. Величина расхода скважин изменяется от 1 до 6 л/сек, при понижении уровня воды на 4-10 м.

Подземные воды мела и юры вскрыты глубокими нефтяными скважинами на структурах Шахпакта, Байтерек, Терен-Кудук, Аламбек, Кохбахта и др. Воды напорные, самоизливающиеся. Удельные дебиты скважин составляют от 0,001 до 1 л/сек. Степень минерализации подземных вод мела и юры зависит от глубины залегания водовмещающих пород и колеблется в пределах от 3-30 до 120-160 г/л и более. Химический состав воды - преимущественно хлоридно-натриевый.

Из вышеизложенного видно, что в пределах бассейна наиболее перспективны для практического использования водоносные горизонты сармата и тортона. Общая величина расходов потока их составляет около 1  $m^3$ /сек. Воды пригодны для технического водоснабжения. Проблему питьевого водоснабжения следует решать за счет опреснения.

Картографическое обобщение материалов по изучению подземных вод повышенной минерализации Средней Азии показывает, что эти воды для многих районов могут служить

основным или важным дополнительным источником водоснабжения, обводнения пастбищ и орошения земель. Следующий этап гидрогеологических исследований в этом направлении — картирование подземных вод повышенной минерализации в более крупных масштабах и уточнение перспективной оценки их эксплуатационных запасов. Экономическая оценка целесообразности использования соленых и солоноватых подземных вод должна основываться на сопоставлении стоимости  $1 \text{ м}^3$  воды, полученной опреснением или доставляемой из ближайшего источника пресной воды. Должны учитываться и другие возможные источники водоснабжения: местные поверхностные пресные и соленые воды. Стоимость  $1 \text{ м}^3$  опресненной подземной воды при этом определяется как сумма удельных капиталовложений в разведку, бурение и оборудование водозаборов, удельных эксплуатационных расходов и стоимости опреснения.

В дальнейшем необходима детальная разработка экономических критериев, принципов и методики изучения подземных вод, оценка их эксплуатационных запасов по промышленным категориям и определение целесообразности использования вод повышенной минерализации для различных целей.

УДК 556.3:551.762 (575.15+575.192)

Г.В.Куликов, С.Е.Козорез, Н.А.Филиповский,  
М.Р.Хамраев

## ГЕОЛОГО-ИСТОРИЧЕСКИЕ УСЛОВИЯ ФОРМИРОВАНИЯ ЮРСКОГО ВОДОНАПОРНОГО КОМПЛЕКСА ЮГО-ЗАПАДНОГО УЗБЕКИСТАНА

Результаты гидрогеологического изучения юрского водонапорного комплекса Юго-Западного Узбекистана позволяют говорить о специфичности этого комплекса на общем фоне мезокайнозойского разреза территории. К основным гидрогеологическим особенностям юрского водонапорного комплекса относятся: резкие перепады гидравлических потенциалов на сравнительно близко расположенных площадях как в пределах Чарджоуской, так и Бухарской ступенях; падение пластовых давлений с юго-востока на северо-запад; смена гидрохимических зон в субмеридиональном (с северо-северо-востока на юг-юго-запад) направлении, не увязываемая с общими направлением падения напоров; сохранение в наиболее погруженных районах юрского водонапорного комплекса подземных вод с повышенным содержанием радиоактивных элементов, в частности урана; резкое преобладание в составе растворенного газа углеводородов.

Отмеченные особенности являются закономерным результатом многообразных и сложных преобразований, происходивших в изучаемом регионе в процессе его геологического развития.

История формирования подземных вод юрского водонапорного комплекса тесно связана с пятью основными периодами геолого-тектонических преобразований региона: рэт - нижне-юрским, среднеюрско-келловей-оксфордским, кимеридж-титоно-ким, мел - палеогеновым и неоген-четвертичным.

Изучаемая территория к началу перми представляла горно-складчатое сооружение, гипсометрически более высокое, чем Кызылкумы. С юго-востока и северо-запада оно ограничивалось глубинными древними разломами - Амударьинским и Предкызылкумским.

Активное развитие Амударьинского разлома в перми обуслов-

вело спускание вдоль него Амударьинской впадины. В нее сносились весь обломочный материал с эродируемой Бухаро-Хивинской складчатой области. К концу триаса она оказалась полностью симелированной (2).

Пенеплацизация возвышеностей в позднем рате в условиях влажного климата ограничивала развитие гидрографической сети, что обусловило возникновение в поймах рек и понижениях озер, впоследствии заболачивающихся. Поздний триас изучаемого региона характеризуется как период стабилизации суши, в течение которого, наряду с активными процессами выветривания, происходило интенсивное заболачивание, способствовавшее созданию высококислотной среды осадконакопления (9).

Нижнеюрская эпоха знаменуется оживлением активности в зоне древнего регионального Бухарского разлома, отделившего в нижней юре приподнятую часть Кызылкумского щита от зоны осадконакопления. О движениях в нижней юре в зоне этого разлома свидетельствует уступообразный характер нарастания мощностей отложений лейаса и отсутствие соответствующих накоплений в приподнятой части уступа (2).

С нижнеюрской эпохой в регионе связано заложение и развитие депрессий в условиях континентального режима, при резком изменении знаков колебательных движений (8).

В нижней юре, по сравнению с верхним триасом, области аккумуляции расширились, а области сноса, отступив к северо-востоку в пределы современной Бухарской ступени, в крайней зоне сбрасывались и создали сложный рельеф. Возникла серия внутрибассейновых поднятий: два — вдоль Амударьи, северо-восточнее Чардоу и Дарган-ата, и два — в районе современных Денгизкуля, Андабазара и Карабулбазара. На востоке и северо-востоке областями эрозии являлись Гаурдак-Тюбегатанское поднятие и Гиссарский хребет. В результате по долинам рек, в полосе предгорий и предгорных равнин накапливается терригенный материал. На равнинах в поймах рек развивалось заболачивание. Господствовали процессы механического перераспределения осадков.

Климат нижней юры был гумидным и, в отличие от климата в верхнем триасе, носил черты тропического. Развитие растительности по долинам рек и водоразделам благоприятствовало

накоплению органических масс, рассеянных в породах или сконцентрированных в виде пластов торфяников (углей). Геохимический режим в осадках характеризовался окислительными процессами с локальным проявлением восстановительной обстановки (8).

Таким образом, в рэт-нижнеюрский период изучаемая территория представляла собой обширную, ступенчато погружающуюся на юго-запад область. Большую часть территории Бухарской ступени занимали горные сооружения и предгорья, где преобладали процессы денудации и размыва палеозойских пород. Районы современной Чардоуской ступени, имевшие сложный рельеф, являлись бассейном аккумуляции пресноводных русловых, пойменных и озерно-болотных осадков. Рэт-нижнеюрский этап является периодом формирования подземных вод в континентальных условиях, протекавшим в обстановке непостоянства знака колебательных движений, но с тенденцией непрерывного погружения региона вдоль Бухарского глубинного разлома. В юрских отложениях в это время накапливались пресные, богатые кислородом подземные воды. Формирование их химического состава происходило в условиях влажного теплого климата, в обстановке изменения геохимического режима от резко восстановительного до окислительного.

В областях поднятий на территории современной Бухарской ступени в коре выветривания палеозойских пород и по разломам формировались локальные участки пресных вод (5,3).

В пределах аллювиальных равнин Чардоуской ступени, в обширных зонах заболачивания подземные воды были обедлены кислородом в связи с окислением захороняемой органики. В этих условиях, по-видимому, могли накапливаться воды, обогащенные гидрокарбонатами натрия и кальция (3).

Следует выделить два важных тектонических момента формирования юрского водонапорного комплекса в нижнеюрское время: 1) возрождение древнего Бухарского разлома и опускание вдоль его плоскости территории современной Чардоуской ступени, что послужило началом первой стадии захоронения и тектонической изоляции молодых водоносных горизонтов, сформировавшихся в нижних секциях разреза нижнеюрских отложений; 2) зарождение на территории Чардоуской и южной части

Бухарской ступени первых внутрибассейновых антиклинальных структур.

Среднеурский этап развития региона является периодом проявления первой региональной трансгрессии мезозойских морей (I).

В связи с общим погружением региона область эрозии сокращается, по сравнению с нижнеурской, отодвигаясь к северо-востоку. Рельеф суши был выравнен.

Большая часть территории современной Бухарской ступени оказалась ниже уровня моря. На фоне опускающихся площадей выделяются участки малоамплитудных поднятий – Сарыташ, Карабазар, Андабазар, Газли, Ташкудук, Курбанали, Султан-санжар. Многие структуры, контрастно выраженные в нижней юре, в средней юре были перекрыты, но их конседиментационное развитие продолжалось и в последующее время (8).

Территория Каршинского района и юго-западных отрогов Гиссара в нижней и средней юре отличалась большей подвижностью, по сравнению с районами, примыкавшими к ней с запада. Эта территория выделяется в виде самостоятельной окраинно-платформенной впадины. Мощность среднеурских осадков увеличивается в ней более чем в два раза, по сравнению с мощностью этих осадков на западе (2). Это обстоятельство позволяет предполагать, что сочленение Каршинского района и юго-западных отрогов Гиссара происходит по разлому, влиявшему на среднеурское осадконакопление в зоне в 20–25 км восточнее Карактая. Формирование среднеурских осадков до середины келловея происходило в условиях активизации тектонических движений на фоне постоянно трансгрессирующего моря, благодаря чему области сноса периодически омолаживались. Это подтверждается обогащением среднеурских осадков в предгорных зонах грубообломочным материалом, запесоченностью и плохой отсортированностью осадков внутри морского бассейна, отличавшегося непостоянством гидродинамического режима природных слоев воды (8). В зонах затишья создавалась возможность развития нейтральной и восстановительной среды. В данной обстановке отлагались мощные и выдержаные по площади дласти черных аргиллитов, обогащенных рассеянной органикой, но лишенных следов фауны (Гирсан, Айзуват).

Среднеурский период, особенно бат, а также ранний кел-

ловей характеризуется интенсивным водообразованием в среде растений и животных, чему благоприятствовали потепление климата и нормальная соленость морских вод. Для позднекелловейского и оксфордского периода характерны аридизация климата, ослабление тектонической напряженности водосборов и прогрессирующее погружение региона. Взаимодействие этих факторов обусловило развитие обширной трансгрессии. В пределах ее сформировались мощные толщи карбонатных осадков. Наиболее погруженные зоны выполнялись чистыми карбонатами. В зонах прибрежья, где повышается гидродинамическая активность придонного слоя воды, в карбонатных породах отмечается незначительное содержание терригенного материала. На участках, огражденных от моря береговыми валами, развивались осолоненные лагуны. Осадконакопление в открытом морском бассейне, где придонные течения ослаблены, протекало за счет процессов химического осаждения карбонатов из морских вод и жизнедеятельности организмов.

Рельеф водосборов, незначительно возвышавшихся над уровнем моря, был пологим, слаженным, что подтверждается незначительным содержанием в биогенных и хемогенных отложениях терригенных примесей. Речной сток отсутствовал. Процессы выветривания протекали очень слабо. Глубина моря была незначительной. Воды отличались нормальной соленостью. Геохимическая среда открытых неглубоких частей бассейна была нейтральной или даже окислительной, что благоприятствовало развитию придонных организмов. Климат был сухим и жарким. Необходимо выделить следующие важные для данного периода истории развития региона положения.

Среднеурско-раннекелловейское время является этапом формирования подземных вод в условиях господства обширного морского водоема на фоне интенсивного погружения региона. Это период захоронения ранее сформированных осадков и подземных вод и дальнейшей тектонической изоляции их, вследствие дифференцированной подвижности отдельных площадей.

Вполне вероятно, что тектоническое вкрапливание подземных вод нижнеурских и среднеурских отложений началось в этот период и на востоке региона, вдоль зоны Западно-Тяньшаньского глубинного разлома. Разлом мог являться важной структурной линией во время накопления осадков лейаса-доггера.

Территория изучаемого региона была полностью охвачена трансгрессией моря. Области водосборов, отступившие до линии Карайз-Тувак - тау, имели пологий, слаженный рельеф (особенно в позднем келловее - оксфорде).

В средней юре и нижнем келловее накопление обломочно-карбонатных осадков и формирование в них подземных вод происходило в обстановке гумидного климата, значительной активизации тектонических движений и напряженности водосборов. Благодаря этому воды захоронялись в условиях активного гидродинамического режима в придонных слоях, опреснения морских вод и осадков в прибрежной зоне, за счет речного стока со стороны суши, окислительного геохимического режима и богатства биоценоза растений и животных.

Весьма важной особенностью этого периода является существование в придонных частях бассейна локальных зон восстановительной обстановки, которая в совокупности с устойчивым прогибанием дна моря являлась благоприятной для преобразования остатков органических веществ в углеводородные флюиды. В таких участках могли формироваться воды, обогащенные гидрокарбонатами натрия и кальция (3).

Начало кимеридж-титонского этапа развития региона характеризовалось проявлением региональных поднятий, обусловивших широкую регрессию вод морского бассейна. На месте былого моря в условиях аридного климата и слаженного рельефа был образован крупный солеродный бассейн, в пределах которого выделяются внутренняя и краевая зоны галогенонакопления. Для разреза внутренней зоны бассейна (охватывающего юго-восточная часть Чарджоуской ступени и Бешкентский прогиб) характерны четыре литологических элемента, снизу вверх: карбонатно-ангидритовая, ангидрит-галитовая, ангидритовая и терригенно-галитовая. Для краевой зоны характерны сокращенные разрезы, сложенные преимущественно карбонатными, терригенными и сульфатными породами. Анализ распределения мощностей осадков кимеридж-титона не дает основания предполагать наличия в этот период проявления структурообразующих движений.

Таким образом, кимеридж-титонский этап развития региона явился завершающим периодом формирования всей системы юрского водонапорного комплекса.

Водоупорная кровля его представлена сложной по составу и различной по проницаемости полигалогенной формацией, в разрезе которой практически непроницаемым экраном является ангидрит-галитовая толща. В центральной части Чардоуской ступени эта толща сложена практически чистым галитом. Развитие ее с севера и востока ограничено глубинными разломами (рис. I).

В краевой зоне региона водоупорная кровля представлена ангидритовыми и терригенно-ангидритовыми породами, не обладающими качествами идеального экрана.

Почти повсеместно площадь распространения солеродно-бассейновой седиментации перекрывается толщами тонкодисперсных и песчанистых глин, иногда переходящих в крепкие аргиллиты с тонкими прослойками алевролитов и песчаников, общей мощностью от 0 до 30-70 м. Эта пачка отложений карабильской свиты, относящейся к нижнему мелу, увеличивает экранирующие свойства водоупорной кровли.

Появление мощной соленосной кровли в сочетании с прогрессирующим погружением региона способствовало еще более значительной изоляции и глубокому захоронению подземных вод, сформировавшихся в терригенных и карбонатных комплексах юры. Захороненные вместе с хемогенными осадками лагун воды представлены рассолами хлор-натриевого и, возможно, хлорид-кальциевого состава (3). В течение всего периода гидрологического развития юрского водонапорного комплекса в его системе преобладал седиментационный (элизионный) водообмен, число циклов которого (от нижней юры до верхнего неогена) составило 1,9 (5).

Значительное увеличение геостатических нагрузок в наиболее погруженных зонах региона способствовало перемещению подземных вод по направлению к краевым частям бассейна и разгрузке их вдоль водосборов и в сводовых частях внутрибассейновых поднятий (рис. I). Процессы инфильтрации, благодаря аридному климату и наличию соленосной водоупорной кровли, затруднившей связь водоносных горизонтов с дневной поверхностью, не получили развития. Гречие отложения к этому времени оставались насыщенными седиментационными водами (5,7).

В рассмотренный период определились контуры района, на ранней стадии развития которого внутрипластовые давления

комплекса уже превышали гидростатические.

В мелпалеогеновый период изучаемая территория продолжала находиться в зоне прогрессирующих опусканий в обстановке активного продвижения на север седиментационного бассейна, перекрывающего к дат - палеоценовому времени всю область Кызылкумского шита. На фоне погружения, благодаря малоампли-тудным движениям противоположного знака, развивались ранее зарожденные и обособлялись новые структуры - Карабаир, Майдаджай, Шурсай, Байбурак и многие др.

Дат-палеоценовый континентальный перерыв в осадкообразовании, обусловленный сменой длительных опусканий поднятиями, не вызвал существенных изменений в гидрогеологической обстановке юрского водонапорного комплекса, т.к. вся система его к этому времени была надежно захоронена под мощной толщей вышележащих осадков. В разрезе комплекса продолжали развиваться процессы алиционного водообмена и дальнейшей метаморфизации вод. (5,?).

Неоген-четвертичный этап явился периодом оформления современной структуры изучаемого региона. Интенсивные и контрастные тектонические движения обусловили возникновение многочисленных разрывов в пределах воздымавшихся горных обрамлений и равнин (Юный Мубарек и др.) и в пограничных между ними районах. Вертикальные подвижки блоков фундамента происходили по возрожденным в данном периоде древним и вновь возникающим разломам. Образовавшиеся разломы ориентированы нормально к древним, глубинным. Складкообразование развивалось в районах, совпадающих в плане с площадями роста поднятий на ранних этапах развития региона. Таким образом, унаследованный характер развития структур сохранялся. Вертикальные движения усложнили строение зародившихся ранее региональных зон поднятий, разбив их на блоки. Самой особенностью этого периода является формирование прогибов, обособивших зоны региональных поднятий (Бешкентский прогиб (2).

Размах тектонического воздымания горных сооружений в плиоцене достигает почти 2000 м в Гиссарском хребте, 1000-1100 м - в Карабыбинском и 500-600 м в Зарабулак-Зияйтдинских и Кульдуктаусских поднятиях. Воздымание их происходило по обновленным древним разрывам (по надвигу на

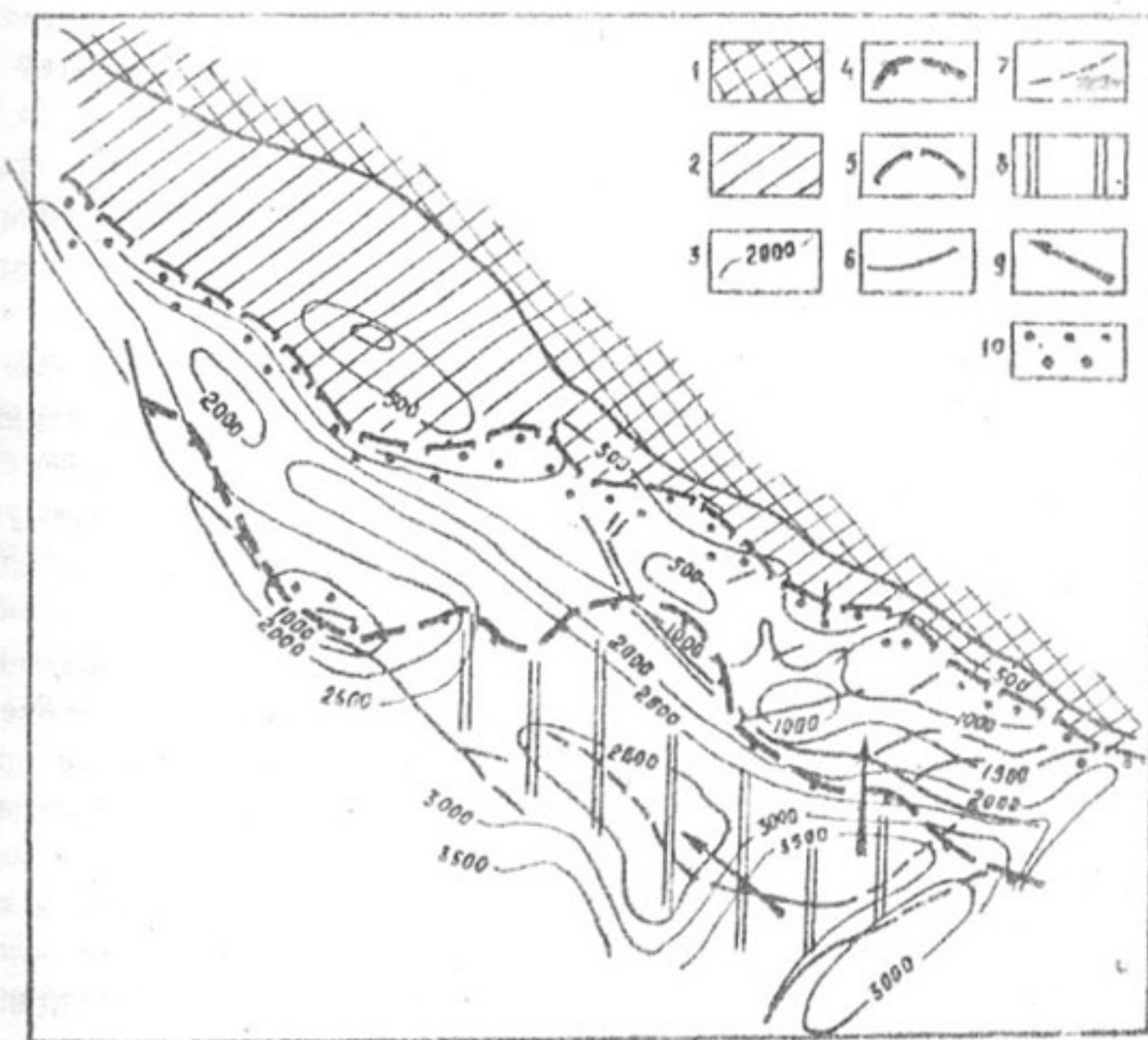


Рис. I. Схема гидрогеодинамических условий юрского водонапорного комплекса Сго-западного Узбекистана на конец титонского века.

I - область отсутствия юрских отложений; 2 - область отсутствия отложений киммеридж-титона; 3 - линии равных мощностей юрских отложений на конец титона; 4 - область распространения водоупорной кровли комплекса ангидрит-гипсового состава; 5 - область распространения водоупорной кровли комплекса карбонатно-ангидрито-терригенного состава; 6 - разрывные нарушения; - 7 - то же, по предположению; 8 - площади развития максимальных геостатических нагрузок (область основного направления седиментогенных вод комплекса); 9 - основные направления движения вод комплекса; 10 - главные зоны разгрузки вод юрского водонапорного комплекса.

севере Гиссарского хребта, сопряженному с ним Лянгарскому разлому и др.). Возникшие горные сооружения соответствовали по площади районам их современного развития. Интенсивные тектонические движения в сочетании с увлажненным климатом в верхнем плиоцене привели к образованию в Тянь-Шане и на Памире горного оледенения. Таяние снега и льдов в горах увеличило водоносность палеорек Зарафшан и Кашка-Дарья и многочисленных более мелких водотоков со стороны северного и восточного обрамления.

Контрастность блоковых движений в пределах равнинных пространств привела к перераспределению давлений и к изменению условий движения вод в водоносных горизонтах во всей изучаемой водонапорной системе. Наряду с возникновением условий для перетока пластовых вод из одних горизонтов в другие, создавались целые зоны их тектонического экранирования. Развивались очаги и зоны питания и разгрузки подземных вод.

Гидрогеологическая обстановка, сложившаяся в системе юрского водонапорного комплекса в плиоценовое время, не претерпела за четвертичный период существенных изменений и в целом соответствует современной.

Контрастные блоковые движения обусловили разрывы и смещения водоупорной кровли юрского комплекса по плоскостям региональных и локальных разломов с амплитудой от десятков до сотен метров, намного превышающей мощность экранирующей кровли. Это привело к созданию (в каждом из блоков) сложной и стратиграфически индивидуальной взаимосвязи рассматриваемого комплекса с вышележащими водоносными горизонтами.

Так, в блоках - грабенах возникли структурные "мешки" (ловушки), где породы-коллекторы юрского комплекса экранируются с одной или двух боковых сторон плоскостями палеозойского фундамента, а сверху - соленосной кровлей. В прилегающих к ним блоках - горстах проникающие породы юрского комплекса соединяются с водоносными горизонтами нижнего или верхнего мела (рис.2). Подобные условия были созданы преимущественно в пределах Бухарской ступени, севернее одноименного глубинного разлома.

Во внутренней, погруженной зоне региона, в пределах Чардоуской ступени и Бешкентского прогиба, тектонические движения вызвали в рассматриваемом комплексе перераспреде-

ление давлений (в сторону их снижения) и интенсивное отка-  
тие седиментогенных вод из глин в породы – коллекторы с по-  
следующим перемещением их на северо-восток, к краевым зонам и  
очагам локальной разгрузки. В сводах структур, испытывавших  
наибольшие геодинамические нагрузки, формировались участки,  
пластовые давления в которых превышали гидростатические ва-  
поры (рис.2). Гидравлическое влияние на ДВК водосборов с  
севера и со стороны юго-западных отрогов Гиссара вряд ли  
было возможным вследствие тектонически сложного сочленения  
областей регионального поднятия и прогибания.

Региональная разгрузка юрского водонапорного комплекса  
в вышележащие горизонты осуществлялась в северо-западной  
части региона, севернее зоны выклинивания соленосной водо-  
упорной кровли (рис.2).

Изложенное позволяет сделать следующие выводы.

Гидродинамические условия характеризуемого водонос-  
ного комплекса определяются историей развития региона, осо-  
бенно в ее юрский и неогеновый этапы: развитием и периоди-  
ческим оживлением древних глубинных разломов, расколотых  
регион на гигантские блоки, важнейшим из которых является  
Башкентский прогиб и прилегающая к нему часть Чардоуской  
ступени до Денгизкуля; прогрессирующим погружением регио-  
на; дифференцированными малоамплитудными движениями поло-  
мательного знака, обусловившими на фоне общего погружения  
развитие локальных антиклинальных структур и региональных  
внутрибассейновых поднятий; наличием полигалогенной водо-  
упорной кровли; крайне сложным тектоническим сопряжением  
областей водосборов и прогибаний; интенсивными контрастными  
тектоническими движениями, расчленившими бассейн юрского во-  
донапорного комплекса на множество тектонически изолированных  
блоков; усилением контрастности внутрибассейновых ло-  
кальных и региональных структур; формированием крупных меж-  
структурных прогибов (Башкентского и др.); разрывами водо-  
упорной кровли по вертикали с амплитудой, превышающей ее  
мощность.

Гидрохимические особенности рассматриваемого комп-  
лекса (состав вод, минерализация, их радиохимический облик)  
создавались на протяжении трех юрских этапов геологических  
и палеогидрологических преобразований (рэт – нижне-юроко-

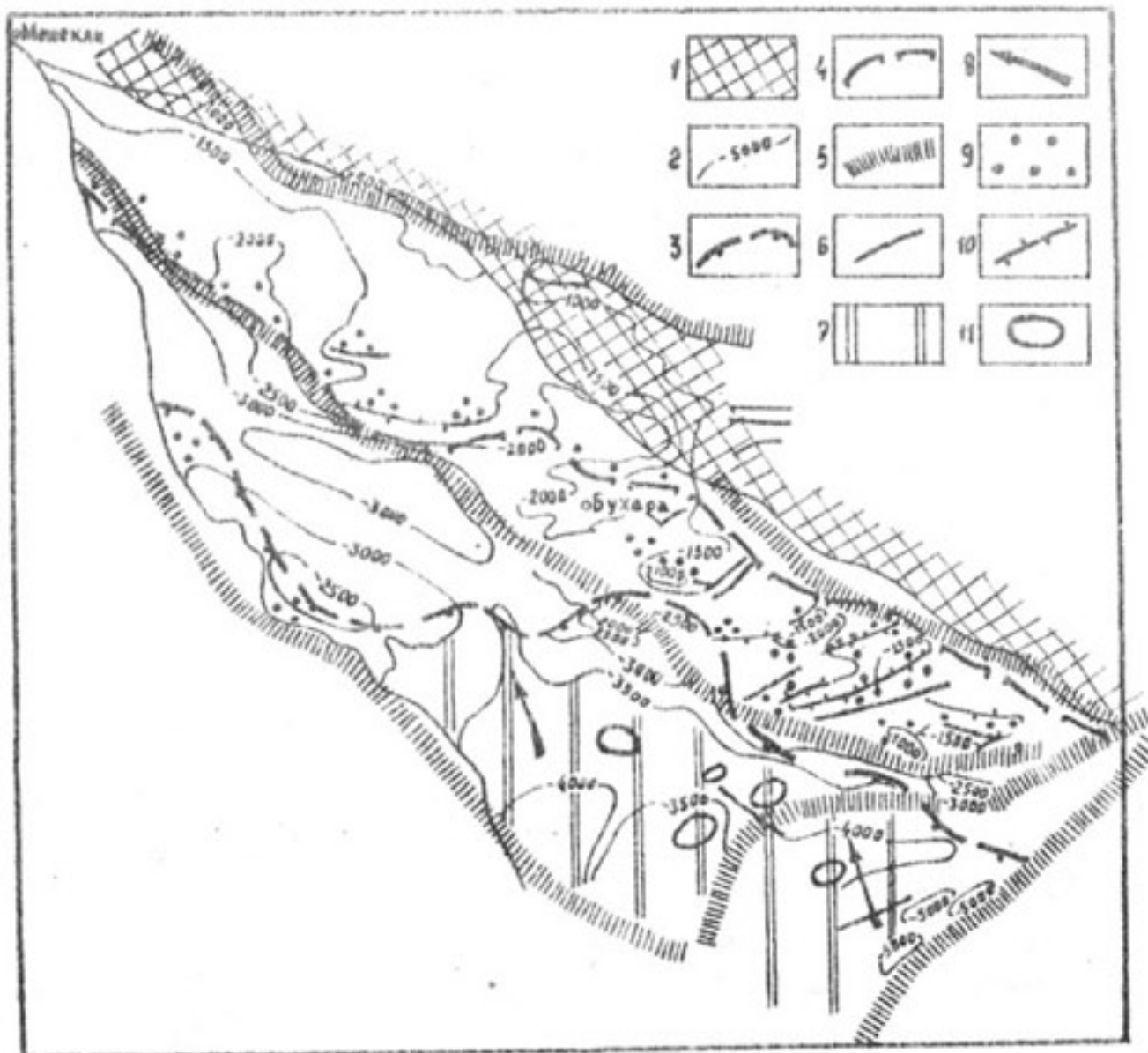


Рис.2. Схема гидрогоеодинамических условий юрского водонапорного комплекса Юго-Западного Узбекистана на современный период.

I - область отсутствия юрских отложений; 2 - изогипсы подошвы юрских отложений (структура юрского водонапорного комплекса); 3 - область распространения водоупорной кровли комплекса ангидрит-галитового состава; 4 - область распространения водоупорной кровли комплекса карбонатно-ангидритотерригенного состава; 5 - главнейшие зоны разломов, проявившиеся в мезозойское и кайнозойское время, разделяющие крупные геоструктурные элементы; 6 - прочие разломы, осложняющие фундамент и платформенный чехол; 7 - площади развития максимальных геостатических нагрузок (область основного питания седиментогенных вод комплекса); 8 - основные направления движения подземных вод; 9 - основные очаги и зоны разгрузки вод комплекса; 10 - зоны возможной гидравлической связи юрского и мелового водонапорных комплексов по тектоническим нарушениям; II - участки с пластовыми давлениями, превышающими гидростатические давления (по результатам бурения).

го, среднеюрско-нижнекелловейского и верхнекелловей - ким - меридж-титонского).

Наблюдаемая сейчас тенденция снижения минерализации вод ПВК с юга на север является следствием:

а) процесса отжатия вод из глинистых отложений в коллекторы и дальнейшего их оттока в краевые зоны бассейна;

б) опресняющего воздействия поверхностного стока с древних водосборов.

На всех этапах геологического развития региона, исключая неоген-четвертичное время, движение подземных вод в системе ПВК на территории изучаемого региона было направлено от наиболее погруженных районов к основным зонам расположения водосборов и крупным внутрибассейновым антиклинальным поднятиям (рис. I). В неоген-четвертичное время, после коренной перестройки структурного плана, региональное направление движения подземных вод установилось с юго-востока на северо-запад.

Разгрузка подземных вод юрского водонапорного комплекса осуществляется в вышележащие горизонты. Зоны и очаги региональной разгрузки расположены, в основном, в пределах Бухарской ступени, в присводовых частях локальных структур и наиболее приподнятых, тектонически напряженных крупных блоковых поднятий. На площадях развития водоупорной крымы движение подземных вод по направлению к очагам и зонам разгрузки происходит по сложной системе многочисленных изолированных блоков путем вертикального перераспределения их в вышележащие горизонты через тектонические окна в водоупорах (рис.2).

На послеюрских этапах развития региона инфильтрационный сток со стороны горного обрамления существенного влияния на гидродинамику юрского водонапорного комплекса не оказывал.

#### Л и т е р а т у р а

I.А.Г.Бабаев

О некоторых геологических и гидрогеологических закономерностях формирования и размещения нефтяных и газовых месторождений Западного Узбекистана „Геология нефти и газа“, № 5, 1963 .

2. А.Г.Еабаев Геотектоническая история Западного Узбекистана и региональные закономерности размещения скоплений нефти и газа . Изд-во "Недра", Ленинград, 1966 .
3. Е.А.Баро - Пластовые воды продуктивных горизон - тов Бухаро-Каршинской нефтегазоносной области . Изд-во "Недра", Москва, 1966г.
4. А.А.Карцев и др. "Палеогидрогеология", Изд-во "Недра", Москва, 1969 .
5. В.А.Кудряков Гидрогеология мезозойских отложений южной части Бухаро-Хивинской нефтегазоносной области . Госгеолтехиздат, Москва, 1963 .
6. Е.В.Лебзин Принципы тектонического районирования Западного Узбекистана и сопредельных районов Туркмении В кн."Тектоника Туркмении и сопредельных территорий . Изд-во "Наука", Москва, 1966 .
7. Л.М.Михайлов Подземные воды Бухаро-Каршинского нефтегазоносного артезианского бассейна. Тр.ВСИГЕИ, вып.12, 1962 .
8. В.И.Троицкий Верхнетриасовые и юрские отложения Южного Узбекистана, Изд-во "Недра", Л., 1967 .

УДК 556.314.6.02 (575.11)

А.Н.Султанходжаев, П.И.Чалов, С.У.Латыпов

О КОМПЛЕКСНОМ ИСПОЛЬЗОВАНИИ СТАБИЛЬНЫХ И РАДИОАКТИВНЫХ ИЗОТОПОВ В ИЗУЧЕНИИ ГИДРОГЕОЛОГИЧЕСКИХ УСЛОВИЙ ПРИТАШКЕНТСКОГО АРТЕЗИАНСКОГО БАССЕЙНА

В течение 1965-1970 годов институтом ГИДРОИНГЕО в Приташкентском артезианском бассейне проведены работы по комплексному изотопному исследованию с целью выяснения генезиса и динамики подземных вод меловых отложений (3,5, 6,9).

Приташкентский артезианский бассейн приурочен к крупному предгорному прогибу, ограниченному на востоке предгорьями Курамино-Чаткальской складчатой области, на северо-востоке - горами Казы-Курт, на севере - (условно) возвышенностями Боганали, Мансур-Ата, Алим-Тау и Карагатау, на западе - Кызылкумским артезианским бассейном и на юге - зоной выклинивания меловых отложений вблизи Мехнаткам-Писта-литауского кряжа.

Все комплексы пород, слагающих Приташкентский бассейн, являются водоносными. Выделяются 6 водоносных комплексов: грунтовые и субнапорные воды четвертичных отложений; межпластовые воды отложений неогена; межпластовые воды палеогена; межпластовые воды мела; межпластовые воды юри; трещинные и трещинно-карстовые воды палеозоя.

Большой интерес вызывает изучение горизонта трещинно-поровых минеральных вод, приуроченного к переслаивающимся толщам песчаников, песков и глин среднечанакской свиты.

Воды этого горизонта гидрокарбонатно-натриевые, температура от 17° до 70°, что обусловлено различной глубиной их залегания. Воды - напорные, пьезометрический уровень их - от 10 до 50 метров над поверхностью земли в районе Чулей: в районе Сары-Агача, Ишанкургана - 12,9-17,5 атм,

в центральной части бассейна (г.Ташкент) - 19,5 атм (максимум).

Характерные особенности этих вод: повышенное содержание хлоридов и сульфатов, слабая минерализация, состав гидрокарбонатно-натриевый, наличие кремнекислоты (в среднем около 30 мг/л), повышенная щелочность (рН 8-8,2), незначительная жесткость - 1,4 - 2, присутствие железа, молибдена, меди, марганца, ванадия, радона, растворенных газов (азот, гелий, кислород) и других элементов (2). Этот состав вод определяет их бальнеологические свойства. Кроме того, после газирования углекислотой воды используются как столовые минеральные.

На базе этих минеральных вод создано несколько лечебниц (им.Семашко; Чинабад, Ташкентские минеральные воды и др.). Широкое применение получила искусственно газированная ташкентская минеральная вода.

В последние годы (с 1963 г.) силами институтов ВНИИЯГГ, ГИДРОИНГЕО, МГРИ в Приташкентском артезианском бассейне применяются радиогидрогеологические и изотопные методы для выявления гидрогеологических условий бассейна. Получены первые сведения о возрасте подземных вод, о содержаниидейтерия, урана, радия, кислорода и других (3, 5, 6, 9). При расчете возраста вод использован гелий-argonовый метод. Определен возраст подземных вод мелового горизонта - от 60-70 тыс. до 4 млн. лет. Причем, "молодые" воды распространены вблизи областей питания (северо-восточная часть), а "древние" - в погруженных (центральных) частях бассейна. По содержанию дейтерия рассчитаны пропорции смешения инфильтрационных и седиментационных вод и их доля в составе минеральных вод.

На территории г.Ташкента и за его пределами из глубоких скважин нами неоднократно отбирались пробы вод, приуроченных к пескам и песчаникам Чанакской свиты. Определялось содержание дейтерия, гелия, аргона, урана, радия, радона и изотопных отношений  $U^{234}/U^{238}$ .

Возраст подземных вод рассчитан по гелий-аргоновому методу (3). При этом использованы также данные по радио-

активности пород, степени отдачи гелия из пород, геолого-структурным особенностям района (1,3,4,6,7,9).

По этим данным возраст подземных вод меловых отложений в районе исследования от 0,20 до 3,5 млн. лет. (табл.1).

**Возраст подземных вод меловых отложений При-  
ташкентского артезианского бассейна.**

Таблица I

№:	Скв.	Местоположение	He/A <sub>Z</sub>	Возраст (млн. лет)
1	1	Парк "Победа"	0,040	2,04
2	2	Парк "Победа"	0,050	2,4
3	3	Дворец водного спорта	0,045	2,32
4	4	ТашМИ	0,045	2,3
5	5	Ташминводы	0,027	1,44
6	7	Чинабад	0,036	1,81
7	6	Институт бахчевых культур	0,025	1,32
8	8	Дуначарское	0,063	2,5
9	9	Кибрай	0,093	3,85
10	10	Санаторий "Ботаника"	0,091	3,42
11	11	Текстилькомбинат	0,036	1,84
12	12	Янгиюль	0,092	3,83
13	13	Институт им. Шредера	0,018	0,92
14	14	Черниевка	0,023	1,17
15	15	Пос. Капланбек	0,004	0,18
16	16	Пос. Дарбаза	0,0045	0,23

Изучение изменения концентрации дейтерия проведено на основе фотонейтронного метода (6). Концентрация дейтерия в подземных водах меловых отложений Приташкентского артезианского бассейна изменяется в широких пределах в зависимости от расположения точек опробования (таблица 2).

Содержание дейтерия в подземных водах меловых  
отложений Приташкентского артезианского бассейна.

Таблица 2

№ пп	Скв.	Местоположение	Концентрация дейтерия в отн. стандарта X)
I	I	Парк "Победа"	1,00
2	2	Парк "Победа"	1,00
3	3	Дворец водного спорта	1,01
4	4	ТашМИ	1,01
5	5	Ташминводы	1,00
6	7	Чинабад	1,00
7	8	Луначарское	1,04
8	9	Санаторий "Ботаника"	0,28
9	15	Пос. Капламбек	0,98
10	16	Пос. Дарбаза	0,99
II	18	Чирчик (речная вода)	0,93
12	19	Пос. Ходжикент (родник)	0,93
13	20	Пос. Чимган (ледниковая вода)	0,93
14	21	Сел. Паркент (родник)	0,93

х) За стандарт принята Московская водопроводная вода, в которой содержится 0,0147 от.% дейтерия.

В пределах Приташкентского артезианского бассейна возраст подземных вод и концентрация дейтерия увеличиваются с северо-востока на юго-запад. В восточной и северо-восточной части бассейна (области питания) концентрация дейтерия меньше - до 0,95 отн. стандарта (рис. I).

По направлению к центру бассейна концентрация дейтерия увеличивается. Изолинию концентрации дейтерия с величиной "0,95" можно принять за границу меловых вод исключительно инфильтрационного происхождения. На этих участках возраст вод менее 0,5 млн. лет. Далее выделяется полоса вод с концентрацией дейтерия от 0,95 до 0,98. В этой зоне настывает смешение седиментационных инфильтра-

1—изолинии возраста (лет) подземных вод,  
2—изолинии значений  $U_{234}/U_{226}$ ,  
3—изолинии концентрации дейтерия.  
4—направление потока меловых вод с указанием скорости движения, 5—точки опробования меловых вод;  
цифры означают: в числителе номер стважины, в знаменателе — возраст вод. справа—содержание дейтерия, сделана г—значение  $U_{234}/U_{226}$ , б—линия разломов, 7—выходы палеогеновых отложений, 8—выходы меловых отложений, 9—выходы палеозойских отложений.

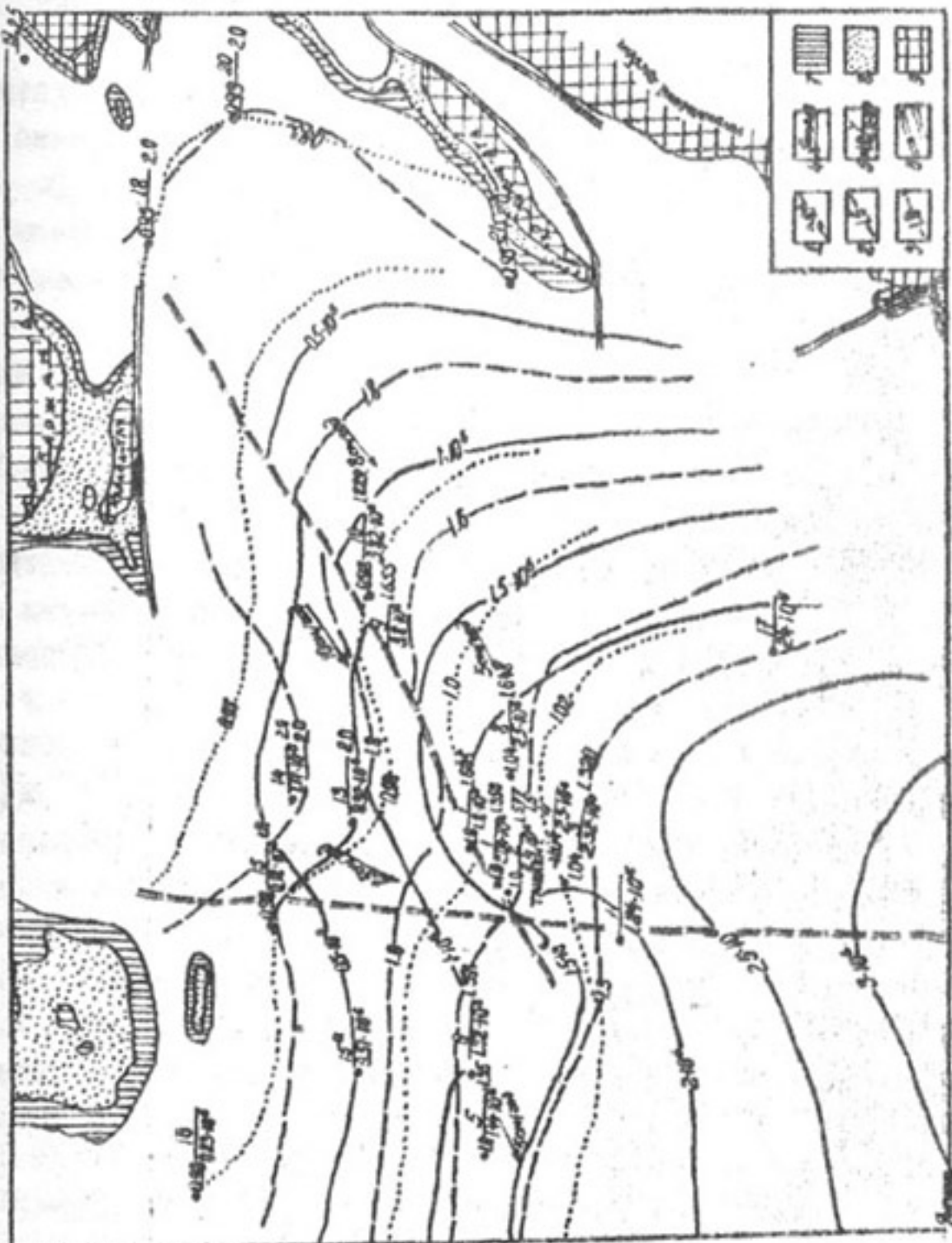


Рис. 1. Схема изменений концентрации дейтерия, значений соотношения  $U_{234}/U_{226}$  и возраста подземных вод меловых отложений Пригашенского артезианского бассейна

ционных вод на одну долю инфильтрационных вод приходится 0,5 долей седиментационных. Вышеперечисленные пояса по гидродинамическим условиям можно отнести к зоне активного водообмена.

Следующая зона расположена между изолиниями 0,98 - 1,00, где на одну долю инфильтрационных приходится 0,75 долей седиментационных вод.

Для территории города Ташкента характерно максимальное погружение меловых отложений. Концентрации дейтерия (I-I,04) повышенная; возраст вод - до 3 млн. лет. В самых глубоких частях бассейна на одну долю инфильтрационных вод приходится примерно одна доля седиментационных. Для получения дополнительных сведений о гидродинамике подземных вод в комплекс изотопных исследований нами включено исследование изотопного состава урана ( $U^{234}/U^{238}$ ). Основные положения, определяющие возможность использования отношения  $U^{234}/U^{238}$  для решения некоторых гидрогеологических задач:

1- изотопный сдвиг в уране природных вод не зависит от гидрохимических факторов и определяется, главным образом, составом пород, подвергающихся выщелачиванию (8,10);

2- наблюдаемое изменение изотопного отношения  $U^{234}/U^{238}$  в пластовых водах, по сравнению с первоначальным значением, в основном зависит от ядерных свойств самих изотопов. Интенсивный распад  $U^{234}$  по отношению  $U^{238}$  приводит к уменьшению значения  $U^{234}/U^{238}$ .

Исследованиями Чердынцева В.В., Чалова П.И. (10) найдены уравнения для расчета изменения числа атомов  $U^{238}$  и  $U^{234}$  в изучаемом объекте со временем, которое в известной мере характеризует изменение изотопного состава урана и в подземных водах. Одно из этих уравнений

$$\frac{\delta t - 1}{\delta_0 - 1} = e^{-\lambda_2 t} \quad (1),$$

где  $\delta_t$  и  $\delta_0$  - современное и начальное значение величины  $U^{234}/U^{238}$  показывают изменение содержания изотопов урана, если в систему уран поступил только в начале геологического процесса. В условиях подземных вод такое явление,

хотя и возможно (инфилтрационные воды, омывающие собственно рудное тело), но наблюдается очень редко, так как уран в земной коре находится в рассеянном состоянии и в подземные воды поступает вследствие растворения и выщелачивания. Если подземные воды циркулируют в одном горизонте с выдержаным литологическим составом, то поступление урана в них происходит постепенно, с почти одинаковой скоростью. Изменение изотопов урана в этом случае характеризует уравнение предложенное Чердынцевым В.В., Чаловым П.И. (10).

$$\frac{\delta_t - 1}{\delta_0 - 1} = \frac{1 - e^{-\lambda_2 t}}{\lambda_2 t} \quad (2)$$

3. Уран поступает в состав минералов в момент их образования и является структурной единицей кристаллической решетки. При растворении он может мигрировать. Продукты его распада ( $U^{234}$ ) за счет энергии радиоактивной отдачи попадают в разрушенные части минерала. Вероятность попадания атомов распада в такие части возрастает с увеличением количества нарушений. Подземные воды, проходящие через эти трещины, легко выщелачивают продукты распада. В результате наблюдается повышение значения отношения изотопа дочернего к изотопу родоначальника ( $U^{234}/U^{238}$ ). Таким образом, аномальные значения, резко отличающиеся от равномерно изменявшихся величин изотопного сдвига, могут свидетельствовать о наличии тектонически разрушенных зон.

Исходя из высказанного можно сделать вывод: отношения  $U^{234}/U^{238}$  в сочетании с другими гидрохимическими показателями могут быть применены при определении генезиса вод, путем движения, источников питания, и их возраста. Поэтому в комплекс гидрологических исследований нами включено изучение изотопного состава урана в термально-минеральных водах Приташкентского артезианского бассейна.

В подземных водах меловых отложений Приташкентского артезианского бассейна отмечается наличие значительного количества урана. Этому благоприятствуют химический (гидрокарбонатный) состав и наличие достаточного количества (до 7 мг/л) кислорода в зоне активного водообмена, создающего

окислительно-восстановительный потенциал, при котором уран интенсивно переходит из пород в воду.

Пробы на изотопный анализ урана нами отбирались из 10 скважин и нескольких родников в городе Ташкенте и его окрестностях. Для выделения урана из больших объемов проб воды (до 100 литров) нами использован метод концентрирования на активированном угле. Определение изотопного отношения урана выполнено в радиометрической лаборатории Института физики и математики АН КиргССР под руководством доктора технических наук П.И.Чалова.

Данные средних значений  $U^{234}/U^{238}$  по точкам опробования приведены в таблице 3.

Значение  $U^{234}/U^{238}$  в подземных водах меловых

отложений Приташкентского артезианского бассейна

Таблица 3

№ скв.	Местоположение скважин	$U^{234}/U^{238}$
8	Луначарское	1,648
9	Киброй	1,655
10	Чинабад	1,605
2	Парк "Победа"	1,577
4	ТашМИ	1,401
6	Институт бахчевых культур	1,391
1	Парк "Победа"	1,350
5	Ташминводы	1,348
8	Дворец водного спорта	1,320
10	Санаторий "Ботаника"	1,229
13	Институт им. Шредера	2,000
14	Пос. Черняевка	2,000
15	Пос. Капламбек	1,8
16	Пос. Дарбаза	1,8
18	р. Чирчик (речная вода)	2,0
29	Пос. Ходжикент (родник)	2,5
20	Пос. Чимган (ледниковая вода)	2,0
21	Пос. Паркент (родник)	2,0

Как видно из вышеприведенной таблицы, для проб воды из зоны, охватывающей основную область питания меловых вод Приташкентского артезианского бассейна, характерно относительно высокое (2,0-2,5) значение отношения  $U^{234}/U^{238}$ . По значениям отношения  $U^{234}/U^{238}$  выделена зона I:8-2, соответствующая району гидродинамически активного водообмена.

Меловые воды центральной части (территория г.Ташкента) Приташкентского бассейна характеризуются заниженным значением отношения  $U^{234}/U^{238}$  (от 1,22 до 1,65). На основании среднего значения изотопного состава урана меловые воды можно отнести к водам, приуроченным к песчано-глинистым породам (таблица 3), что вполне соответствует действительности. В меловых водах значение  $U^{234}/U^{238}$  уменьшается с востока на юго-запад, до минимума в более глубоких частях бассейна. Встречаются аномальные величины  $U^{234}/U^{238}$ : в пробах воды из скважины 9 (санаторий "Ботаника") значение  $U^{234}/U^{238} = 1,229$  (сильно отличающееся от расположенных рядом скважин). Это объясняется тем, что в результате разлома этот участок был погружен на значительную глубину, а сам разлом играл экранирующую роль для меловых вод. Об очень замедленном водообмене на этом участке говорит и возраст подземных вод (4 млн. лет), рассчитанный по гелий-argonовому методу, и повышенная минерализация воды (1,15 г/л). Как отмечалось выше, максимальное значение (до 2;5)  $U^{234}/U^{238}$  наблюдается в пробах вод, отобранных в области их питания. Низкое значение изотопного отношения урана отмечается, как предполагалось, в водах скважины 3 (Д.В.С.) - в самой погруженной части бассейна. Это обстоятельство позволяет судить о направлении движения воды и его скорости. Нами подсчитана скорость движения меловых вод (табл.4) на нескольких участках. При этом предполагалось, что пластовые воды на своем пути обогащаются ураном равномерно и наблюдаемое изменение  $U^{234}/U^{238}$  зависит от ядерных свойств самих изотопов. Для расчета времени ( $t$ ), затраченного водой на прохождение от одной скважины к другой, пользовались уравнением (2).

Результаты расчета скорости движения подземных вод меловых отложений Приташкентского артезианского бассейна по данным изотопных отношений урана.

Таблица 4

Нр пп	Интервал	Длина ин- тервала, м	Разница в возрас- те, тыс. лет	Скорость движения воды, см/год
1	Ходжикент-Чирчик	17000	312	5,4
2	Чирчик-Кибрай	22000	328	8,6
3	Ходжикент-Кибрай	45000	705	6,4
4	Ходжикент-Луначарское	56000	717	7,8
5	Луначарское-ТашМИ	5600	370	1,5
6	ТашМИ-ДВС	1500	165	1,00
7	Черняевка-Чинабад	11000	400	3
8	Черняевка-Ин-т бахче- вых культур	20000	825	2,5
9	Капламбек- Ин-т бахче- вых культур	15000	800	2,0
10	Чинабад- Ин-т бахче- вых культур	13000	340	3,8
11	Чинабад-Ташминводы	16500	441	4,2
12	Чирчик-Чинабад	40000	400	10

Из таблицы 4 видно, что скорость движения вод изменяется от одного до десятков см/год. Причем минимальная скорость наблюдается в центре бассейна, в районе скв. З (ДВС), что говорит об очень замедленном водообмене в этой части бассейна. Об этом свидетельствуют возраст вод, рассчитанный по  $\text{He}/\text{Ar}$  методу (2,5 млн. лет), и данные по концентрации дейтерия (1,04). В краевых частях бассейна скорость движения подземных вод увеличивается, на исследуемом участке достигая 10 см/год.

Меловые воды западной части бассейна имеют более занизенную величину изотопного отношения урана. Это свидетельствует о значительной доле в их составе вод, поступающих с восточной части бассейна. Возраст этих вод по гелий-аргоновому методу исчисляется от 20 тыс. лет до первых млн. лет.

Приуроченность к меловым горизонтам вод относительно молодого возраста объясняется близостью областей питания (выходы меловых пород на поверхность в районе Приташкентских чулей). В Приташкентских чулях питание меловых водоносных горизонтов за счет атмосферных осадков незначительно (малое количество осадков (4)). Изучение изотопного состава урана подтверждает это положение. Данные измерения величины  $U^{234}/U^{238}$  в пробах скважин 5 и 6 показывают, что эти воды имеют более отдаленную область питания. Повторные измерения сдвига изотопных отношений урана в водах скважин Приташкентского бассейна установили незначительное изменение этой величины со временем. Некоторые изменения отмечаются в водах скважин, расположенных в крайних частях бассейна и вблизи разломов. В водах центральной части бассейна (скв. 3,4) почти не отмечено изменения изотопного отношения урана со временем. Это еще раз говорит об очень спокойном режиме вод в центре бассейна, по сравнению с краевыми частями.

Таким образом, первые, довольно немногочисленные сведения по изотопному составу урана в водах Приташкентского артезианского бассейна свидетельствуют о перспективности данного метода, позволяющего в комплексе с другими методами изучать гидродинамический режим бассейна, определять направление и скорость движения вод, пути их поступления и, до определенной степени, возраст.

В заключение необходимо отметить следующее:

Возраст меловых вод Приташкентского артезианского бассейна - от 0,5 до 3,8 млн. лет, при этом "молодые" воды (до 0,5 млн. лет) распределены вблизи областей питания (северная и восточная части), по направлению к юго-западу возраст увеличивается;

Подземные воды меловых отложений формируются путем инфильтрации атмосферных вод на участках выхода отложений. По данным концентрации дейтерия, в погруженных частях бассейна происходит смешение инфильтрационных и осадочных вод. Интенсивная эксплуатация Ташкентских минеральных вод может увеличить количество инфильтрационных вод и ускорить поступление их в эти участки.

Изменение значения изотопных соотношений  $U^{234}/U^{238}$  зависит в основном от возраста вод. По значениям  $U^{234}/U^{238}$  рассчитаны скорости движения подземных вод различных участков бассейна: в краевых частях - 10-8 см/год, в центральной-минимальной, до 1 см/год. Полученные результаты по исследованиям изотопных отношений урана и сопоставление их с данными других методов свидетельствуют о перспективности этого метода. Дальнейшее усовершенствование его, несомненно, даст геологам и гидрогеологам новый метод датирования геологических и гидрогеологических процессов с возрастом до 2,5 млн. лет.

Использование данных по изотопному составу вод, возрасту и изотопным отношениям урана в совокупности с гидрогеохимическими показателями позволяет наиболее точно выяснить генетические и гидродинамические условия артезианских бассейнов.

#### Л и т е р а т у р а

1. Ахмедов Б. Определение естественного расхода потока вод методом ЭГДА на примере Ташкентского артезианского бассейна. Док. АН УзССР, 1963, 10.
2. Бедер Б.А. О путях широкого использования термальных вод Приташкентского артезианского бассейна. "Узб. геол. журнал", 1958, № 5.
3. Горбушина Л.В. Возраст и пропорции смешения минеральных вод Ташкентского артезианского бассейна. Изд-во выс. уч. завед., Серия "Геология и разведка", 1967, 2.
4. Мавлянов Г.А. Подземные воды и свойства горных пород Приташкентского района. Изд-во АН УзССР, Ташкент, 1963.
5. Султанходжаев А.Н. Неравновесный уран в подземных водах Приташкентского артезианского бассейна. Тыминский В.Г., "Узб. геол. журнал", 1970, 3.  
Танеев Р.Н.

6. Султанходжаев А.Н.  
Тыминский В.Г.  
Сурганова Н.А.  
Розанова И.М.
7. Султанходжаев А.Н.  
Дусходжаев Х.Р.  
Хасанова Л.А.
8. Сиромятников Н.Г.
9. Тыминский В.Г.  
Султанходжаев А.Н.  
Розанова И.М.
10. Чалов П.И.
- Принцип палеогидрогеологического анализа артезианских бассейнов. Узб. геол. журн., 1964, 1.
- Об основном очаге разгрузки подземных вод Сырдарьинского артезианского бассейна. Док. АН УзССР, 1962, 9.
- Миграция изотопов урана, радия и тория и интерпретация радиоактивных аномалий. Алма-Ата, 1961.
- К оценке гидрогеологических условий Пританкентского артезианского бассейна. Узб. геол. журнал, 1966, 3.
- Датирование по неравновесному урану. Изд-во "ИЛIM", Фрунзе, 1968.

УДК 556.364.01 (575.4)

Ф.А.Алексеев, Л.Г.Соколовский, А.Н.Султанходжаев, Р.Н.Танеев

## К ВОПРОСУ ОБ ОБЛАСТИХ РАЗГРУЗКИ КАРАКУМСКОГО АРТЕЗИАНСКОГО БАССЕЙНА

Огромная территория Каракумского артезианского бассейна от Зарабулак-Заэтдинских гор, гор Нура-Тау и Кульджук-Тау на востоке до сухого русла Узбоя на западе, от чинков Устюрта на севере до хребтов Копет-Дага, Паропамиза — на юге изучена неравномерно. Неполнота и разнородность получаемых материалов обуславливает возникновение противоречивых толкований вопросов о закономерности движения подземных вод, их генезисе, характере разгрузки и т.д. Так как Каракумский артезианский бассейн является одновременно крупным нефтегазоносным районом, выяснение указанных выше вопросов представляет большой интерес для оценки нефтегазоносности его недр.

В **слабоизученных** районах о характере гидродинамической активности подземных вод можно судить по объему восходящих вод из глубоких горизонтов разреза. Существует мнение, что разгрузка пластовых вод мезозойского комплекса Каракумского бассейна происходит в бессточных впадинах Каражора, Сарыкамыша, Султансанджара и др. (I), на отдельных участках сухого русла Узбоя. Здесь накопились значительные массы антропогеновых солей. Соляные залежи выполняют наиболее углубленные участки названных впадин, а также участки наибольшего вреза русла Узбоя. Площадь Каражорской залежи солей более 100 кв.км., Султансанджарской — около 10 кв.км, Куртышской — около 1 кв.км. Средняя мощность соляной залежи соответственно 9,4 и 3,5 м. Соли (преимущественно галиты) подстилаются слабообводненными или сухими глинами, супесями и глинистыми песками. В солях заключены рассолы с минерализацией от 300 до 350 г/л, хлоридно-натриевые по составу, отличающиеся по концентрации бора, йода и брома. Значи-

тельные массы солей образовались вследствие аккумуляции и последующего испарения больших объемов воды в относительно ограниченный промежуток времени (например, соли Каражоры). Значительная часть солей ежегодно выветри-вается.

В случае приуроченности аккумулирующихся вод к глубоким горизонтам мезозоя следует признать достаточно высокую скорость движения в них подземных вод и большие объемы перемещающихся вод.

Геохимические особенности межкристальных рассолов позволяют считать, что связь солей с водами мезозойских отложений бесспорна лишь в Султансанджарской впадине. Причем, здесь выклиниваются водоносные пласти только верхних горизонтов мела (сеноман-турон) (2).

Известно, что воды верхней гидродинамической зоны обычно обогащены ураном и обеднены радием. В пластовых водах, связанных с глубокими горизонтами осадочного чехла, наоборот, концентрация урана уменьшается, а радия-возрастает. Исходя из концентрации этих элементов, можно с некоторой долей относительности судить о принадлежности аккумулирующихся в каждой впадине вод к определенной гидродинамической зоне. Это возможно и при сравнении концентрации дейтерия в межкристальных рассолах и водах из скважин, вскрывших глубокие горизонты. Концентрация урана и радия в межкристальных рассолах Султансанджарской залежи аналогична содержанию этих элементов в водах мезозойских отложений этого района (соответственно  $3,0 \cdot 10^{-7}$  г/л и  $9,5 \cdot 10^{-10}$  г/л).

Содержание радия в рассолах Каражорской и Куртышской (река Узбоя) залежей незначительно ( $3,2 \cdot 10^{-11}$  г/л и  $4,7 \cdot 10^{-12}$  г/л). В воде из скважины, расположенной в Каражорской впадине у кровки солей (отложения нижнего мела), концентрация радия  $5,2 \cdot 10^{-11}$  г/л, дейтерия 1,04 (условных единиц). В межкристальных рассолах Каражора и Узбоя концентрация дейтерия низка (до 1,02). Это подтверждает отсутствие связи Каражорских и Куртышских солей с водами глубоких горизонтов (более 300-400 м) мезозоя и, следовательно, отсутствие здесь региональной разгрузки вод мезозойского комплекса. Соляные залежи здесь образуются

преимущественно за счет аккумуляции и последующего испарения атмосферных осадков и выклинивающихся грунтовых вод. Возможно, что поступление во впадины вод самых верхних меловых отложений играет ограниченную роль.

Таким образом, из рассмотренных типов чешуекристалльных рассолов антропогена рассолы Султансанджарских залежей резко отличаются более высокой концентрацией радия, бора, брома. Связь солей с водами верхних горизонтов мезозойского комплекса бесспорна. В других случаях подобная связь отсутствует.

Благодаря глубокому врезу в рельеф (дс - 46 м) бессточные впадины являются благоприятными участками для дренажа вод мезозойского комплекса. Отсутствие следов подобного дренажа в столь благоприятных условиях говорит о том, что в других районах Каракумского бассейна объем восходящих потоков не может быть значительным.

На территории Каракумского бассейна, за исключением Цитнянского района и горных обрамлений, заметных следов восходящих потоков не установлено. Понятно, что при большой мощности песчаных наносов, характерной для площади бассейна, незначительные по дебиту источники заметного следа могут не оставить. При дебите, измеряемом десятыми долями л/сек, источники в рельефе выделялись бы отчетливо.

Отсутствие следов современного оттока больших масс воды из отложений мезозоя на площади Каракумского артезианского бассейна доказывает, что скорость перемещения пластовых вод в глубоких горизонтах разреза крайне ограничена. Вследствие этого следует признать, что на большей части территории бассейна, в том числе и в районах, примыкающих к Каражорской впадине и сухому руслу Узбоя, в отложениях мезозоя условия благоприятны для сохранения скоплений нефти и газа.

#### Л и т е р а т у р а

- І.Іванчук П.П. Гидровулканизм в западной части Средней Азии. "Нефтегазовая геология и геофизика". Текущая информация ЦНИГР нефтегаз, вып.5, 1965.

2. Соколовский Л.Г.  
Федин В.Н.

Некоторые результаты изучения солей  
и межкристальных рассолов андропо-  
гена Туркмении. Труды Управления  
геологии СМ ТССР, вып.5, 1968.

УДК 556.314.6.02:556.388 (575)(.575).

Л.В.Горбунова, А.Н.Султанходжаев, А.И.Спирин-  
донов, В.Г.Тыминский, М.А.Ирмухамедов.

## ОБ ИСПОЛЬЗОВАНИИ РАДИОИЗОТОПНЫХ ПОКАЗАТЕЛЕЙ ПРИ ВЫБОРЕ РАЙОНОВ ЗАХОРОНЕНИЯ ПРОМЫШЛЕННЫХ ОТХОДОВ

Проблема захоронения промстоков становится все более важной в связи с интенсивным развитием промышленности, особенно атомной энергетики (1). Определенный интерес представляет подземное захоронение промстоков в глубокие водоносные горизонты, содержащие воды, непригодные для хозяйственно-питьевых, технических и бальнеологических целей или добычи полезных ископаемых. Стоимость подземного захоронения промстоков при большом полезном объеме таких хранилищ относительно невысокая, по сравнению с искусственными подземными хранилищами, создание которых предполагается в соляных толщах или скальных породах (2).

При выявлении районов, пригодных для захоронения промстоков, следует учитывать два обстоятельства: степень гидравлической изолированности пласта и активность тектонических процессов.

Изучение геологоструктурных, гидродинамических и гидрохимических условий района требует больших затрат времени и не обеспечивает однозначного решения задачи. Этими методами не всегда удается описать "историю жизни" подземных вод, определить их происхождение и относительный возраст.

При оценке пригодности геологических образований для захоронения промстоков полезные данные можно получить с помощью методов ядерной гидрогеологии, изучая содержание (или отношение) стабильных и радиоактивных изотопов в водах, и прежде всего дейтерия и кислорода -  $\delta^{18}\text{O}$ . В поверхностных водах эти изотопы ведут себя аналогично, и в их распределении наблюдается четкая корреляция (3). Содержание кислорода в подземных водах не всег-

да поддается интерпретации, так как кислород-18 в определенных условиях легко обменивается с кислородом кислородсодержащих минералов пород. На содержание дейтерия в подземных водах обменные реакции оказывают незначительное влияние, и поэтому дейтерий является наиболее удобным естественным индикатором вод.

К настоящему времени накоплен большой фактический материал по изотопному составу водорода в различных природных водах и разработаны основные принципы интерпретации этих данных. По концентрации дейтерия резко различаются морские (0,0160 ат.%) и метеорные (речные, дождевые 0,0147 ат.%, снеговые и ледниковые 0,0132 - 0,0140 ат.%) воды. Все прочие воды по изотопному составу водорода располагаются в интервале указанных концентраций.

По концентрации дейтерия среди подземных вод можно выделить воды морского (седиментогенные) и метеорного (инфилтрогенные) происхождения. Чем ближе концентрация дейтерия в подземных водах к его содержанию в морской воде, тем меньше в них доли инфильтрологенных вод, и тем больше условия их существования в осадочных отложениях соответствуют застойным. На основе распределения дейтерия в водах горизонта можно определить основные области питания, направление движения и степень замещения подземных вод метеорными (4).

Таким образом, при смешении вод неодинакового изотопного состава - инфильтрологенных (концентрация дейтерия 0,90 отн.ед.) и седиментогенных (концентрация дейтерия 1,10 отн.ед.) можно оценить долю первичных вод, используя следующую систему уравнений:

$$C_{sm} = \alpha_{sed} \cdot C_{sed} + \alpha_{inf} \cdot C_{inf} \quad (I)$$

$$\alpha_{sed} + \alpha_{inf} = 1$$

где  $C_{sm}$ ,  $C_{sed}$  и  $C_{inf}$  - концентрации дейтерия соответственно в смешанных, седиментогенных и инфильтрологенных водах.

$\alpha_{sed}$ ,  $\alpha_{inf}$ . - доли соответственно седиментогенных и инфильтрологенных вод.

Многочисленные примеры расчета долей первичных вод показывают, что процесс замещения седиментогенных пластовых вод инфильтраторными развит на значительной территории, охватывая большие глубины.

В таблице I приведены сведения о пределах изменения доли первичных вод в разных частях некоторых артезианских бассейнов Советского Союза. Расчет произведен по датерии с помощью выражения (1). Почти во всех бассейнах даже в пределах одного водоносного комплекса имеет место смешение вод.

Важную информацию об условиях застойности и скоростях водообмена между различными гидродинамическими зонами можно получить, определяя "возраст" подземных вод гелий-argonовым способом (4). По данным о возрасте вод можно рассчитать коэффициент промытости пород водоносного комплекса (отношение возраста воды к возрасту водоемещающих пород). Этот параметр можно использовать для сравнения гидродинамических условий различных зон в пределах не только одного, но и различных бассейнов.

Как правило, возраст подземных вод, вычисленный  $\text{He}-\text{Ar}$  способом, является средневзвешенным значением возраста смеси вод различного возраста. Нетрудно заметить, что средневзвешенный возраст вод, рассчитанный  $\text{He}-\text{Ar}$ -методом, связан солями смеси вод достаточно простым соотношением:

$$t_{\text{He}-\text{Ar}} = \alpha_{\text{инф}} \cdot t_{\text{инф}} + \alpha_{\text{сед}} \cdot t_{\text{сед}}, \quad (2)$$

где  $t_{\text{He}-\text{Ar}}$  — средневзвешенное значение возраста смеси вод.

$t_{\text{сед}}, t_{\text{инф}}$  — возраст соответственно седиментогенных и инфильтраторных вод.

Принимая возраст седиментогенных вод ( $t_{\text{сед}}$ ) равным возрасту водовмещающих пород и зная доли участвующих в смешении вод, можно вычислить возраст инфильтраторных вод (время внедрения поверхностных вод в пласт).

Следует отметить, что оценка возможности захоронения промстоков в сейсмоопасных районах вызывает определенные сложности. В результате землетрясений происходит

нарушение структур с захороненными отходами и возникает возможность загрязнения продуктивных водоносных горизонтов. Изучая возраст подземных вод, можно оценить активность не только современных и новейших, но и палеотектонических процессов и выявить наиболее благоприятные структуры для захоронения промстоков. Это возможно благодаря тому, что значение возраста вод тесно связано с текtonической обстановкой в регионе, так как степень дегазации вод зависит от активности тектонического процесса. Была установлена связь между периодами повышенной текtonической активности и увеличением концентрации газов в подземных водах. Причем естественно, что значение возраста подземных вод будет завышенным, а степень завышения зависит от текtonической активности.

При исследовании гидродинамических условий водоносных комплексов можно использовать результаты изучения содержания радиоактивных элементов ( $U$ ,  $Ra$ ,  $Th$ ) и их изотопов в водах и породах.

В связи с большой геохимической подвижностью урана в окислительной обстановке, в "молодых" водах инфильтрационных зон будет иметь место сдвиг равновесия в ряду  $U-Ra$  в сторону урана. Напротив, для вод застойных горизонтов с восстановительной обстановкой характерны максимальные концентрации радия и минимальные урана. Молодые инфильтрогенные воды характеризуются также более высокими отношениями изотопов урана ( $^{234}U / ^{238}U$  (5,6)).

Комплексное использование данных по распределению изотопов водорода, радиоактивных элементов и "возрасту" вод увеличивает надежность выводов о возможности использования того или иного водоносного комплекса для захоронения промышленных отходов. Такой комплекс исследований был выполнен с целью анализа современной гидродинамической обстановки крупных артезианских бассейнов - Ташкентского, Бухаро-Каршинского, Кызылкумского и др. (5,6,7). Результаты исследований и краткие рекомендации по бассейнам, воды которых исследовались только на изотопный состав водорода, представлены в таблицах I и 2.

Ташкентский артезианской бассейн. Воды Ташкентского

артезианского бассейна (Ташкентские минеральные воды), приуроченные к меловым породам, относятся к прибрежно-морскому типу. По составу поровые воды смешанные, а водные вытяжки близки не к современным пластовым водам, а к поро- вым растворам. Это свидетельствует о том, что центральная глубинная часть бассейна промыта в незначительной степени.

Данные по "возрасту" вод показывают, что в краевых частях бассейна существует зона современной инфильтрации. Для нее характерно наличие сдвига радиоактивного равновесия в сторону радия, что возможно в случае, если вынос урана происходил не более 400 тыс. лет назад. При изучении условий формирования подземных вод была обнаружена резкая неоднородность распространения фронта инфильтрации вод. (4). Данные схематической карты возраста минеральных вод Ташкентского артезианского бассейна показывают, что возраст вод изменяется от десятков тысяч лет (60-80 тыс. лет), в северо-восточной части бассейна, до первых миллионов лет, в наиболее погруженной центральной части бассейна (4-6 млн. лет) (рис.1).

Концентрация дейтерия в меловых водах бассейна изменяется от 0,91 до 1,07 отн.ед. Эти данные легли в основу составления схематической карты в изолиниях концентрации дейтерия и позволили определить пропорции смеси минеральных вод (рис.2). Зональность распространения вод, выявленная по дейтерию и их возрасту, подчеркивается по величинам коэффициента миграции урана и его изотопам (7,8).

Зона развития молодых вод (60-80 тыс. лет), с высокими коэффициентами миграции урана (от 1 до 10) и низкими величинами содержания дейтерия (меньше 1,00), совпадает с зоной питания подземных вод, определяемой по гидродинамическим данным. Для западной части района характерны наиболее низкие величины коэффициентов миграции. Существует также промежуточная зона с большими коэффициентами миграции и меньшими содержаниями дейтерия в водах, по сравнению с западной частью района (рис.3) (5).

На основании данных по изотопным соотношениям урана в водах ( $\mu^{234}_{\text{U}}/\mu^{238}_{\text{U}}$ ) в бассейне выделяются три зоны (рис.4). Первая - непосредственно охватывает область питания бас- сейна и прилегающую зону: величины отношений урана высо-

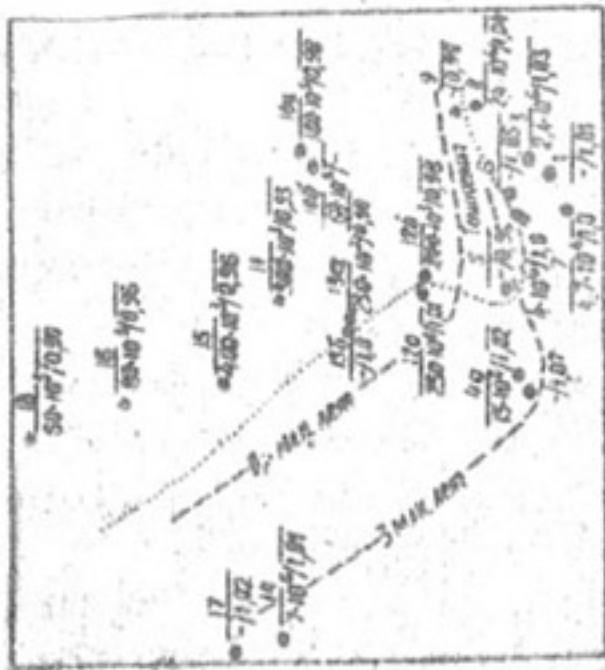


Рис. I. Схема возраста воды и разпределения минеральности в минеральных водах Ташкентского артезианского бассейна.  
Дроби у точек (•); в числителе скважины, в знаменателе — отношение возраста воды к концентрации (лет/отн.ед.);  
— возраст воды; — концентрация.

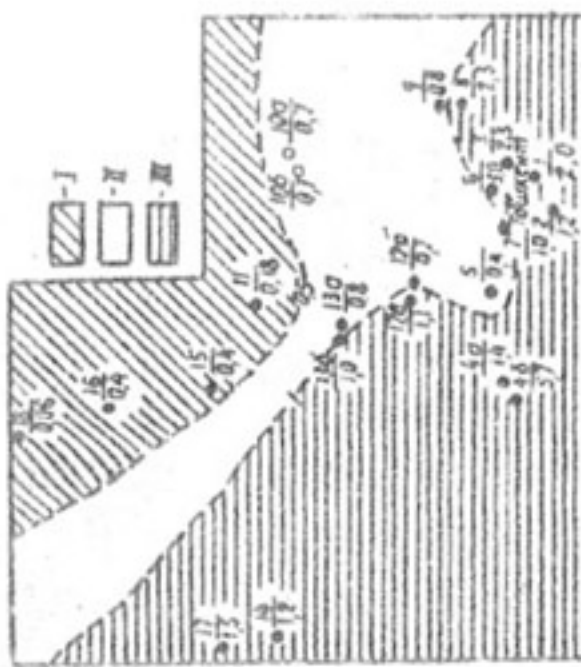


Рис. 2. Схема пропорционального смешения вод в Ташкентском артезианском бассейне.  
Дроби у точек (•); в числителе — номер скважины, в знаменателе — долю пресной воды; I — воды с долей минеральных вод 0,5; II — воды со смешением 0,5—1,0; III — долю пресной воды — более одной доли минеральной.

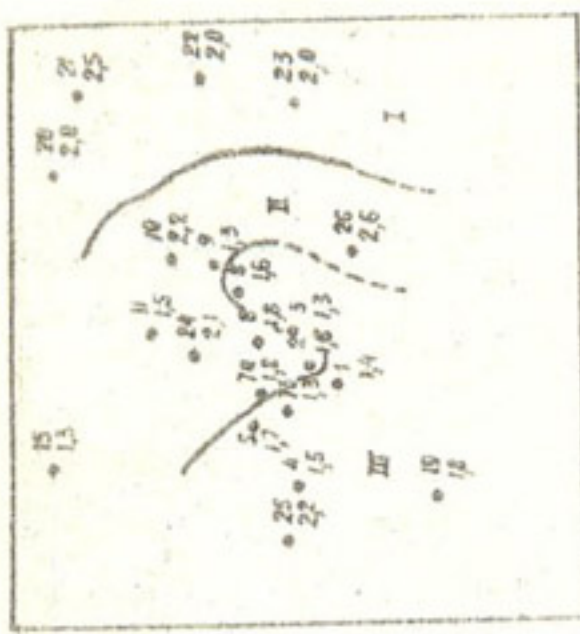


Рис. 4. Схематическая карта распределения изотопов в подземных водах Ташкентского артезианского бассейна. Данные у точек (\*); в знаменателе — номер скважины, в знаменателе — значение изотопного отношения; I — зона питания; II — переходная зона; III — зона застойных вод.

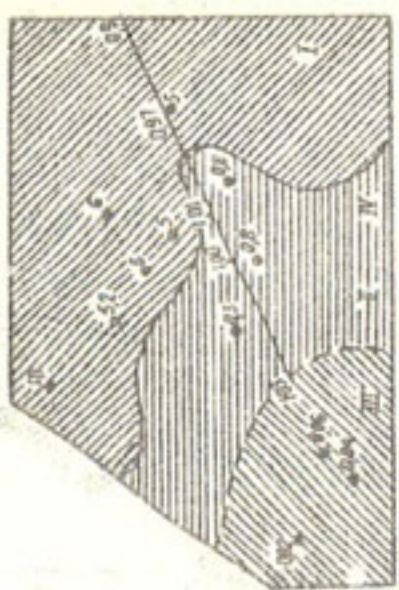


Рис. 3. Схема распределения коэффициентов миграции урана: I — зона значений коэффициента миграции > 1; II — зона значений коэффициента миграции 0,1—1,0; III — зона значений < 0,1; IV — границы зоны питания по данным гидрогеологии.

кие от 2,0 до 2,5, в среднем - около 2,1. Вторая, переходная, - приурочена к краевым частям бассейна: отношения изотопов урана в среднем 1,9. Соответственно возрастает значение возраста вод, коэффициентов миграции урана идейтерия (рис.4). Третья - приурочена к центральной части бассейна: средняя величина отношений изотопов урана - 1,6.

Таким образом, ряд генетически независимых показателей дополняют друг друга, конкретизируя картину, характеризующую вариации свойств водовмещающего пласта в плане. Эти данные говорят о наличии двух областей питания, глубинной застойной части и промежуточной переходной зоны. Важно, что и в пределах зон возможны существенные изменения свойств пласта. Например, в районе скв. I5 (рис.4) отношения изотопов урана увеличено, по-видимому, в связи с наличием разлома.

В глубинной части бассейна воды существенно не пополняются, и поэтому их можно рассматривать как изолированные. Зоны максимального развития инфильтрационных вод распространены преимущественно по краевым частям бассейна.

По данным возраста вод и средним величинам изотопных отношений урана выявлено, что скорость подземного потока, по абсолютной величине и направлению для разных частей бассейна различна (4): в центральной части минимальна и равна первым единицам см/год, в краевых частях - на порядок выше.

Таким образом, совокупное рассмотрение схем распределения радиоизотопных показателей (рис. I-4) позволяет наиболее обоснованно выделить зоны, в пределах которых воды не участвуют в процессах обмена, и, следовательно, могут рассматриваться как изолированные. Закачка промстоков в такие участки с геологической точки зрения наиболее обоснована.

Однако перед практическим осуществлением этой задачи в пределах Ташкента и его ближайших окрестностях необходимо решить ряд инженерных задач а) водоносный горизонт чанакских песков эксплуатируется многими скважинами в лечебных целях и закачка промстоков вызовет изменение свойств лечебных вод; б) захоронение промышленных отходов

в изпорный водоносный горизонт осуществляется закачкой промстоков под давлением, превышающим пластовое давление, что приведет к перераспределению пластового давления и может изменить направление движения вод и т.п. Поэтому в случае необходимости поисков емкостей для подземного захоронения дальнейшие исследования следует направить по линии изучения неэксплуатируемых водоносных горизонтов.

Бухаро-Каршинский артезианский бассейн. Для вод юрского водоносного комплекса характерны максимальные концентрации радия, дейтерия и кислорода - 18 и минимальные урана. Это говорит об их застойности и отсутствии влияния на данный водоносный комплекс современных инфильтрационных вод. Возраст вод в большинстве случаев превышает 100 млн. лет., и коэффициент промытости близок к единице. В связи с этим можно считать, что юрский водоносный комплекс пригоден для захоронения вод промышленных предприятий.

Воды нижнемелового водоносного комплекса по радиогидрохимическим показателям несколько отличаются от вод юрского комплекса. Содержание радия и дейтерия здесь гораздо ниже, а урана - выше. Возраст вод изменяется от 40-60 до 100 млн. лет., коэффициент промытости равен 0,75. Закономерные изменения этих показателей в юго-восточном направлении указывают на то, что воды нижнемеловой толщи испытывают воздействие современных инфильтрационных вод с Гиссаро-Зарафшанской горной системы. Нижнемеловые отложения могут быть рекомендованы для захоронения только частично, а именно - участки северо-западного района бассейна с застойными водами, а восточных-инфилтративными.

Наименее пригодны для захоронения отложения сеномана и верхнего альба, в связи с высокой гидродинамической активностью вод данных горизонтов. Это подтверждают данные по коэффициенту промытости, низкие значения концентраций радия и дейтерия и повышенные величины отношения изотопов урана. Возраст вод сеноман-альбского комплекса - от I до 50-60 млн. лет., причем возрастание его происходит с юго-востока на северо-запад, в направлении движения вод.

## РАСПРЕДЕЛЕНИЕ ИЗОТОПОВ ВОДОРОДА, РАДИОАКТИВНЫХ

## ЭЛЕМЕНТОВ И ВОЗРАСТА ПОДЗЕМНЫХ ВОД

Таблица I

Район ис- следования:	Стратиграфия:	Средний изо- точник содер- жания подзем- ных вод:	Радиоактивные элементы и их изотопы в водах		Возраст: коэффи- циент подзем- вод по промы- шленным методам	Скорость: подзем- ных вод с щелевым захоронением пром- стоков	Характеристика смеси
			$\text{Sr}_{2+}$	$\text{Ca}_{2+}$			
аргентин- ские бас- сейны)	60 <sup>18</sup> отн. ед.	60 <sup>18</sup> отн. ед.	И-234 И-238	И-234 И-238	0,10 <sup>x</sup>	0,10 <sup>x</sup>	0,2( $Q$ ) <sup>x</sup> не благо- прият- ние
Ташкентский	$\text{Sr}_{2+}$	0,93- -1,03	-	2,5.10 <sup>-6</sup>	3,9.10 <sup>-11</sup> 2,1	от 0,2 <sup>x</sup> до 1,0 млн. л.	0,90 <sup>x</sup>
Бухаро- Каралинс- кий	$\text{Sr}_{2+}$	0,97	-0,20	1,67.10 <sup>-6</sup>	I,II,I0-II I,27	43 млн. лет	19( $W'$ )
	$\text{Sr}_{2+}$	1,00	-0,15	1,55.10 <sup>-6</sup>	I,36.I0-II I,21	83 млн. лет	56( $P_g$ )
	$\text{Sr}_{2+}$	1,04 <sup>max</sup> 1,09	+0,33	0,28.10 <sup>-6</sup>	54,7.I0-II I,12	112 млн. лет	46( $P_g$ )
Кизилкум- ский	$\text{Sr}_{2+}$	0,93- -0,95	-	-	3,7	1 млн. лет	0,25 * не благо- приятн.
Сурхандарьин- ский	$\text{Sr}_{2+}$	0,99 1,06	-	-	0,75 55 93	0,55 0,20	0,2( $Q$ ) 30XXX( $P_g$ ) 30XX( $P_g$ )
	$\text{Sr}_{2+}$	-	-	-	-	-	0,45XX 0,80XX

Примечание: x) Для северной части Ташкентского артезиан-  
ского бассейна

xx) Возраст древних вод, соответственно, 85  
108 млн. лет, рассчитанный из выражения (2)

xxx) По геологическим данным.

Кызылкумский артезианский бассейн. В его пределах наиболее широко распространен верхнемеловой (сенон-туронский) водоносный комплекс. Результаты палеогеографических исследований говорят о существовании в меловом периоде морского режима. Однако низкое содержание дейтерия в водах сенон-туронского горизонта бассейна указывает на то, что древние морские воды были вытеснены последующей инфильтрацией пресных вод. Расчет пропорций смешения вод свидетельствует о незначительной доле морских вод в современных водах бассейна.

Отношение изотопов урана  $\frac{U^{234}}{U^{238}}$ , равное 3,7, для одного из участков указывает на относительно сильную циркуляцию вод, что подтверждается их возрастом (менее 1 млн. лет). Поэтому очевидно, что водоносные горизонты сенон-туронских отложений Кызылкумской системы бассейнов не пригодны для захоронения промстоков.

Волго-Уральский артезианский бассейн. На его территории обстановка несколько сложнее. Возраст воды, рассчитанный по не- $A$  способу, существенно меньше возраста водовмещающих толщ и не соответствует концентрации в ней дейтерия. Это возможно, если на определенном этапе геологического развития региона происходила существенная потеря газов, и в первую очередь — гелия. Инфильтрация вод в Волго-Уральском бассейне могла иметь место в палеогене. В этом случае возраст инфильтрагенных вод — порядка 30 млн. лет. По выражению (2) определен возраст первичных вод — 85–108 млн. лет. В связи с вышеизложенными, можно сделать вывод, что интенсивное выделение газов произошло под воздействием тектонических процессов в меловой период. В процессе замещения первичных вод инфильтрагенными имелись активные и более спокойные периоды.

Таблица 2

Распределение дейтерия в подземных водах .

Район ис-следований (артезианские бассейны)	Стратиграф. возраст водовмещающей толщ. :компл.	Химический состав и минерализация вод	Концентрация дейтерия в водах, ‰	Характеристика условий водоносных комплексов в целях захорон. промстоков	
1	2	3	4	5	
Ферганский	Р9	SO <sub>4</sub> -Cl-Na 52 г/л	средн. 0,94	неблагоприят-	

I	: 2 : 3	:	4	:	5
днепровско- ко-донец- кий	$T_1-C_2-J_3$	$HCO_3-C\ell$ 2 г/л	средн. 0,98	Неблагоприят- ные	
$Y_1-T_2-P_2$		$HCO_3-$ $C\ell-Ca$ до 100г/л	средн. 1,02	Неблагоприят- ные	
		$R_1-C\ell-Ca$ до 3000г/л	1,02- 1,06 средн. 1,05	благоприятные в центр.частях впадины (струк- тур. Бельская Солоха, Рыбаль- цы, Качавовская)	
	$P_1-C$				

Днепровско-Донецкий артезианский бассейн. Днепровско-Донецкая впадина выполнена породами от девонского до третичного возраста. вся толща осадков впадины делится региональными водоупорами на три гидродинамические зоны разной степени активности водообмена. В зонах активного (отложения от четвертичного до юрского возраста) и затрудненного водообмена (отложения нижней юры, триаса и верхней перми) значения концентраций дейтерия низкие, что свидетельствует об инфильтрационном происхождении вод. Зона весьма затрудненного водообмена охватывает отложения нижней перми, карбона и девона. Содержание дейтерия в водах пермских и каменноугольных горизонтов и минерализация их увеличивается с глубиной залегания пластов. Наибольшие концентрации дейтерия отмечаются в среднем карбоне в наиболее погруженных частях впадины (1,05-1,06 отн. ед.). На окраинах впадины, где глубина залегания карбона и его мощность уменьшаются, содержание дейтерия падает до 1,02 отн. ед. Следовательно, для захоронения промышленных стоков наиболее пригодны отложения карбона и перми в центральных частях впадины: высокие концентрации дейтерия свидетельствуют о сохранении застойных условий и о преобладании вод седиментационного происхождения.

Ферганский артезианский бассейн. Ферганская депрес-  
сия в гидрогеологическом отношении сложнопостроенный меж-  
горный артезианский бассейн, представленный осадочными

образованиями мезокайнозоя. В разрезе бассейна выделяются три структурно-гидродинамических этапа.

Верхний - охватывающий водоносные комплексы и горизонты четвертичных и верхненептуновых отложений, с активным водообменом, низкими значениями возраста подземных вод (преимущественно до 1 млн. лет), слабой концентрацией дейтерия (до 0,98 отн. един.) и неблагоприятными условиями захоронения промстоков.

Средний, включающий водоносные комплексы мезотретичных отложений, отличается замедленным водообменом, высокой минерализацией подземных вод, большими величинами возраста вод (более миллиона лет,нередко десятки и первые сотни млн. лет), значительными концентрациями дейтерия (0,98-1,07 отн.ед.). Возраст, минерализация вод и концентрация дейтерия увеличиваются от предгорий в алтарной зоне до максимума в наиболее погруженных структурах алтарной зоны, обращенных к Центральной Фергане (Северный Сох, Нальчакташ, Бутакара). Эти данные свидетельствуют о том, что водоносные горизонты низов неогена, палеогена, мела и юра Центральной Ферганы с гидрогеологической точки зрения наиболее благоприятны для закачки промстоков.

Нижний структурно-гидродинамический этап на глубине изучен недостаточно. Данные по периферии бассейна свидетельствуют о нецелесообразности использования этих емкостей для закачки промстоков.

Таким образом, анализ гидрогеологической обстановки различного типа артезианских бассейнов с использованием комплекса радиоизотопных показателей позволяет достоверно выделить участки или геологические структуры, наиболее благоприятные для захоронения промстоков.

Геолого-разведочные работы с большим объемом глубокого бурения будут способствовать получению новых радиоизотопных показателей, уточняющих и конкретизирующих границы районов и структур, благоприятных для захоронения промстоков.

#### Л и т е р а т у р а

Гольдберг В.М. Подземное захоронение промстоков химической промышленности. Всесоюзный ГЕО, м. 1968г.

2. Патент США 2985007 от 29/07/1952г. "Подземное хранилище" кл.61-5.
3. Власова Л.В. и др. Об использовании радиогазотонных показателей при решении вопросов захоронения промышленных отходов. Изв.ВУЗ "Геология и разведка", 1971, № 1.
4. Горбушина Л.В. и др. Возраст и пропорции смешения минеральных вод Ташкентского артезианского бассейна. Изв.ВУЗ "Геология и разведка", 1967, 2.
5. Тыминский В.Г. и Спиридонов А.И. К методике выявления зон, благоприятных для захоронения промстоков. Атомная энергия. т.29, II, 1970.
6. Танеев Р.Н. и др. Применение естественных радиоактивных и стабильных изотопов для палеогидрогеологического анализа. Гидрогеология и инженерная геология аридной зоны СССР". Вып.14. Изд-во "Недра", Л., 1969.
7. Мавлянов Г.А. и др. О влиянии геолого-технических факторов на содержание галов в подземных водах Ташкентского артезианского бассейна. "Узб.геол.журнал", 1971, I.
8. Спиридонов и др. Некоторые результаты изучения изотопов урана ( $^{234}\text{U}/^{238}\text{U}$ ) в подземных водах Ташкентского артезианского бассейна. "Узб.геол.журнал", 1969, 4.
9. Султанходжаев А.Н. и др. Неравновесный уран в подземных водах Ташкентского артезианского бассейна. "Узб.геол.журнал", 1970, 3.
10. Антыпко Б.Е. и др. Региональная оценка гидрогеологических условий захоронения промышленных сточных вод в глубокие водонесущие горизонты на территории СССР. "Гидрогеологические вопросы подземного захоронения промышленных отходов". Министерство геологии СССР, М., 1969.

А.И.Спиридов, А.Н.Султанходжаев,  
Н.А.Сурганова, В.Г.Тыминский

## НЕКОТОРЫЕ ВОПРОСЫ МЕТОДИКИ И ТЕХНИКИ ИЗУЧЕНИЯ ИЗОТОПНОГО СОСТАВА УРАНА В ПОДЗЕМНЫХ ВОДАХ

Неравновесные соотношения изотопов  $U^{234}$  и  $U^{238}$  – явление, довольно широко распространенное в природе (1).

Основные положения гипотезы, объясняющей нарушение изотопного равновесия урана, состоят в следующем. При распаде ядер  $U^{238}$  атомы продуктов распада испытывают радиоактивную отдачу.

Величина кинетической энергии вновь образуемого ядра значительно превышает энергию связи кристаллической решетки. В результате атомы изотопа  $U^{234}$ , испытав отдачу, могут разорвать связи с кристаллической решеткой минерала и попасть в микронарушенния и микрокапилляры минералов. При контакте с жидкой фазой они выщелачиваются значительно легче, чем атомы изотопа  $U^{238}$ , находящиеся в узлах кристаллической решетки.

Наибольшие колебания отношения  $U^{234}/U^{238}$  наблюдаются в подземных водах (2), причем преобладает изотоп  $U^{234}$ . В породах и минералах наблюдается недостаток  $U^{234}$ .

Широкие исследования изотопного состава урана в различных природных объектах были направлены в основном на использование указанного эффекта для датирования четвертичных образований (3-5).

Изучение изотопного отношения  $U^{234}/U^{238}$  в подземных водах проведено Н.Г.Сыромятниковым (2). При этом установлено, что подземные воды, приуроченные к различным комплексам горных пород, характеризуются вполне определенными интервалами колебаний величины отношения  $U^{234}/U^{238}$ . Так для вод изверженных пород отношения  $U^{234}/U^{238}$  обычно равно 2,5-4,0 (в том числе для гранитов 3,0-3,5). Для вод осадочных и метаморфических пород величина этого отношения колеблется от 1,5 до 2,5. Изучение соотношения изотопов урана в подземных водах ( $U^{234}/U^{238}$ ) представляет прак-

тический интерес в связи с решением задач по динамике и условиям формирования подземных вод.

Методика извлечения урана из больших объемов воды. Определение изотопного отношения  $U^{234}/U^{238}$  делится на два последовательных процесса: 1) химическая подготовка уранового препарата для измерений; 2) собственно измерения изотопного отношения урана.

В настоящее время наиболее точным и чувствительным методом измерения изотопного отношения  $U^{234}/U^{238}$  является  $\alpha$ -спектрометрический метод. Для того, чтобы произвести измерения на  $\alpha$ -спектрометре с точностью  $\pm 10\%$ , на мишени должно быть не менее  $2 \cdot 10^{-6}$  г естественного урана. Кроме того, для проведения точных измерений необходимо, чтобы уран был абсолютно чист от химических, радиохимических и механических примесей.

Природные воды обычно содержат очень незначительное количество урана ( $n \cdot 10^{-5}$  -  $n \cdot 10^{-8}$  г/л), за исключением пластовых вод урановых месторождений ( $n \cdot 10^{-4}$  -  $n \cdot 10^{-2}$  г/л). Процесс химической подготовки уранового препарата из природной воды делится на три стадии: 1) извлечение и концентрирование урана; 2) тонкая радиохимическая и химическая очистка урана; 3) нанесение чистого урана на подложку для проведения измерений изотопного отношения.

При исследовании изотопного отношения урана в природных водах надо учитывать концентрацию урана в воде, солевой состав воды, ее общую минерализацию. В зависимости от этих факторов следует применять различные методы приготовления уранового препарата.

На основании данных лабораторных экспериментов и полевых исследований изотопных отношений урана в подземных водах некоторых артезианских бассейнов, авторы предлагают применять следующие методы концентрирования и очистки урана в зависимости от химической характеристики вод и от содержания в них урана.

Извлечение урана из природных вод и его концентрирование. Из пресных или слабосоленных вод (гидрокарбонатных или сульфатных, не содержащих сероводорода) уран удобнее извлекать, адсорбируя его на активированном угле. Этот

метод отличается относительной простотой и быстрой выполнения, а также легкостью десорбции урана с угля (II). Объем пробы, из которой извлекается уран, подбирается соответственно содержанию урана в пробе. При этом следует учесть, что в процессе сорбции, десорбции и очистки может быть потеряно до 40% урана, как было установлено нами с помощью изотопа  $U^{233}$ . Поэтому метод более пригоден для извлечения относительно повышенных концентраций урана ( $n \cdot 10^{-6} - n \cdot 10^{-5}$  г/л и выше).

М е т о д и к а. Природную воду (20 л) подкисляют НСF по метил-оранжу. Затем добавляют 20%-ный (или сухой) уротропин до перехода розового цвета раствора в желтый. Далее в воду всыпают 2г<sup>x/</sup> активированного угля, растворенного до пудры и очищенного от технических примесей (II). Смесь тщательно перемешивают и отфильтровывают в приборе для фильтрования (рис. I). Уголь несколько раз промывают дистиллированной водой и высушивают, затем уголь вместе с фильтром помещают в небольшой прибор для фильтрования (объемом в 1 л), заливают 200 мл горячего пятипроцентного раствора  $(NH_4)_2CO_3$  ( $t^{\circ}$  не выше 50°).

Десорбцию урана углекислым аммонием проводят дважды. Фильтрат с ураном собирают в один стакан, подкисляют HNO<sub>3</sub> по метил-оранжу, выпаривают досуха и разлагают сухие со-ли в платиновой чашке. Полученный осадок, содержащий уран, подвергают очистке от примесей, о чем будет сказано в следующей главе. Процент сорбции урана на угле - 90-98%. Десорбируется с угля 70-80% урана, как было установлено нами с помощью изотопа  $U^{233}$ .

Контроль за выходом урана непосредственно на угле осуществляется нами путем измерения активности высущенного угля. Такой контроль применяется при концентрировании урана из природных вод в полевых условиях, чтобы исключить холостые пробы.

x) Здесь и в дальнейшем количество реагентов рассчитано на 20 л. воды. При увеличении объема пробы пропорционально увеличится и количество реагентов.

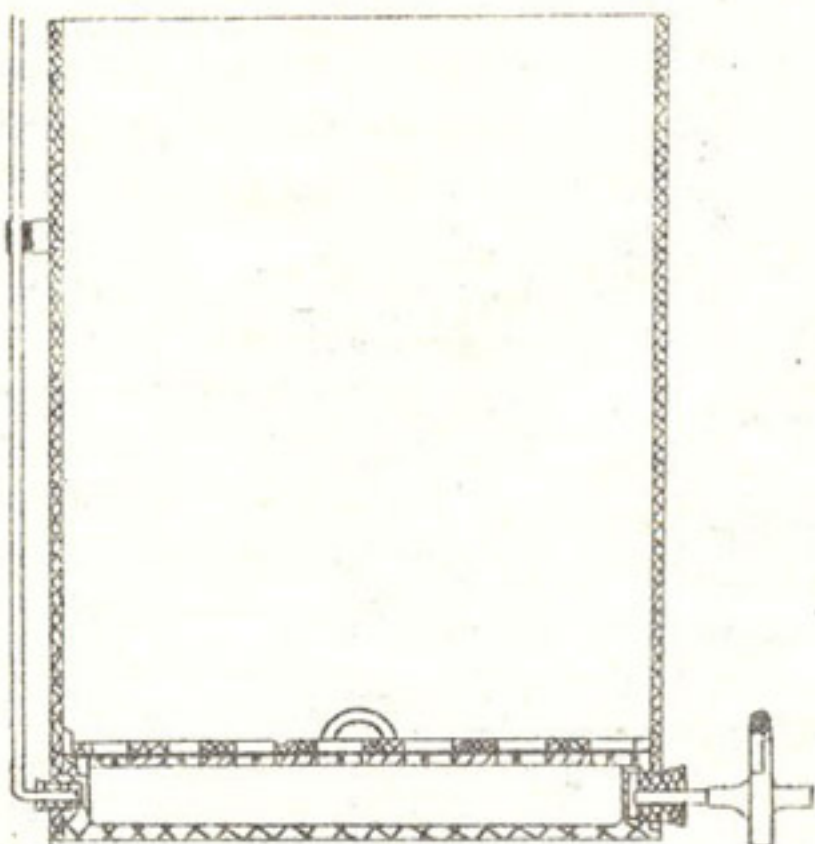


Рис. I. Концентратор

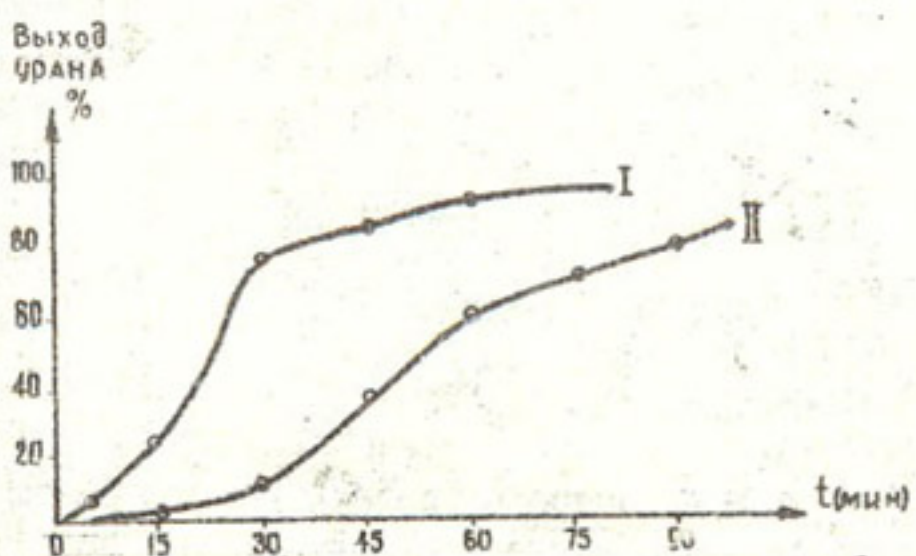


Рис. 2. Зависимость выхода урана от времени, электролиза.  
I-Электролиз из насыщенного раствора.  
Аксалато аммония.  
II-Электролиз из азотнокислого раствора.  
Этилового спирта.

Из сильно-минерализованных природных вод (например, хлоридных рассолов) извлекать уран методом адсорбции на активированном угле неподесообразно, так как уголь может сорбировать в больших количествах и многие другие элементы, вследствие чего понижается его сорбционная емкость по урану. Сорбционная емкость угля уменьшается также при наличии в воде растворенного сероводорода. В этом случае следует применить соосаждение урана с гидроокисью железа (I2,I3,I4).

Методика. Воду (20 л) подкисляют  $\text{HCl}$  по метил-роту, затем добавляют 20 мл кислого однопроцентного раствора  $\text{Fe}(\text{NO}_3)_3$ . Далее добавляют концентрацию  $\text{NH}_4\text{OH}$  до перехода розовой окраски в желтую, а затем еще несколько мл аммиака. Для ускорения коагуляции вносят макерированную бумагу. Осадок отфильтровывают, промывают его однопроцентным раствором  $\text{NH}_4\text{NO}_3$  и прямо на фильтре растворяют в горячей  $\text{HCl}$  (1:1). Раствор нейтрализуют аммиаком и переосаждают  $\text{Fe(OH)}_3$  пятипроцентным раствором карбоната аммония. При этом уран остается в растворе, а с  $\text{Fe(OH)}_3$  осаждаются полуторные и некоторые карбонаты. Во избежание потерь урана переосаждение железа в карбонатном растворе проводят вторично. Оба фильтрата объединяют, подкисляют по метил-оранжу и выпаривают досуха в платиновой чашке. Выход урана - 100%. Поэтому этот метод может быть применен для концентрирования урана из вод с очень низким его содержанием (п.  $10^{-8}$  г/л и менее).

Радиохимическая и химическая очистка урана. Для очистки урана применяются различные методы. Если уран концентрировался из пресных или слабосоленных вод, то количество примесей, попавших в концентрат, невелико. В этом случае довольно эффективным оказывается отделение урана от примесей на ионообменных смолах. На сильноосновном анионите Даэкс уран эффективно отделяется от тория, железа, алюминия и пр. (I6,I7).

Методика. Полученный концентрат урана растворяют в горячей 8%  $\text{HNO}_3$ , упаривают в случае необходимости до 50-70 мл и пропускают через колонку с 20 см<sup>3</sup> Даэкса 2x10<sup>2000x400</sup> мем, промытого предварительно 8%  $\text{HNO}_3$ . Затем

промывают смолу 8  $\text{NH}_4\text{NO}_3$  (отделяется  $\text{Fe}$ ,  $\text{Al}$  и пр.), после чего  $\text{U}$  и  $\text{Th}$  элюируют дистиллированной водой ( $\approx 100$  мл).

Полученный раствор упаривают досуха и обрабатывают 10  $\text{NH}_4\text{NO}_3$  3 раза для перевода нитратов в хлориды. Соляно-кислый раствор  $\text{U}$  и  $\text{Th}$  (50-70 мл) пропускают через колонку со смолой, промытой предварительно 10  $\text{HCl}$ . При этом  $\text{U}$  сорбируется смолой,  $\text{Th}$  же уходит с раствором. Затем чистый  $\text{U}$  вымывают приблизительно 100 мл бидистиллированной воды. Раствор упаривают до влажного осадка. Процент выхода урана при этом 90-100% (по  $\text{U}^{233}$ ).

2. Если уран извлекли из соленых вод, то полученный концентрат урана содержит очень большое количество разнообразных примесей. Это затрудняет отделение урана на смоле, т.к. процесс отделения должен быть многостадийным, что снижает эффективность метода. Кроме того, возможное присутствие многих посторонних анионов снижает сорбционные свойства смол. В таком случае лучше применить экстракционный метод отделения урана от примесей. В настоящее время наиболее широко применяемый экстрагент урана — трибутилфосфат. Он обладает высоким коэффициентом распределения урана, к тому же он не летуч, не взрывоопасен, почти не растворим в воде. Для того, чтобы связать примеси в неэкстрагируемые трибутилфосфатом комплексы, используют комплексон III. Это позволяет отделить уран практически от всех элементов.

Методика. Полученный концентрат урана растворяют приблизительно в 20 мл дист. воды, подкисленной  $\text{HNO}_3$  до  $\text{pH} = 2-2,5$ . Раствор переводят в делительную воронку, добавляют 40 мл 60%-ного раствора  $\text{NH}_4\text{NO}_3$ , содержащего 0,25 г комплексона III (промывной раствор). Трижды экстрагируют уран 15 мл 20%-ного раствора трибутилфосфата в инертном растворителе (керосин, толуол, четыреххлористый углерод и проч.). Водный слой отбрасывают, экстракты переносят в другую делительную воронку, промывают 3 раза раствором. Затем трижды рекстрагируют уран из трибутилфосфата 10 мл пятипроцентного раствора  $(\text{NH}_4)_2\text{CO}_3$ . Раствор упаривают в платиновой чашке до влажного осадка. Выход урана —

до 100% (по  $U^{233}$ ).

Электролитическое осаждение урана. Источники, используемые в альфа-спектрометрии должны удовлетворять следующие основные требования: радиоактивное вещество — прочно держаться на подложке и быть химически устойчивым, материал подложки не должен подвергаться окислению, поверхность подложки должна быть полированной, активный слой — равномерным и толщина его должна чтобы потери энергии  $\Delta$  — частин (обычно они составляют 0,2 кэв на 1 мкг/см<sup>2</sup>) (3).

Наилучшие результаты дает метод электролитического осаждения урана, применяемый в тех случаях, когда необходимо равномерно покрыть большие площади. Основным достоинством метода является однородность получаемых слоев. Кроме того, в процессе электролиза можно отделить уран от многих мешающих элементов: слабогидролизующихся Na, K, Ca и не выделяющихся на катоде в виде металла при потенциалах выделения водорода, Cr, Mn, Zn. Для проведения электролитического осаждения урана был разработан электролизер. Ёмкость, в которую заливается электролит с ураном, выполнена из тефлона и имеет цилиндрическую форму. В качестве катода использовались полированные диски из нержавеющей стали диаметром 32 мм и толщиной 1 мм. Анодом служил платиновый диск, который приводился во вращение с помощью специального раствора.

Известно, что главными факторами, определяющими ход электроосаждения и полноту выделения урана, является pH раствора, состав электролита, плотность тока и время электролиза. С целью выбора оптимальных условий электролиза, позволяющих добиться качественного осаждения урана из раствора, были опробованы два типа электролитов — азотнокислый раствор этилового спирта и насыщенный раствор оксалата аммония. Условия электролиза были следующие: из азотнокислого раствора этилового спирта — объем электролита 6 мл, плотность тока 50 ма/см<sup>2</sup> кислотность 0,005 — 0,001 Н; из насыщенного раствора оксалата аммония — объем электролита 6 мл, плотность тока 0,8 а/см<sup>2</sup>, pH = 9. В обоих случаях уран осаждался на площадь 1,5 см<sup>2</sup>. Исследо-

валась зависимость процента выхода урана от времени электролиза. Из рис.2 видно, что при электролизе из раствора оксалата аммония около 90% урана осаждается практически за 35-40 мин., в то время, как из раствора этилового спирта за это же время осаждается только около 25% урана. Таким образом, электролиз из раствора оксалата аммония идет в несколько раз быстрее. Однако, слои, получаемые при электролизе из раствора оксалато-аммония по качеству чаще бывают хуже, чем слои, получаемые при электролизе из раствора этилового спирта (Рис.3). В первом случае электролиз идет при большей плотности тока ( $0,8 \text{ а/см}^2$ ), в связи с чем раствор бурно перемешивается и обильно выделяются пузырьки газа, поэтому слои получаются рыхлые и не однородные. В этих условиях, наряду с ураном, на катоде могут выделяться, очевидно, и другие металлы (Нс, Са, Мп, Сг и т.д.) за счет чего увеличивается толщина слоя. Следует отметить, что в тех случаях, когда исходные водные пробы, из которых проводилось концентрирование урана, были слабо минерализованы и содержали урана не ниже  $1 \cdot 10^{-6}$  г/литр, слои в большинстве случаев получались хорошего качества.

Техника и методика определения отношения  $U^{234}/U^{238}$ . В настоящее время наиболее совершенным и точным методом исследования изотопного состава урана является альфа-спектрометрический (7,8). Энергии основных групп частиц изотопов урана приведены в табл. I.

Разница между энергиями основных групп  $\alpha$ -частиц  $U^{234}$  и  $U^{238}$ , составляющая 580 кэВ, достаточна для разделения их с помощью  $\alpha$ -спектрометра, имеющего разрешение 2-3%. В качестве детекторов  $\alpha$ -частиц можно использовать импульсную ионизационную камеру и полупроводниковые поверхностью-барьерные детекторы. Методика определения отношения  $U^{234}/U^{238}$  с помощью  $\alpha$ -спектрометра с ионизационной камерой подробно описана в работах. Для определения отношений  $U^{234}/U^{238}$  в подземных водах нами использован  $\alpha$ -спектрометр с полупроводниковым

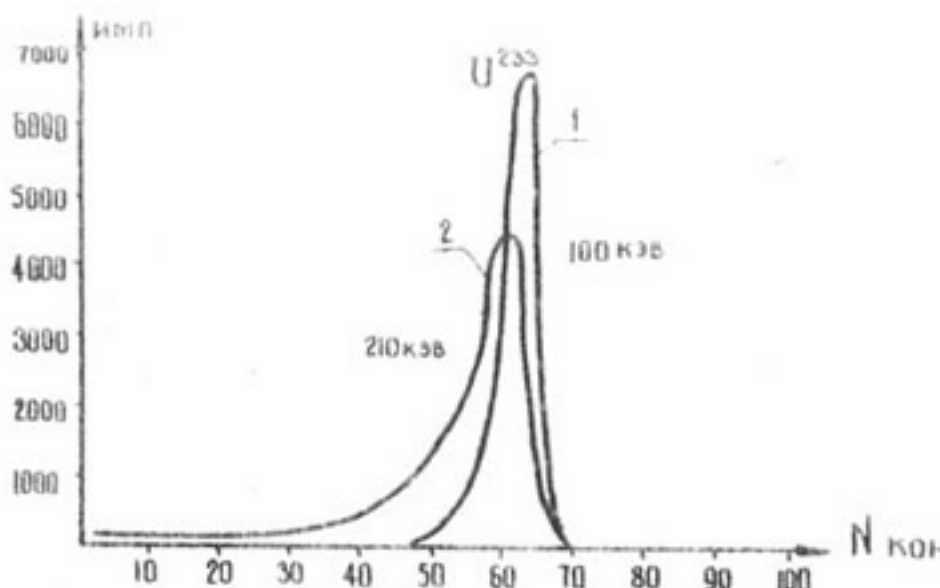


Рис. 3.  $\alpha$ -Спектр изотопа  $U^{233}$

1. Электролиз из этилового спирта.
2. Электролиз из аксолато аммония.

Таблица I

Изотопы естественного урана.

ИЗОТОП	РАСПРОСТРАНЕННОСТЬ В %	ПЕРИОД ПОЛУРАСПАДА (ГОД)	ЭНЕРГИЯ ОЧАСТИЦ ИЗВ	УДЕЛЬНАЯ АКТИВНОСТЬ ПРИРОДНОЙ СМЕСИ УРАНА $2^{-1}$ СЕК $^{-1}$
$U^{238}$	99,285	$4,5 \cdot 10^9$	4,182	$1,24 \cdot 10^4$
$U^{235}$	0,710	$7,15 \cdot 10^8$	4,396	$0,56 \cdot 10^3$
$U^{234}$	0,0055	$2,48 \cdot 10^5$	4,760	$1,24 \cdot 10^4$



детектором. Полупроводниковые детекторы применяющиеся сравнительно недавно в экспериментальной ядерной физике для спектрометрии тяжелых заряженных частиц, имеют преимущества по сравнению с ионизационной камерой. Они компактны, просты в изготовлении и обращении, по разрешающей способности не уступают ионизационным камерам, требуют низкого напряжения питания, удобны в сложных условиях эксперимента (при низких температурах, в вакууме, в сильных магнитных полях) и т.д. Основным недостатком полупроводниковых детекторов является их низкая геометрическая эффективность (в связи с малыми размерами), что, несмотря на 100%-ную эффективность регистрации  $\alpha$ -частич, приводит к низкому коэффициенту использования источника излучения.

Полупроводниковый детектор представляет собой плоскостной кремниевый диод (рис.4), Р-переход (т.е. область перехода от материала с одним типом проводимости, например, дырочной, к материалу с другим типом проводимости, электронной) расположен почти на самой поверхности детектора. Р-п переход называют обедненным слоем, т.к. он почти не содержит носителей, обусловленных примесными центрами. Если к Р-п переходу приложить внешнее напряжение (положительный полюс источника к П-области, а отрицательный к Р-области), то толщина обедненного слоя возрастет. При этом почти все приложенное напряжение приходится на обедненный слой. Поскольку его толщина составляет не сколько десятков микрон, то даже при внешнем приложенном напряжении около 10 в в обедненном слое создаются градиенты потенциала электрического поля  $\frac{\Delta U}{\Delta X} \approx 10^4$  в/см. Если под влиянием каких-либо внешних факторов в обедненном слое образуется электронно-дырочная пара, то носители подхватываются полем и разносятся в области с соответствующей проводимостью.

Обедненный слой в полупроводниковом детекторе аналогичен рабочему объему ионизационной камеры. При прохождении заряженной частицы через обедненный слой вдоль ее следа создаются электронно-дырочные пары, которые под действием сильного поля перехода движутся к его границам.

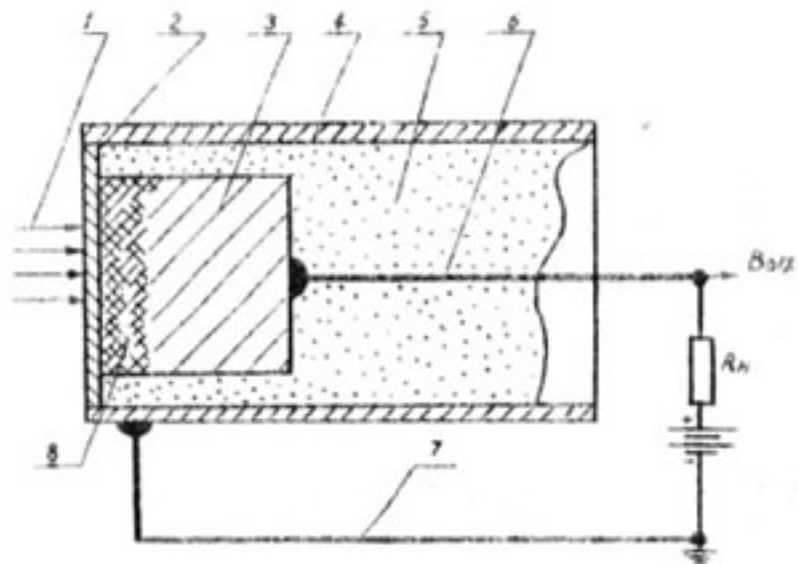


Рис. 4. Полупроводниковый детектор.

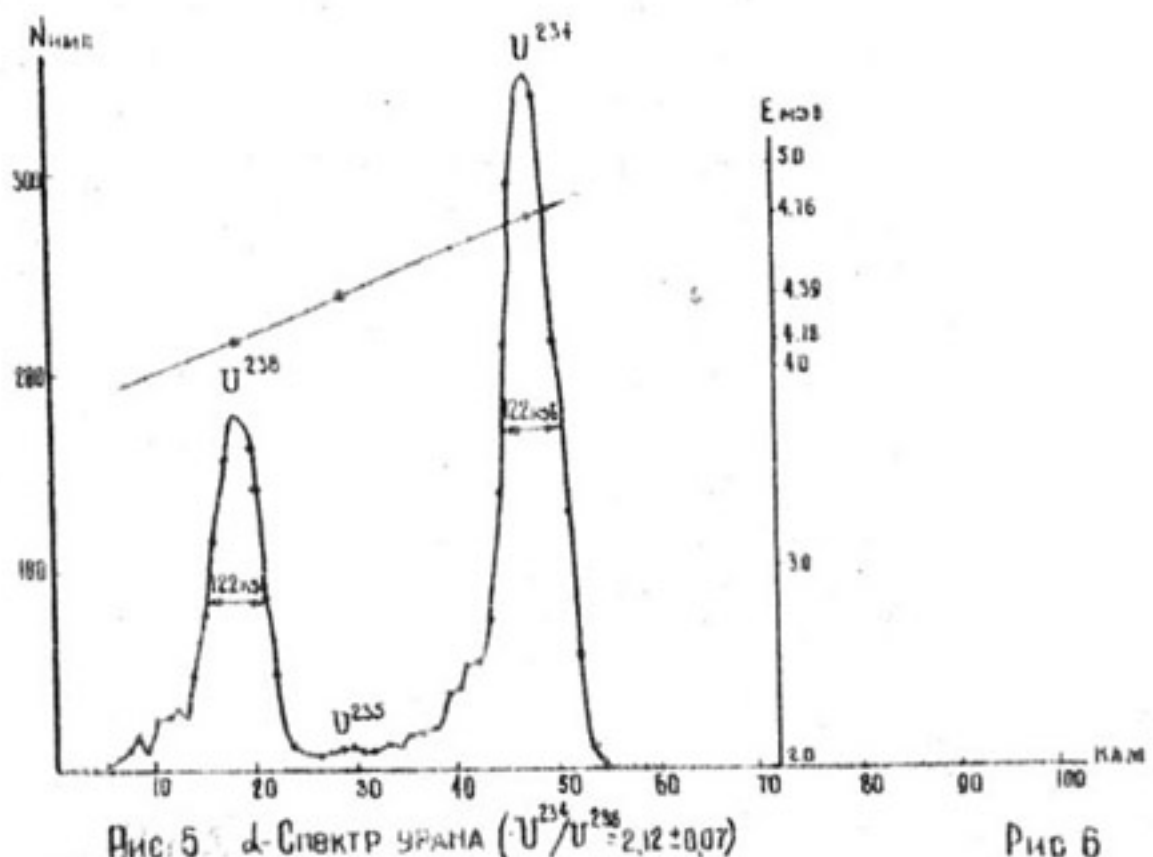


Рис. 5. д. Спектр УРАНА ( $U^{234}/U^{238} = 2.12 \pm 0.07$ )

Рис 6

При этом емкость перехода заряжается до определенного потенциала ( $U$ ) и на нагрузке детектора ( $R_n$ ) возникает импульс напряжения. Разрешающая способность полупроводникового детектора определяется дисперсией числа пар носителей, образованных в отдельных актах взаимодействия частиц с детектором. Среднеквадратичное отклонение

$\sigma = \sqrt{N}$  (где  $N$  - число пар носителей), получим для разрешающей способности уравнение  $\gamma = \frac{236}{\sqrt{N}}$  (I) или после подстановки  $N = \frac{E}{\epsilon}$  (где  $E$  - энергия частицы в Мэв,  $\epsilon$  - удельная энергия на образование пары носителей равная 3,6 эв).

$$\gamma = \frac{0.5}{\sqrt{E(\text{мэв})}} \% \quad (2)$$

Для  $\alpha$ -частиц с энергией  $E = 5$  Мэв разрешение составляет 0,2% (23). Для полного использования такой высокой разрешающей способности детектора к соответствующей аппаратуре должны предъявляться весьма жесткие требования по стабильности каскадов усиления и дискриминации. Число каналов анализатора должно быть большим. При умеренном количестве каналов необходимо использовать усилитель вершины импульсов - экспандер.

Определение изотопного состава урана в подземных водах производилось с помощью  $\alpha$ -спектрометра "Яузан", разработанного СНИИПом. Прибор состоит из 5 блоков: полупроводниковый детектор (ШД), предусилитель, усилитель с экспандером, блок питания, амплитудный анализатор импульсов (АИ-100).

Полное аппаратурное разрешение спектрометра определяется выражением

$$\gamma_{\text{полное}} = \sqrt{\gamma_{\text{ппд}}^2 + \gamma_{\text{тракт}}^2} \quad (3)$$

где  $\gamma_{\text{ппд}}$  обусловлено флюктуацией сбора заряда в чувствительном объеме ШД и шумами ШД;  $\gamma_{\text{тракт}}$  обусловлено шумами усилительного тракта и флюктуациями коэффициента усиления усилительного тракта, порога экспандера, подаваемого на ШД напряжения и нестабильностью много-канального анализатора.

Выражение (3) определяет требование к шумам и стабильности аппаратуры при исследовании с заданной точностью. Так,

при определении отношения  $U^{234}/U^{238}$ , необходимо, чтобы оно лежало в пределах 100-200 кэв.

Нестабильность аппаратуры не превышала 1% за 14 часов непрерывной работы. Полупроводниковый детектор имел рабочую площадь  $2,0 \text{ см}^2$  и разрешение 1,6%. Расстояние между детектором и источником было равно 2,00 мм. Как показали измерения контрольных эталонов, эффективность регистрации  $\alpha$ -частиц при выбранной геометрии составляла около 40% (от 2П).

Средняя величина фона, подсчитанная из результатов измерений на протяжении двух лет работы прибора, оказалась равной  $10^{-4}$  ипп/мин кан. Измерения активности фона в течение 2-х лет не наблюдались.

Разрешение  $\alpha$ -линий урана определялось в основном качеством приготовляемых источников и равнялось в наших условиях 120-150 кэв.

Толщина слоя, поскольку мы имеем дело с препаратами низкой активности, определялась количеством нерадиоактивных примесей, от которых не удавалось освободиться при химической обработке пробы.

Отношение  $U^{234}/U^{238}$  выражено в единицах активности. Активность спектральной линии определялась суммированием числа импульсов, зарегистрированных в энергетическом интервале данной линии. При определении отношения двух изотопов ( $U^{234}/U^{238}$ ) количество каналов берется равным, обычно до уровня минимального значения в интервале между двумя линиями (рис.5). Это значение определяется фоном и загрязненностью препарата. Химическая обработка проб обеспечивала достаточно полное отделение урана от других радиоэлементов. При обработке спектрограмм, полученных от препаратов с "толстым" слоем ( $0,1-0,3 \text{ мг}/\text{см}^2$ ), из амплитудного распределения  $\alpha$ -линии изотопа  $U^{238}$  вычитались низкоэнергетические "хвосты" амплитудных распределений изотопов  $U^{235}$  и  $U^{234}$  и после этого производилось суммирование числа отсчетов в каналах, относящихся к линии изотопа  $U^{238}$ . Данная методика подсчета вносила в результаты определения величины  $U^{234}/U^{238}$  некоторую ошибку субъективного характера. Однако, при хорошей статистике

эта ошибка не превышала 10%.

Для препаратов хорошего качества (тонкий слой, высокая активность) ошибка в определении отношения  $U^{234}/U^{238}$  была обусловлена статистической погрешностью.

В общем случае погрешность каждого измерения определялась исходя из статистического закона радиоактивного распада. Стандартное отклонение для каждого определения отношения  $U^{234}/U^{238}$  находилось по формуле (9).

$$\sigma_{N_2/N_1} = \frac{N_2}{N_1} \sqrt{\frac{1}{N_1} + \frac{1}{N_2}} \quad (4)$$

Принимая  $\frac{N_2}{N_1} = \frac{U^{234}}{U^{238}} = \gamma$ , получим

$$\sigma_\gamma = \frac{\sqrt{N_2(\gamma+1)}}{N_1} \quad (5)$$

Относительная среднеквадратичная отдельного измерения находилась по формуле

$$\sigma = \sqrt{\frac{1}{N_1} + \frac{1}{N_2}} \quad (6)$$

Результаты нескольких измерений одной и той же пробы обрабатывались методом равноточных или неравноточных измерений (10).

Резюмируя вышеизложенное, можно отметить, что наличие химической методики и прецизионной  $\alpha$  - спектрометрической аппаратуры является необходимыми предпосылками для успешного внедрения изотопных отношений урана в гидрогеологические и палеогидрогеологические исследования.

### Л и т е р а т у р а

1.Чердынцев В.В.

Труды III сессии Комиссии по определению абсолютного возраста геологических формаций. М., Изд-во АН СССР, 1955г.

2.Сиромятников Н.Г.

Миграция изотопов урана, радия и тория и интерпретация радиоактивных аномалий. Алма-Ата. Изд-во АН Казах. ССР, 1961.

- 3.Исабаев Е.А.,  
Чердынцев В.В. Сб.научных работ Казахского университета. Алма-Ата, Изд-во, Каз ГУ, 1959.
- 4.Исабаев Е.А.,  
Усатов Э.П.,  
Чердынцев В.В. "Радиохимия" т.2, вып. I, 1960.
- 5.Чердынцев и др. Геохимия, № 3, 1963г.
- 6.Чалов П.И. Определение изотопного состава урана по соотношению альфа - и бета - излучения. Тр.Ин-та геол.АН Кирг. ССР вып.IX, 1957г.
- 7.Баранов В.И. и  
др. О существовании изотопных сдвигов в природных соединениях урана. "Геохимия", № 5, 1958.
- 8.Старик И.Е. и  
др. К вопросу о смещении изотопных соотношений в природных образованиях. Геохимия, № 5, 1958.
- 9.Гольданский В.И.  
и др. Статистика отсчетов при регистрации ядерных частиц М., физматгиз, 1959г.
- 10.Уорсинг А.,  
Геффнер Дж. Методы обработки экспериментальных данных, М., ИЛ, 1949г.
- II.Краткая энциклопедия "Атомная энергия" М. БЭС, 1958г.
- 12.Аналитическая химия урана и тория. М. перевод с англ.  
под ред.Шалея П.Н. и ИЛ 1956.
- 13.Бреслер С.Е. Радиоактивные элементы. Гостехтеоретиздат, 1957г.
- 14.Старик И.Е.,  
Старик Ф.Е.,  
Аполонова А.Н. Труды комиссии по аналитической химии 9, 12, 1958.
- 15.Звенигородская  
В.И. Определение малых количеств урана. М.Госгеолтехиздат, 1946г.
- 16.Бауман В. Ионный обмен под редакцией К.Б.Тиютов. М., ИНЛ, 1961.
- 17.Краус К.А.,  
Нельсон Ф. Мирное использование атомной энергии, материалы конф.в Женеве, 1955г. том УП, Госхимиздат, 1958.

18. Шеви А. Там же том IX. Металлургия.  
Ренъо П.  
и др.
19. Кузнецов. В.И. Успехи химии 21, 175, 1962г.
20. Горбачев С.И., Ж.Н.Х. 2. 1957г.  
Хорхорина Л.Ш.  
Роздан А.И.
21. J. Seifert MЧ Чоу Яна Бист 82, 1957г.
22. Давыдов А.В., Ж.АН. Химии № 16, 1961.  
Немодрук, А.А.
23. Труды ВНИИГИТ вып.4. 1968г. Проблемы геохимических  
поисков нефтяных и газовых месторождений и вопросы  
ядерной геологии.

УДК 556.3:553.982.2 (575.16+575.192)

Г.В.Куликов, Э.Я.Салтейская, В.П.Пашковский  
И.В.Кушниров

ГАЗСЫЙ СОСТАВ ПОДЗЕМНЫХ ВОД ГАЗОНЕФТЕНОСНЫХ  
ОТЛОЖЕНИЙ ЗАПАДНОГО УЗБЕКИСТАНА

Изучению растворенных газов подземных вод продуктивной толщи газонефтеносных районов Западного Узбекистана посвящены специальные гидрогеологические исследования.

В настоящее время по данному вопросу накоплен большой фактический материал, позволяющий выявить главные черты зональности газового состава подземных вод в связи с особенностями нефтегазоносности отдельных комплексов и зон.

В данной статье состав водорастворимого газа рассматривается, в основном, как показатель, отражающий процесс регионального газонефтенакопления и некоторые принципиальные особенности состава свободных углеводородных скоплений (соотношение газа и нефти). Анализ этого показателя проводится по трем основным водоносным комплексам продуктивной толщи - юрскому, нижнемеловому и альб-сеноманскому, которые выделены по целому ряду гидрогеологических признаков в предшествующих работах (7,6,2).

Авторами составлены карты-схемы газового состава подземных вод указанных комплексов, для каждого из которых показаны зональность первого (по преобладающему компоненту растворенной газовой смеси) и второго порядка (по характерному подчиненному компоненту (рис.1,2,3). Для юрского водоносного комплекса характерно преобладание в растворенном газе углеводородов (5). Исследования последних лет подтвердили справедливость этого вывода. В связи с этим на схеме (рис.1) юрского водоносного комплекса вся исследуемая территория выделена как зона метановых вод. Содержание метана - 95-85%, азота - 2-3%. Вместе с тем, в пределах развития подземных вод юрских отложений наблюдается зональность по газовым компонентам, имеющим подчи-

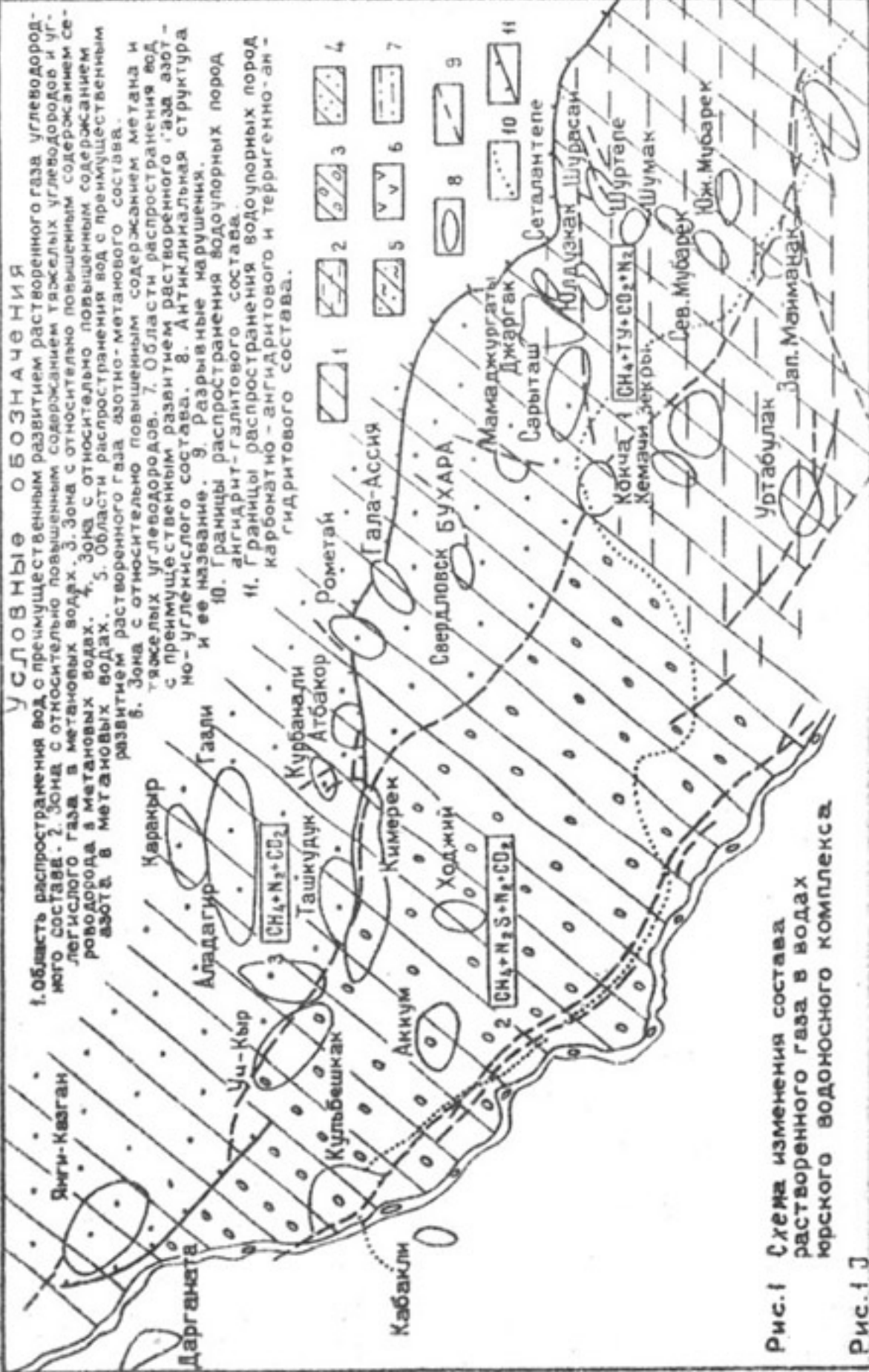
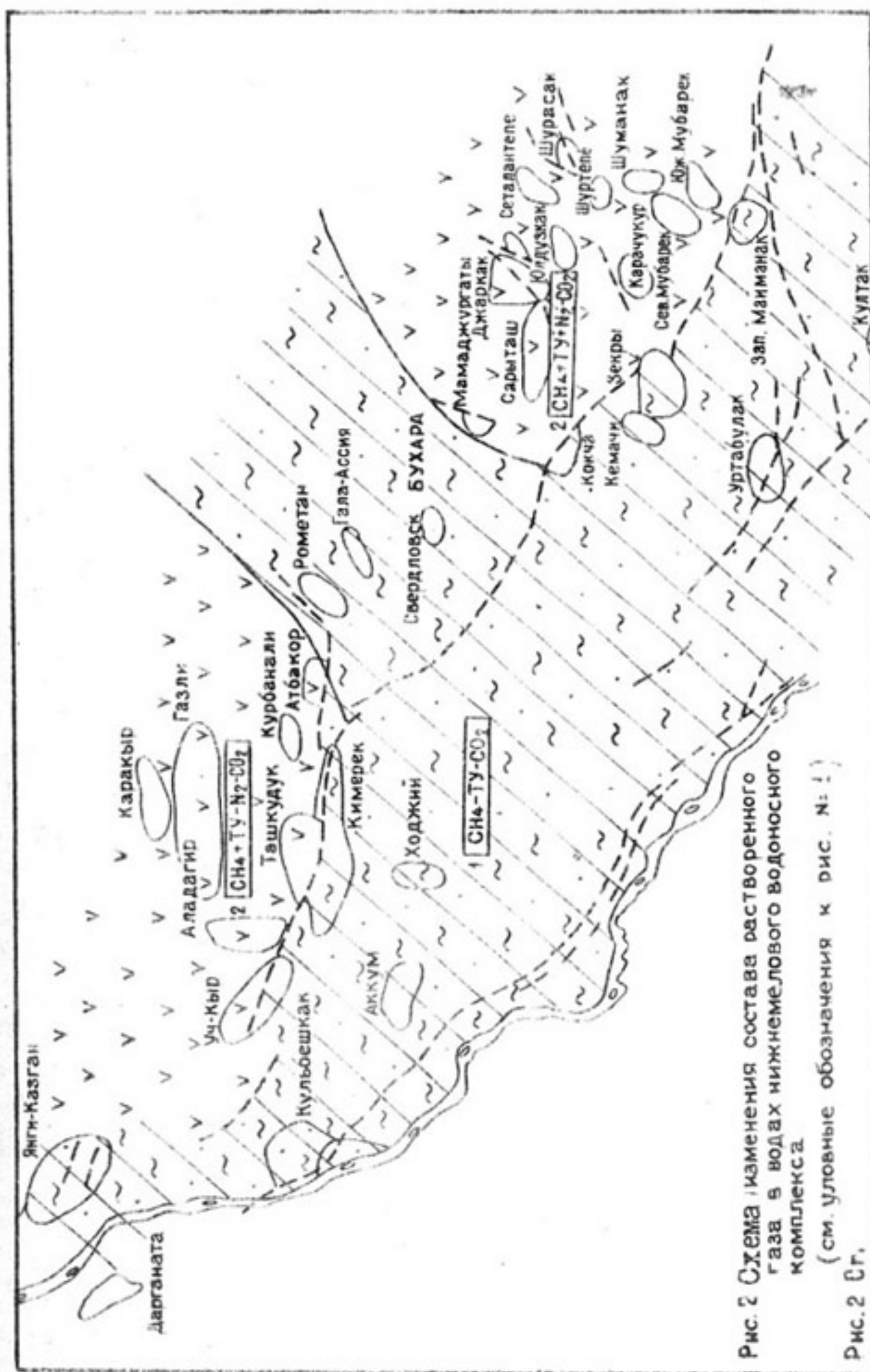
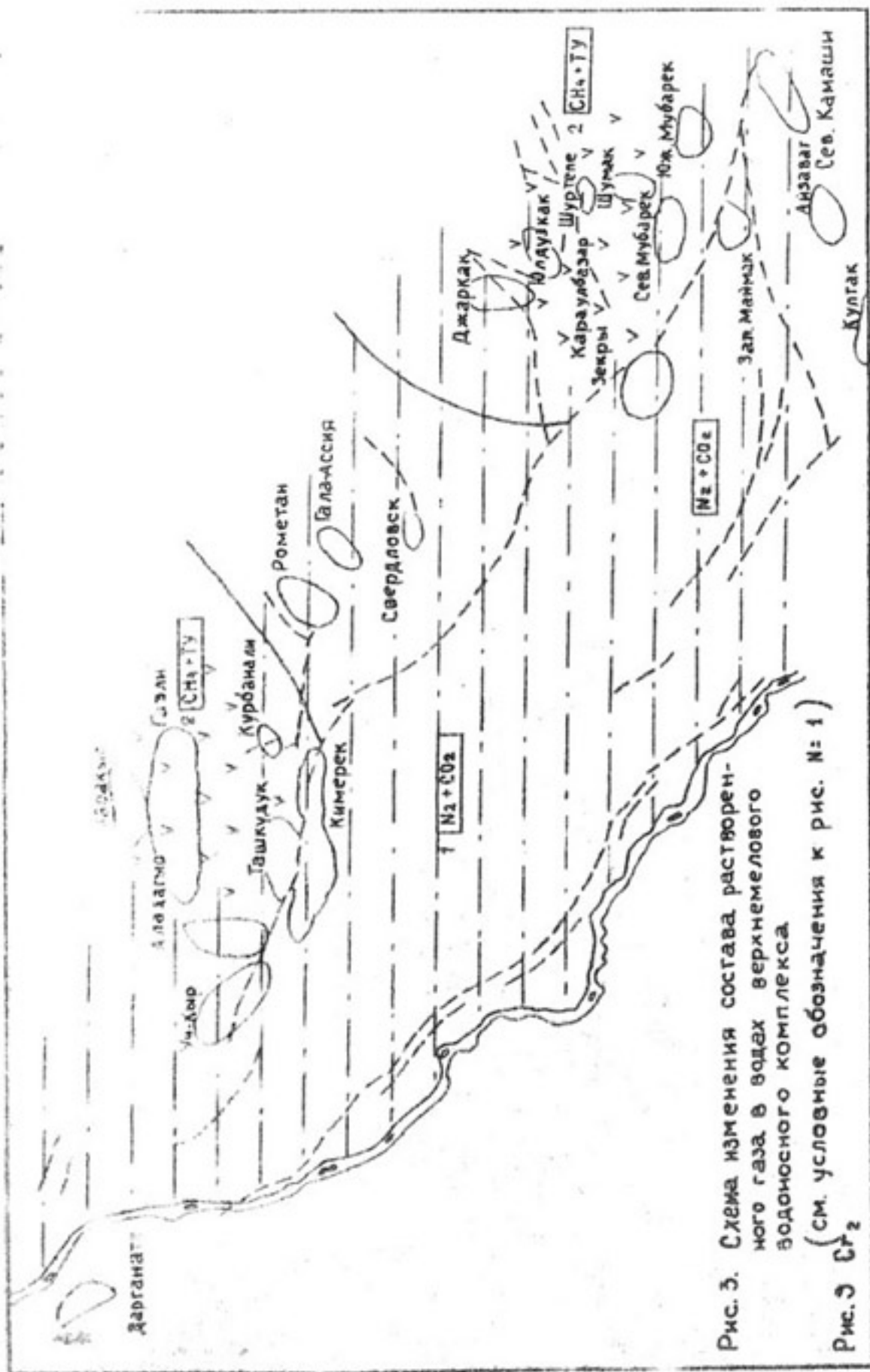


Рис. 1 Схема изменения состава растворенного газа в водах юрского водоносного комплекса

Рис. 4





ченное значение. Наиболее характерно наличие областей повышенного содержания азота и углекислоты. Зона относительно высокого содержания азота приурочена к северо-восточной части Бухарской ступени. Метаново-азотный состав растворенного газа, по-видимому, отражает сравнительно малые масштабы генерации и аккумуляции углеводородов в этой зоне. Такое объяснение тем более вероятно, что воды юрских отложений этой зоны по степени, типу минерализации, содержанию в них гелия, дейтерия и другим признакам следует признать в основном седиментационными (6,1).

Зона наиболее высокого содержания углекислоты и тяжелых углеводородов распространена на юго-востоке описываемого региона (рис.1), на территории, прилегающей к постплатформенной подвижной области (Бешкентский прогиб и смежные участки Каши-Мубарекского поднятия). Необходимо подчеркнуть, что здесь открыты, в основном, газо-конденсатные и нефтегазоконденсатные залежи. Таким образом, наличие в этой зоне региональной обогащенности растворенного газа тяжелыми углеводородами не нуждается в специальном обосновании.

Можно предположить, что повышенное содержание углекислого газа является характерным для скоплений в подземных водах углеводородов указанного типа.

В газовом составе вод нижнемелового водоносного комплекса Бухарской и Чарджоуской ступеней преобладает азот (т.е. отвечает газовым ассоциациям "пустых" территорий, (3)). Участки преимущественного насыщения метаном и его гомологами имеют ограниченные размеры (рис.2), что связано с непосредственным влиянием свободных скоплений нефти и газа. Здесь имели место процессы миграции и аккумуляции углеводородов, а процессы регионального нефтегазообразования носили подчиненное значение. Для газового состава подземных вод верхнемелового водоносного комплекса характерно полное и практически повсеместное преобладание азота (рис.3). В связи с этим вся исследуемая территория на карте представлена азотно-углекисличными водами.

Высокое содержание углеводородов (более 90%) отмечается только вблизи контуров свободных скоплений газа в подземных водах верхнемеловых отложений (Газли, Ташкудук).

Существенный интерес представляют данные об относительном содержании в составе растворенной газовой смеси тяжелых углеводородов, кислых и редких компонентов.

Содержание этана и высших углеводородов в составе растворенного газа изменяется в больших пределах - от долей процента до 15-22%. Отмечены случаи, когда при относительно высоком проценте азота и низком содержании метана количество тяжелых углеводородов существенно увеличивается (Азляр-Тепе, Кемачи-Зекры, Шурсай и др.).

Процент гелия и аргона в составе растворенных в подземных водах газов колеблется в значительных пределах. Соотношение этих компонентов (гелий-аргоновый коэффициент) изменяется в среднем для юрского водоносного комплекса от 0,03 до 1,47 и верхнемелового от 0,02 до 2,24. В общем случае этот показатель свидетельствует об уменьшении возраста подземных вод от юрских до верхнемеловых водоносных горизонтов.

Таким образом, выявлена зональность в газовом составе подземных вод мезозойских отложений и отображена на картах. Следует отметить, что региональный (фоновый) состав растворенного газа (4) на значительных территориях резких изменений не претерпевает.

В рассматриваемом случае отдельным крупным объемным элементам продуктивной толщи Западного Узбекистана соответствует определенный региональный газовый состав подземных вод (табл. I), отражающий наличие и качественный состав углеводородных скоплений в этих объемах.

Таблица I

Зональность газового состава подземных вод как показатель нефтегазоносности юрских и меловых отложений Западного Узбекистана

Зона	Состав водорастворимого газа: % объемные						Характеристика нефтегазоносности данного объемного элемента продуктивной толщи
	1	2	3	4	5	6	
Юрский водоносный комплекс (кол.-окс)							
1. Карши-Мубарекское и Каганское поднятие, Бешкентский прогиб	80-90	1,4-4,2	1,2-2,7	1,8-6,4	-	-	Содержит, в основном, газоконденсатные и нефтегазоконденсатные залежи.
2. Северо-Западный район Чардоусской ступени	92	0,6-2,7	0,9-1,7	0,5-1,5	0,1-0,9	-	Содержит преимущественно газовые залежи с относительно малым газоконденсатным фактором
3. Северо-Западный район Бухарской ступени (Рометанский прогиб и Газлинское поднятие)	78,4-93,0	0,2-4,4	2,3-21,1	0,2-0,5	-	-	Характеризуется существенным разрушением газовых залежей, за счет эмиграции углеводородов (особенно из терригенной толщи)
Нижнемеловой комплекс							
I. Чардоуская ступень и Рометанский прогиб	48,0-50,0	0,1-1,8	33,8-49,8	3,2-5,9	-	-	Нефтегазонакопление не происходило.

I : 2 : 3 : 4 : 5 : 6 : 7 : 8

2 Газлинское, Каганское и Мубарекское поднятия.	46,0- 88,0	0,8- 98,0	4,5- 7,1	0,5- 1,3	-	Выявленная и возможная газонефтеносность обусловлена миграцией газа и нефти из юрских отложений.
Верхнемеловой комплекс						
1 Чардоуская ступень, Каши-Мубарекское поднятие, Рометанский прогиб	0,7- 9,3	0,06- 0,46	68- 80	1,7- 18,0	-	Нефтегазонакопление не произошло
2 Отдельные участки Каганского и Газлинского поднятий	5,8- 17,2	0,8- 94,4	61,6- 76,8	0,5- 24,1	-	Выявлено и предполагается наличие в основном чисто газовых скоплений из юрских и нижнемеловых отложений.

Аналогичный метод можно использовать при оценке перспектив нефтегазоносности других участков Каракумского нефтегазоносного бассейна.

#### Л и т е р а т у р а

1. Алексеев Ф.А.,  
Готтих В.Н.,  
Сойфер В.Н.,  
Брызгунов В.С. Радиоактивные элементы и дейтерий в подземных водах Бухаро-Каршинского артезианского бассейна. Академия наук СССР. Геохимия, 12 1970. Изд-во "Наука".
2. Бабаев А.Г.,  
Лебзин Е.В.  
Симоненко А.Н.,  
Кушниров И.В. Бухаро-Хивинская нефтегазоносная область. Изд-во АН УзССР, 1963.

3. Зингер А.С. Газогидрохимические критерии нефтегазоносности локальных структур. Изд-во Саратовского университета. 1966 .
4. Зорькин М.М. Растворенные газы пластовых вод нефтегазоносных бассейнов. М.Г.У. им. Ломоносова, автореферат на соискание докторской степени, Москва, 1969г.
5. Корцепитейн В.Н. Гидрогоеология Бухаро-Хивинской газо-нефтеносной области, "Недра", Ленинград, 1964.
6. Кудряков В.А. Гидрогеология мезозойских отложений южной части Бухаро-Хивинской нефтегазоносной области. Госгеолтехиздат, г.Москва, 1963 .
7. Корсаков С.П. Характеристика пород - коллекторов нижнего мела Джаркакского и Карабулбазарского Сарыташского месторождений газа и нефти. „Разведка и охрана недр”, № 10, 1959 .

УДК 553.7 + 553.776 (575.3)

А.Н.Султанходжаев, Т.Ф.Стойнов

УСЛОВИЯ ФОРМИРОВАНИЯ СУЛЬФИДНЫХ МЕТАНОВО-АЗОТНЫХ ВЫСОКОМИНЕРАЛИЗОВАННЫХ ВОД И РАССОЛОВ ОБИ-ШИФО.

Месторождение крепких сульфидных рассолов Оби-Шифо расположено в полосе антиклинальных складок на стыке Центрально-Ферганского артезианского бассейна с зоной артезианских бассейнов заадырных впадин Южной Ферганской депрессии. Сульфидные рассолы, аналогичные полученным в Оби-Шифо, распространены в южной и юго-восточной части Ферганского артезианского бассейна. Наличие крепких сульфидных вод рассольного типа характерно для структур :Оби-Шифо (Ким), Айритан, Нефтеабад, Шорсуйская группа, Северный Сох, Сев. Риштай, Чимион, Палванташ, Андижан, Ходжиабад и Южный Алямышик. Характерно, что зоны распространения мало- и среднеминерализованных сульфидных вод в Чимионе, Риштайе и Чаягырташе приурочены к обширным площадям крепких сульфидных рассолов. Сульфидные рассолы встречены в отложениях палеогена (туркестанский, алайский и бухарский ярусы), в Оби-Шифо в отложениях палеоценена (бухарский ярус). Приуроченность сульфидных рассолов показана в таблице I.

Сульфидные воды рассольного типа повсеместно приурочены к эоценовым и палеоценовым отложениям. Наличие мало-минерализованных сульфидных вод в палеоцене не характерно. Генетические характеристики сульфидных рассолов, несмотря на определенные различия, в целом сходны (табл.2) Отношение  $\frac{Z_{Na}}{Z_{Ca}}$  как правило варьирует в пределах от 0,7 до 0,85, что весьма характерно для седиментационных вод. Величина отношения  $\frac{Z_{Ca}}{Z_{Na}}$  (коэф. Шеллера) различна. Для одной группы месторождений сульфидных вод (Оби-Шифо, Андижан, Шорсу) она составляет 0,120-0,160, для другой (Чимион, Палванташ, Ю.Алямышик) - 0,200-0,300 и более. Необходимо

## Приуроченность супесчаных рассолов

Таблица № 1

№	Название геоло- гической структуры	Возраст водонес- шего горизонта	Водоносный пласт (по номенклатуре нефтяников)
1.	Оби-Широ	бухарский	УШ и IX
2.	Шорсу I	бухарский	УШ
3.	Шорсу II	а) риштанский б) туркестанский в) алайский г) бухарский	У У УШ УШ
4.	Чиминов	а) алайский б) бухарский	УП УШ
5.	Палванташ	а) туркестанский б) алайский в) бухарский	У УП УШ
6.	Андижан	а) риштанский б) туркестанский в) алайский	Ш У УП
7.	Ходжи-Абад	бухарский	УШ

## ХАРАКТЕРИСТИКА СУЛЬФИДНЫХ РАССОЛОВ НЕКОТОРЫХ МЕСТОРОЖДЕНИЙ МИНЕРАЛЬНЫХ ВОД ЧЕЛНОЙ ФЕРГАНЫ

Таблица № 2

№: № скважин:	Формула хим. состава воды	$T^0$	Биологически активные компоненты	$\frac{Cl}{B}$	$\frac{Cl-Na}{Cl}$	$\frac{SO_4 \cdot 100}{Cl}$	$\frac{Na}{Cl}$	$\frac{Mg}{Cl}$	$\frac{SO_4}{Mg}$	$\frac{Ca}{Mg}$	
пп : возраст : горизонта :											
1. Оби-Шаро скв. 1 Р91	$M_{85,2}$ $Cl_{96}$ $Na_{81}$ $Ca_{13}$	21	$H_2S$ 0,737, 0,085 0,0032	588	0,158	3,54	0,84	2,29	< 0	1,9	
2. Оби-Шаро скв. 2 Р91	$M_{120}$ $Cl_{97}$ $Na_{83}$ $Ca_{12}$	pH 6,9	$H_2S$ 0,793 0,036 0,0016	564	0,149	1,83	0,85	2,66	< 0	2,1	
3. Оби-Шаро скв. 6 Р91	$M_{123}$ $Cl_{99}$ $(Na + K)_{84}$ $Ca_{9}$	24,7	$H_2S$ 0,527 0,102 0,008	680	0,176	0,02	0,82	2,8	< 0	1,8	
4. Чиммон скв. 2 Р91+2	$M_{93}$ $Cl_{97}$ $Na_{69}$ $Ca_{17}$ $Mg_{10}$	26	$H_2S$ 0,332 0,085 0,0032	588	0,284	2,70	0,71	2,18	< 0	1,37	
5. Чиммон скв. 4 Р9 1+2	$M_{157,8}$ $Cl_{98}$ $Na_{73}$ $Ca_{17}$ $Mg_{10}$	19	$H_2S$ 0,248 0,276 0,005	383	0,253	1,36	0,74	2,52	< 0	1,5	
6. Амударья скв. 61 Р92	$M_{169,8}$ $Cl_{99}$ $(Na_{73} + K)_{83}$ $Ca_{10}$	pH 7,1	28	$H_2S$ 0,171 0,093 0,067	1110	0,160	0,71	0,82	2,35	< 0	1,45
7. Палванчай скв. 163 Р91	$M_{202}$ $Cl_{99}$ $(Na + K)_{77}$ $Ca_{14}$ $Mg_{9}$	pH 7,2	28	$H_2S$ 0,080 0,160 0,005	781	0,370	0,39	0,77	3,8	< 0	1,63

отметить, что генетический коэффициент  $\frac{Z_{\text{СЛ}} - Z_{\text{УГ}}}{Z_{\text{МД}}}$ , предложенный В.А. Сулиным, колеблется в пределах от 1,4 до 2,7, иногда достигая даже величины 3,8 (Палванташ). Рассматриваемые сульфидные рассолы по В.А. Сулину относятся к водам "хлоркальциевого типа". Значения  $\frac{Z_{\text{СЛ}}}{Z_{\text{УГ}}}$  в рассматриваемом типе вод изменяются от 383 (Чимион) до 1110,0 (Андижан); однако, для большинства анализов характерны величины порядка 500 + 800. Для сульфидных вод Оби-Шифо отмечаются соотношения в пределах 560 + 680 (II).

Пестрота приводимых соотношений вполне закономерна, так как сульфидные рассолы Южной Ферганы представляют собой продукт сложной палеогидрогеологической эволюции с участием седиментационных (сингенетичные и эпигенетичные) и древних инфильтрационных вод, попавших в глубинную термохимическую и термодинамическую обстановку. Значительное влияние на современный облик описываемых вод оказали также биохимические процессы (например, сульфатредукция) и участие в их составе молодых инфильтрационных вод.

Анализ геологического строения и гидрогеологических условий района месторождения крепких сульфидных вод Оби-Шифо показывает, что подземные воды здесь обогащены растворенными сульфидами. Для развития процесса биогенной сульфатредукции необходимо сочетание ряда условий (I, 4, 5, I2):

а) наличия сульфатредуцирующих бактерий, жизнедеятельность которых зависит от количества и качества органического вещества подземных вод и пород, кислотно-щелочных свойств подземных вод и температурных условий в зоне их распространения;

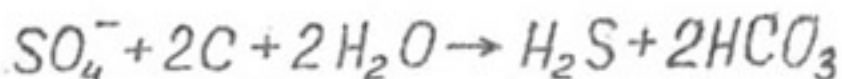
б) степени обогащения подземных вод сульфатами и интенсивности их возобновления;

в) геоструктурной обстановки, обеспечивающей анаэробные условия среды.

Условия для интенсивного развития биогенной сульфат-

редукции весьма благоприятны в области распространения нефтегазоносных месторождений альпийского пояса Южной Ферганы и, в частности, в районе Оби-Шифо. Благодаря наличию серии нефтеносных горизонтов, в породах палеогена имеется обильная органика. Наличие сульфатредуцирующей микрофлоры в подземных водах палеогеновых отложений на юге Ферганского артезианского бассейна подтверждается многими исследователями (4,7). Однако распределение количества микроорганизмов, их активность весьма различна в пределах отдельных геологических структур. Д.С.Ибрагимов связывает это явление, главным образом, с различием окислительно-восстановительного потенциала. При значении  $\gamma H_2^x$  более 18 сульфатредуцирующие организмы не развиваются. Губительными для этих микроорганизмов являются также значения  $\gamma H_2$  менее 6 (Палванташ) (2,3).

Весьма важную роль играют кислотно-щелочные свойства подземных вод: сульфатредуцирующие бактерии наиболее активны при pH от 6,2 до 7,9. В результате изучения деятельности мезофильных и термофильных сульфатредуцирующих организмов установлено, что оптимальные температуры соответственно составляют 25–30° и 5,5°, хотя они жизнедеятельны и при температурах от 30 до 65°. Процесс биохимического восстановления сульфатов соответствует схеме (I):



Для отложений палеогена на северном склоне Караганской антиклинали (Оби-Шифо) характерно сочетание благоприятных условий, способствующих биогенной сульфатредукции. Погружение отложений палеогена по направлению к Ферганской депрессии и надежная их изоляция перекрывающими глинами эоценового и неогенового возраста обеспечивает анаэробную обстановку. Широкое распространение в отложениях палеогена нефтяных продуктов обеспечивает процесс десульфуризации органикой.

x)  $\gamma H_2$  — отрицательный логарифм концентрации молекуллярного водорода, связанный с Е<sub>h</sub> след. зависимостью:

$$\gamma H_2 = \frac{E_h}{0,029} + 2\rho H \quad (6)$$

Температура вод, приуроченных к отложениям бухарского яруса, на глубине с 200-1400 м колеблется от 20-40°C, т.е. в пределах, обеспечивающих оптимальные условия для жизнедеятельности мезофильных сульфатредуцирующих бактерий. Величина pH в сульфидных рассолах Оби-Шифо колеблется от 6,8 до 7,1, что обеспечивает также оптимальные условия жизнедеятельности сульфатредуцирующей микрофлоры. Характерно, что в водах месторождения Оби-Шифо наблюдается наличие заметного количества сульфатов, порядка 2-2,5 г/л.

Таким образом, в Оби-Шифо отмечаются все основные факторы, обеспечивающие интенсивность процесса биогенной сульфатредукции – основного механизма накапливания  $H_2S$  в подземных водах.

Интересны данные сопоставления состава растворенного газа в подземных сульфидных водах рассольного типа и в подземных сульфидных водах малой минерализации (табл.3).

Состав растворенного газа в сульфидных водах

Чимиона и Оби-Шифо

Таблица 3

Тип:Объект	Содерж.	Содержание компонентов в см <sup>3</sup> /1000мг					
воды:	газа в	воды					
	: см <sup>3</sup> /1000	мг воды					
		He	$H_2$	$CO_2$	$N_2$	$CH_4$	$Ar$
Сульфид. I. Чимиона	58,72	0,001	0,34	2,63	54,16	0,25	1,35
мало- и скв.3							
средне2. Чимиона	162,66	0,004	0,26	14,29	134,64	10,5	2,78
минер. скв.89							
(отстойная вода)							
Сульфидные рассолы	I. Чимиона скв.1	91,15	0,047		,04	58,91	28,2
	скв.2	121,8	0,254		,11	78,6	39,9
2. Оби-Шифо скв.1		86,52	0,116	0,67	2,73	44,64	36,5
3. Оби-Шифо скв.2							1,82

Из данных таблицы видно: в маломинерализованных водах роль углеводородов по сравнению с азотом крайне незначительна, в рассолах (особенно Оби-Шифо) углеводородные газы составляют 30 и более процентов состава растворенного газа, т.е. воды становятся метаново-азотными.

Представляют определенный интерес данные абсолютного возраста сульфидных вод Чимиона и Оби-Шифо.

Расчет абсолютного возраста  
сульфидных вод

Таблица № 4

Способ расчета:	Возраст воды в млн лет		
абсолютного			
возраста воды :	маломинерализованные	Сульфидные	
	сулфидные воды	рассолы	
: Чимион	: Чимион	: Чимион	: Оби-Ши-
: скв. 89	: скв. 3	: скв. I	: фо, скв. I
			скв. I

по В.П. Савченко

T	He	77	0,112	0,055	2,302	6,935	4,902
	Zn						

по А.Л. Коалову

T	He	115	0,168	0,080	3,348	10,358	7,322
	Zn						

Возраст маломинерализованных вод соответствует современному. Это вполне согласуется с предположением, что в составе маломинерализованных вод Чимиона более 90% занимают пресные воды сох-бактрийского комплекса (9,10). Сульфидные воды рассольного типа Чимиона и Оби-Шифо являются несомненно более древними, сформировавшимися в дочетвертичное время. Значительное количество сульфидов в газах и подземных водах и серы в нефтях накапливается в основном на территории нефтяных месторождений (Сель-Рохо /р-я Оби-Шифо/, Чонгара, Сев.Сок, Шорсу и др.) в отложениях алайского и

бужарского яруса палеогена, представленных доломитизированными трещиноватыми известняками. Подземные воды этих отложений, "относительно обогащены ионами  $Mg^{2+}$ , вернее, отношение  $\frac{Mg^{2+}}{Ca^{2+}}$  в них наивысшее (8)."

Вместе с тем, повышенное содержание в подземных водах хлоридов магния следует рассматривать как косвенный признак участия седиментационных вод в формировании сульфидных рассолов (I, II).

Следовательно, основная роль в формировании состава сульфидных рассолов Оби-Шифо принадлежит седиментационным и древним инфильтрационным водам, претерпевшим процессы глубокой метаморфизации (метагенез). В южной части месторождения наблюдается внедрение в них современных инфильтрационных вод. Кроме того, на формирование состава сульфидных рассолов Оби-Шифо сильное влияние оказывают процессы биогенной сульфатредукции.

#### Л и т е р а т у р а

1. А.М. Бунеев      Основы гидрогеохимии минеральных вод осадочных отложений. М., Медгиз, 1956.
2. Д.С. Ибрагимов      Гидрогеохимическая характеристика сероводородных вод Южной Ферганы. В сб. "Вопросы гидрогеологии и инженерной геологии Узбекистана", I, 1964.
3. Д.С. Ибрагимов      Гидрогеология месторождений сероводородных вод южной части Ферганского аргезианского бассейна. Автореферат диссертации на соиск. уч. степ. канд. геол. наук. Ташкент, 1964.
4. М.В. Иванов      Роль микроорганизмов в образовании и разрушении месторождений серы. Тр. ин-та микробиологии АН СССР, вып. 9 Сб. "Геологическая деятельность микроорганизмов", 1961.

5. Н.К.Игнатович  
О закономерностях распределения и формирования подземных вод. ДАН СССР, нов.серия, т.45, № 3, 1944 .
6. С.И.Кузнецов  
М.В.Иванов  
Н.Н.Ляликова  
Введение в геологическую микробиологию. Изд-во АН СССР, М., 1962.
7. З.И.Кузнецова  
Распространение бактерий в подземных водах в зависимости от окислительно-восстановительных условий среды. "Микробиология", т.35, вып. I, 1966.
8. И.С.Старобинец  
Ф.З.Сагидова  
Геохимия нефти и газов Ферганской депрессии. Изд-во АН УзССР, Т., 1963.
9. С.Ф.Стойнов  
А.Н.Султанходжаев  
Основные типы минеральных вод Ферганского артезианского бассейна. "Узб.геол.журнал", 1970, 2.
10. Т.Ф.Стойнов  
Месторождения минеральных вод Ферганского артезианского бассейна. Бюлл. МОИШ, № 5, 1970.
11. В.А.Судин  
Условия образования, основы классификации и состава природных вод, в частности, вод нефтяных месторождений. М-Л, Изд-во АН СССР, 1948.
12. Л.А.Яроцкий  
Основные закономерности образования сероводородных вод. В сб. "Вопросы формирования и распространения минеральных вод СССР", 1960.

Г.В.Куликов, А.С.Вишняков, Н.Н.Ходжибаев,  
Н.Н.Соколов

## О МЕТОДИКЕ МЕЛКОМАСШТАБНОГО ГИДРОГЕОЛОГИЧЕСКОГО КАРТИРОВАНИЯ

Рациональное использование водных ресурсов невозможно без изучения гидрогеологической обстановки: условий залегания, мощности и распространения подземных вод, их качества, ресурсов, условий восполнения и других особенностей. Для решения названных задач на обширных площадях в настоящее время выполняется картирование. Результаты мелкомасштабного гидрогеологического картирования обобщаются в виде карты.

Мелкомасштабные гидрогеологические карты, относящиеся к категории общих, в большинстве случаев отражают следующие гидрогеологические элементы: распространение водоносных горизонтов (комплексов) и водоупорных толщ; минерализация и глубина залегания уровня подземных вод (свободного и пьезометрического), направление движения потоков и другие характерные особенности картируемых водоносных горизонтов.

Мелкомасштабные карты несмотря на насыщенность параметрами подземных вод (карты) в основном являются обзорами и не дают детального представления о гидрогеологии картируемой территории.

Государственные гидрогеологические карты, составляемые полистно, в конечном счете дают возможность прогнозировать решение целого ряда региональных и теоретических проблем, но скорость составления и издание их несколько отстают от растущей потребности изучения процессов формирования подземных вод в конкретной природной обстановке.

нам представляется целесообразным, что необходимыми условиями составления мелкомасштабных карт должно быть картирование гидрогеологических условий в границах естественных гидрогеологических регионов, выделенных по геолого-структурному принципу. При таком методическом подходе на картах можно будет отразить наиболее полно ход сложных гидрогеологических процессов, определяющих гидрогеологический облик региона.

Дополнительно на мелкомасштабных гидрогеологических картах должно быть отражено:

- границы артезианских (и складчатых гидрогеологических) областей и естественных потоков (бассейнов) подземных вод;
- области питания и разгрузки грунтовых и напорных водоносных горизонтов с количественной характеристикой статей баланса;
- участки площадей с различными модулями стока;
- изолинии минерализации, построенными по генетическому принципу.

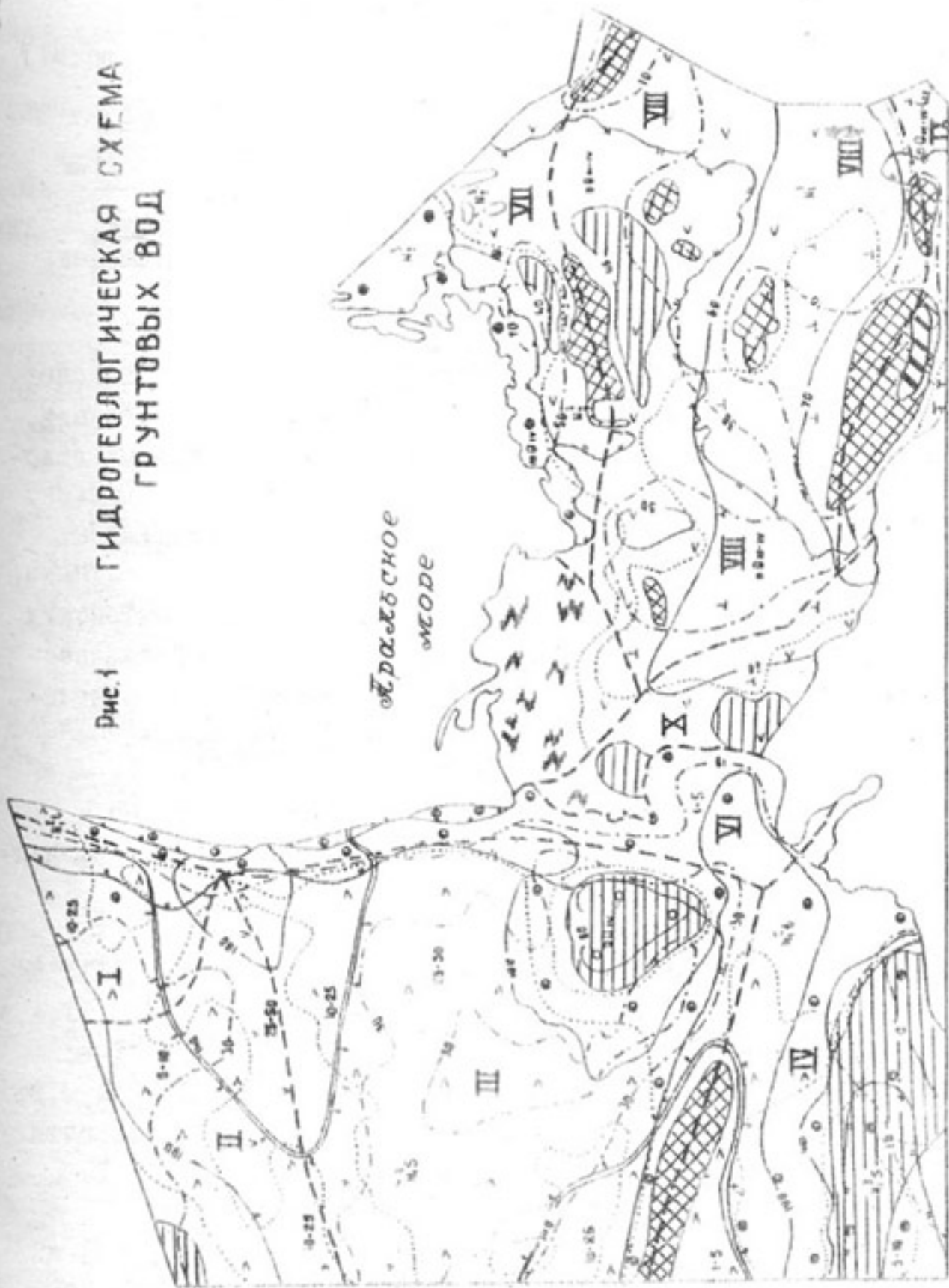
В связи с изложенным, нам представляется возможным в настоящее время составить карты: Амударьинского, Устюртского, Сырдарьинского, Сурхандарьинского и других бассейнов.

На основе данных этих карт можно составить альбом гидрогеологических карт в административных границах области или республики.

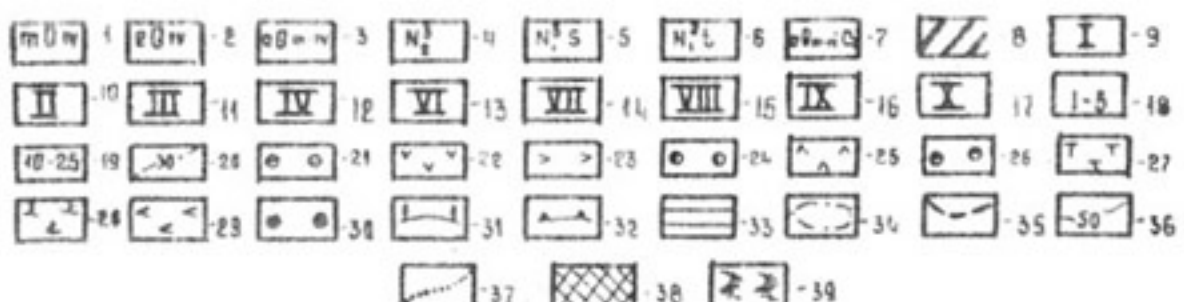
Альбом, по нашим рекомендациям, должен состоять из четырех карт: гидрогеологическая карта грунтовых вод, гидрогеологическая карта водоносного комплекса верхнемеловых отложений, карты гидрогеологомелиоративного районирования низовий Амударьи, карты размещения площадей с подземными водами, пригодными для использования в народном хозяйстве. К каждой из карт должны быть приложены гидрогеологические разрезы.

При построении первых двух карт (рис. I, 2) за основу была принята инструкция ВСЕИИГЕО. Раздельное картирование грунтовых и межпластовых меловых вод позволит по каждому водоносному комплексу дать более полную информацию.

Рис. 1 ГИДРОГЕОЛОГИЧЕСКАЯ СХЕМА  
ГРУНТОВЫХ ВОД



Условные обозначения к схеме № I (рис. №I)



I - горизонт морских современных отложений; 2 - водоносный горизонт озерно-солончаковых современных отложений, глины, галит; 3 - водоносный комплекс аллювиальных отложений, пески, суглинки, супеси; 4 - водоносный комплекс верхнеплиоценовых отложений, пески, песчаники, глины. 5 - водоносный горизонт сарматских отложений известняки, мергели, реже глины; 6 - водоносный горизонт тортонаских отложений; мергели, глины, гипсы, реже известняки, песчаники; 7 - комплекс верхнемеловых четвертичных отложений, пески, супеси, песчаники; 8 - участки спорадического распространения грунтовых вод.

Группы естественных потоков грунтовых вод (Мо - модуль подземного стока, л/сек,  $\text{км}^2$ , - величина инфильтрации атмосферных, мм/год).

9. I - Косбулакской впадине  $Mo = 0,22$   $h_o = 3,7$ ; 10. - II Джаурыккудук-Самской впадине  $Mo = 0,06$   $h_o = 1,8$ ; II. III - Барсакельмесской впадине  $Mo = 0,11$   $h_o = 3,4$ ; 12. IV - Ассаудан-Сарнкамышской впадине  $Mo = 0,04$   $h_o = 1,4$ ; 13. V - Восточного чинка Устюрта  $Mo = 0,01$   $h_o = 0,9$ ; 14. VI - Приморье  $Mo = 0,011$ ; 15. VII - Южного Приаралья  $Mo = 0,019$ ; 16. IX - Акчадарыинской дельты  $Mo = 0,1$ . 17. X - Левобережье р. Амударьи  $Mo = 1,5$ .

Преобладающие коэффициенты фильтрации (м/сутки) и мощности водовмещающих пород (м). 18 - преимущественно мергелий, гипсов. 19 - преимущественно кавернозные известняки. 20 - Изолинии мощности водоносного горизонта, комплекса.

Химический состав и генетические граничения минерализации  
(г/л) грунтовых вод:

1. Шлато Устюрт

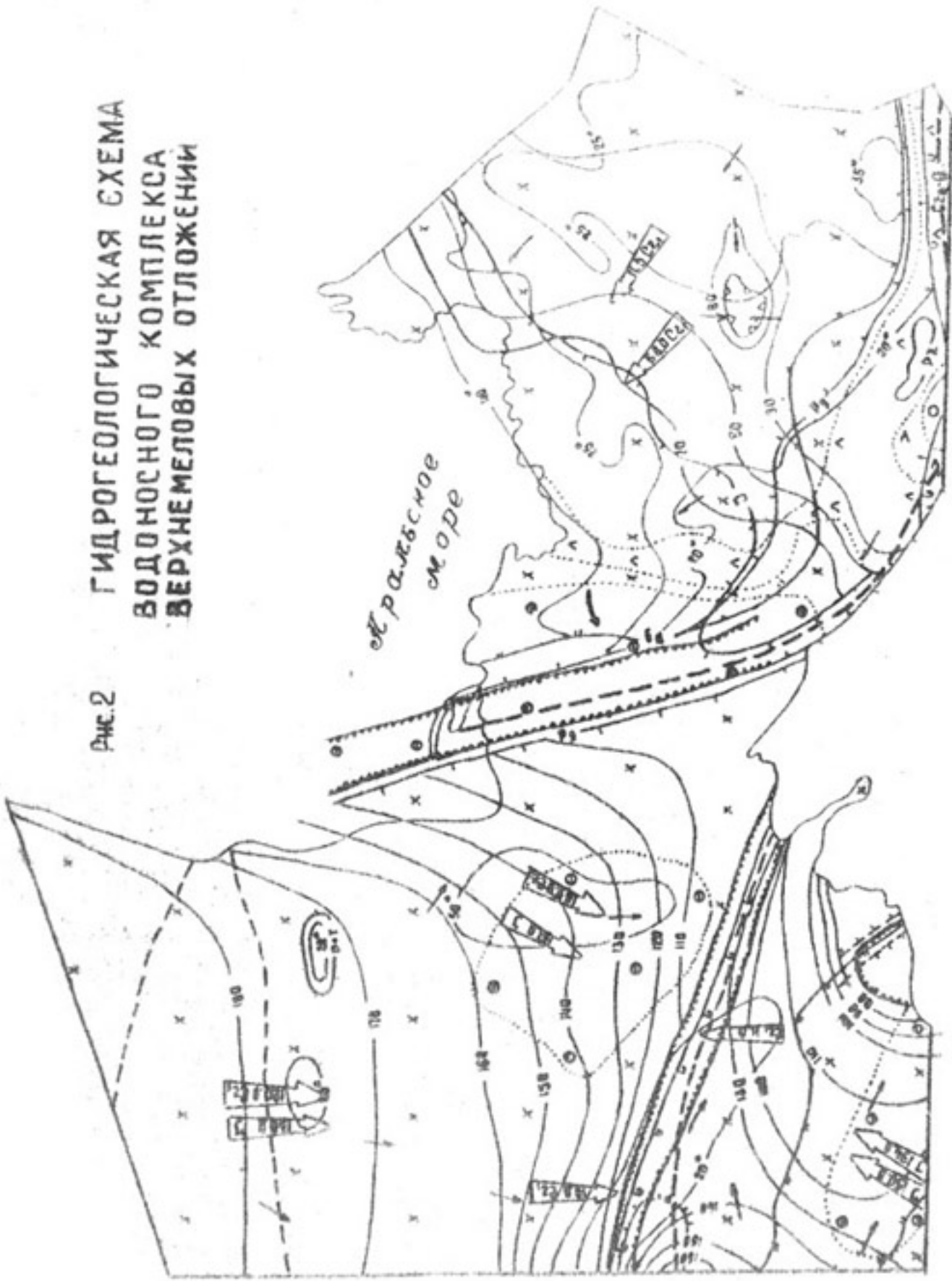
21 - хлоридного класса натриевой группы, до 1,5; 22 - сульфатного класса кальциевой группы, 1,5-3,0; 23 - сульфатного класса натриевой группы, 3,0-8,0; 24 - хлоридного класса натриевой группы, 8,0-50,0; 25 - хлоридного класса натриевой группы, 50,0 - 140,0; 26 - хлоридного класса магниевой группы, 140,0;

2. Приаралье.

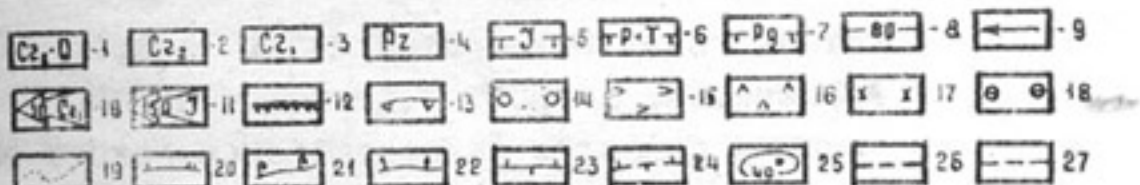
27 - гидрокарбонатного класса кальциевой группы, до 1,5; 28 - сульфатного класса натриевой группы, 1,5-10,0; 29 - хлоридного класса натриевой группы, 10,0-50,0; 30 - хлоридного класса натриевой группы; 50,0-240,0; 31 - основные области питания; 32 - области разгрузки: за счет выклинивания; 33 - за счет суммарного испарения; 34 - граница распространения площадей с различными коэффициентами фильтрации; 35 - граница распространения групп естественных потоков; 36 - гидроизогипсы; 37 - граница между участками с различной минерализацией; 38 - участки сдренированных пород; 39 - усыхающая дельта.

ГИДРОГЕОЛОГИЧЕСКАЯ СХЕМА  
ВОДНОСНОГО КОМПЛЕКСА  
ВЕРХНЕМЕЛОВЫХ ОТЛОЖЕНИЙ

Рис.2



Условные обозначения к карте № 2 (рис. № 2)



I - верхнемеловой - четвертичный водоносный комплекс; 2 - верхнемеловой водоносный комплекс; 3 - нижнемеловой водоносный комплекс; 4 - трещинные воды в образованиях палеозоя; 5 - контур распространения водоносной серии юрских отложений; 6 - контур распространения водоносного этажа пермотриасовых отложений; 7 - контур распространения регионального водоупора палеогеновых отложений; 8 - гидроизопьезы, м; 9 - направленное движение подземных вод в верхнемеловых отложениях; 10 - направление движения, минерализация и химический состав неоком-аптского водоносного комплекса; II - направление движения, минерализация и химический состав юрской водоносной серии; области разгрузки подземных вод; I2 - региональные; I3 - местные, химический состав и минерализация (г/л); I4 - гидрокарбонатно-кальциевый, до 1,0; I5 - сульфатно-натриевый, 1,0-3,0; I6 - сульфатно-натриевый, 3,0-15,0; I7 - хлоридно-натриевые, 15,0-50,0; I8 - хлоридно-натриевые, 50,0 прочие обозначения; I9 - граница между участками с различной минерализацией; 20 - граница распространения самоизливающихся подземных вод; 21 - разломы-дрены; 22 - разломы-коллектора; 23 - разломы, водоносность которых не установлена; 24 - разломы предполагаемые; 25 - изотермы по кровле верхнемелового водоносного комплекса; 26 - граница бассейнов первого порядка; 27 - граница бассейнов второго порядка.

Карта грунтовых вод должна отображать распространение водоносных горизонтов, возраст водовмещающих пород и сдренированные участки в местах относительно высокого залегания регионального водоупора, характеризовать общее направление движения и разгрузки. На основе схемы естественных потоков Н.Н.Ходжибаева, на карте проводятся границы естественных групп потоков, в пределах которых оценены основные статьи баланса грунтовых вод; величина инфильтрации, суммарная величина подземного испарения и транспирации, модуль подземного стока. Величина плотного остатка и химический состав грунтовых вод на карте даются по площади. Как основу этих характеристик рекомендуется принять классификацию О.Алекина . Химический состав по четырем основным компонентам наносится крапом, а цвет крапа указывает величину плотного остатка. Градации минерализации выводятся на обобщающих кривых, указывающих на зависимость минерализации от химического состава подземных вод. В результате на карте отражается формирование химического состава грунтовых вод в зависимости от величины плотного остатка (эта зависимость для Устюрта и Кызылкумов получилась совершенно различной, что в свою очередь позволило оценить роль литологии водовмещающих пород и гидродинамики при формировании химического состава и минерализации). В изолиниях наносятся мощность грунтовых вод и дается характеристика коэффициента фильтрации пород по площади. Все перечисленные сведения получаются в результате съемочных работ, сопровождавшихся геофизическими исследованиями (ВЭЗи КВЭЗ).

Таким образом, максимальное количество информации (в масштабе карты), характеризующей гидродинамику и гидрохимию грунтовых вод двух указанных регионов, позволит определить направленность процессов формирования и составить прогноз использования этих вод в народном хозяйстве. Меньшее количество информации содержит гидрогеологическая карта верхнемелового водоносного комплекса, так как съемочные

работы проводятся только для первого от поверхности водоносного комплекса. Водоносный комплекс меловых отложений картируется по результатам разведочного бурения и материалам бурения опорных скважин. В результате на карте строятся гидроизопьезы, выделяются региональные области разгрузки, отображается смена гидрохимических типов и минерализации меловых вод. Кроме этого, отражается роль р. Амударьи в питании мелового водоносного комплекса, а также гидрогеологическая роль разлома, между хр. Султануздагом и Букантау.

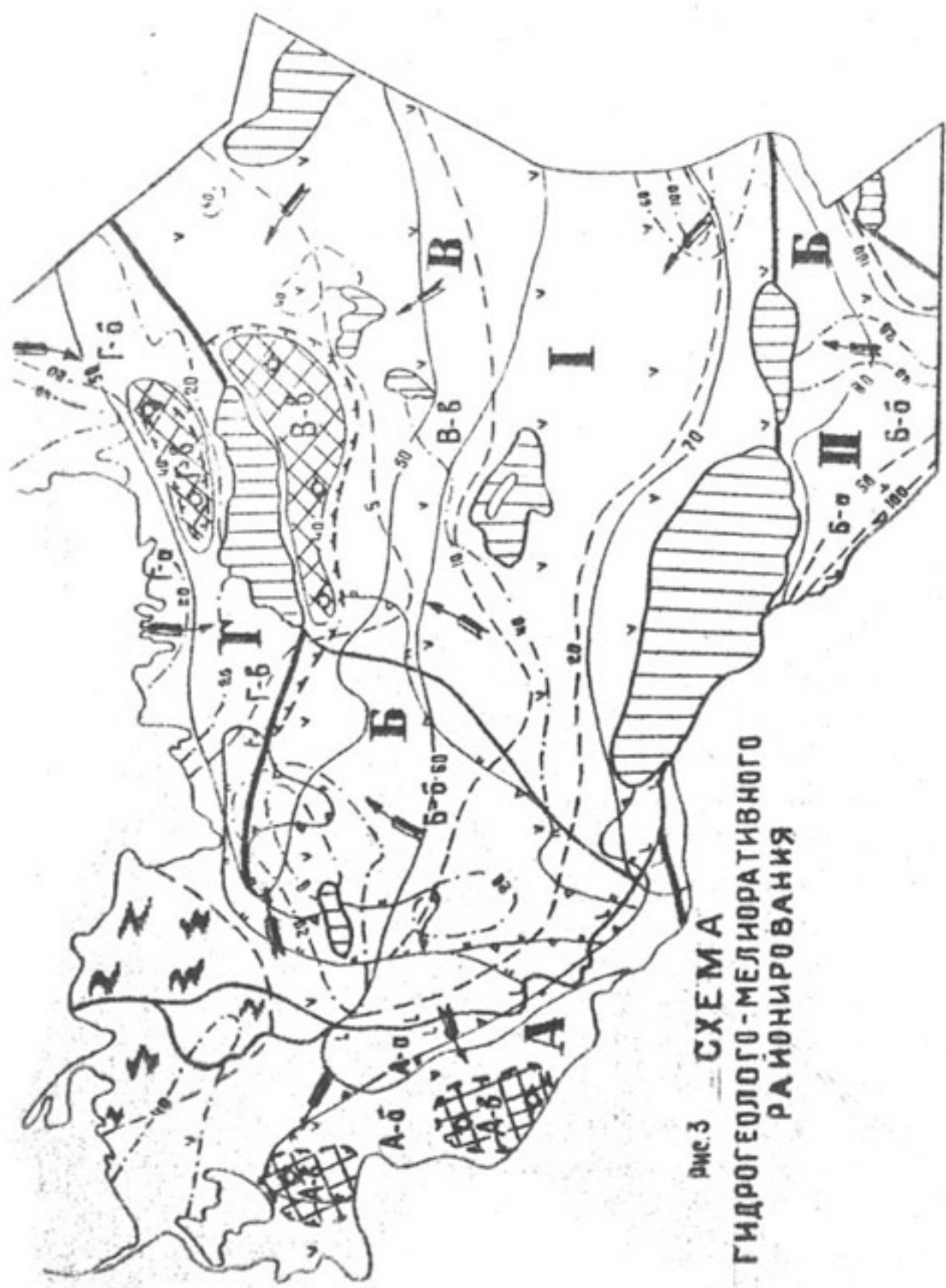
На основании этой карты прогнозируется последующая постановка работ с целью решения узловых вопросов по определению условий формирования подземных вод и последующему использованию этих вод для мелкоаэисного орошения Кызылкумов.

Третья карта (рис. 3) - Гидрогеолого-мелиоративное районирование составляется по методике института ГИДРОИНГЕО.

Построение подобной карты определено необходимостью разработки новых принципов районирования, учитывающих специфические особенности территории.

На карте, составляемой для территории Каракалпакии, характеризуются следующие элементы: Области - бассейны формирования грунтовых вод, подобласти - группы потоков грунтовых вод, подрайоны питания и формирования грунтовых вод, подрайоны разгрузки грунтовых вод. Наносятся гидроизогипсы и изолинии кровли регионального водоупора. В изолиниях даются среднегодовые расходы на 1 км ширины потоков. Выделяются земли существующего и перспективного орошения и современная формирующаяся дельта.

Четвертая карта (рис. 4) - размещение площадей с приуроченными к ним подземными водами, пригодными для использования в народном хозяйстве, является результатом всех перечисленные выше карты. На ней выделяются участки с подземными водами, пригодными для обводнения и орошения пастбищ Каракалпакии за счет грунтовых (нео-



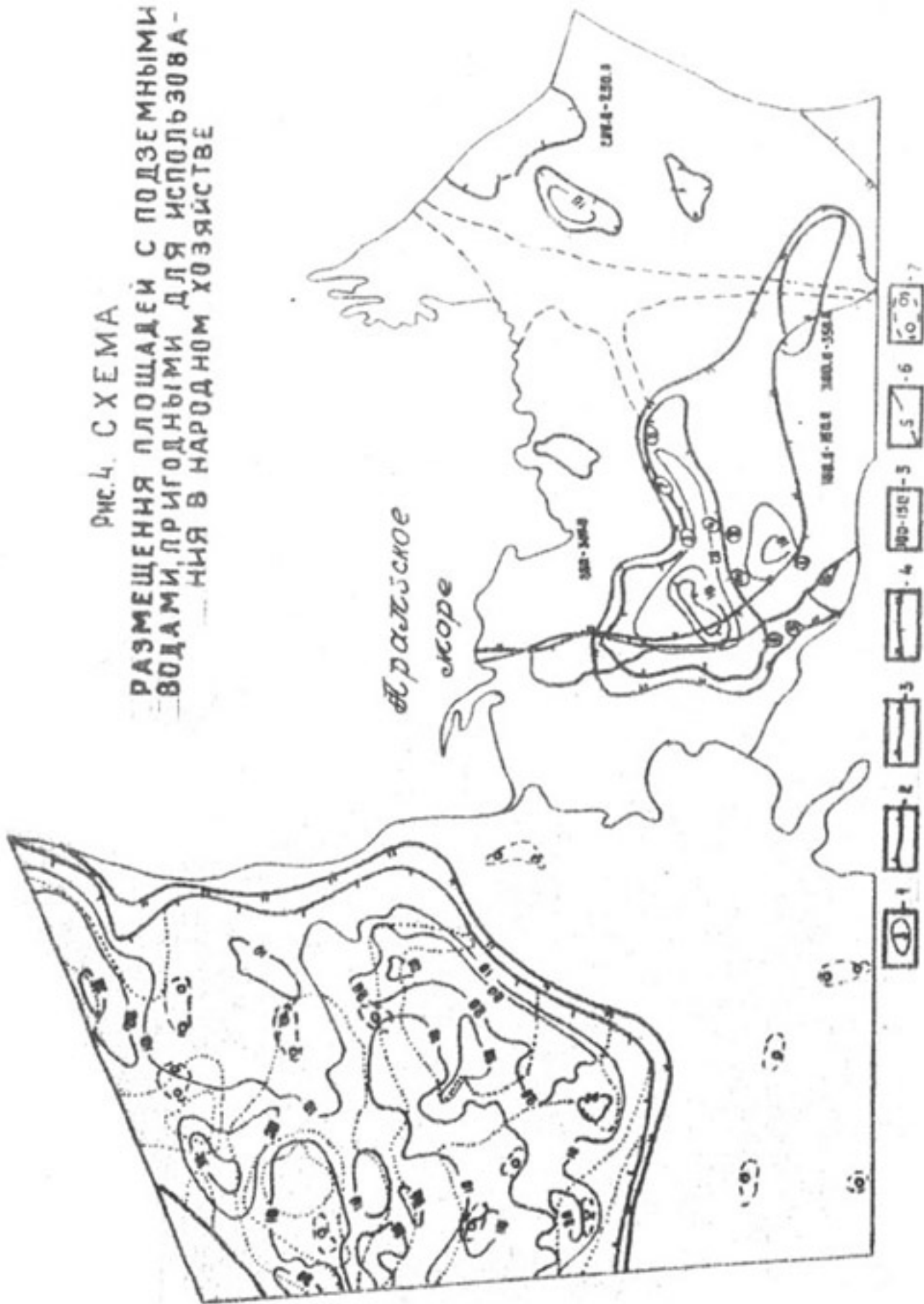
Условные обозначения к карте-схеме(рис.3).



Контуры распространения грунтовых вод, пригодных для:

1 - питьевого водоснабжения (Мо до 1,0 г/л); 2 - обводнения территории (Мо до 5,0 г/л); 3 - хозяйственно-технического водоснабжения (Мо до 15,0 г/л); 4 - орошения и обводнения за счет самоизлива (Мо до 3,0 г/л); 5 - глубина до кровли верхнемелового водоносного комплекса; 6 - изопахиты; 7 - глубина грунтовых вод; 7 - участки возможного магазинирования поверхностных вод.

Рис. 4. СХЕМА  
РАЗМЕЩЕНИЯ ПЛОЩАДЕЙ С ПОДЗЕМНЫМИ  
ВОДАМИ ПРИГОДНЫМИ ДЛЯ ИСПОЛЬЗОВА-  
НИЯ В НАРОДНОМ ХОЗЯЙСТВЕ



Условные обозначения к карте-схеме (рис. 4).

I - Приаральский бассейн формирования групп потоков грунтовых вод:

I - левобережья р.Амударьи; 2 - современной аральской дельты; 3 - палеозойских отложений (Султануиздаг и Букантау); 4 - южного побережья Аральского моря. II - Хорезм-присарыкамышский бассейн формирования групп потоков грунтовых вод; 5 - акчадарьинской дельты; 6 - области, бассейны формирования грунтовых вод; 7 - подобласти, группы грунтовых вод; 8 - подрайоны питания и формирования грунтовых вод; 9 - подрайоны транзита грунтовых вод; 10 - подрайоны разгрузки грунтовых вод; II - граница областей - бассейнов формирования грунтовых вод; I2 - граница подобластей - групп потоков грунтовых вод; I3 - граница подрайонов - зон потоков грунтовых вод; 14 - гидроизогипсы; 15 - направление движения потока грунтовых вод; I6 - изолинии кровли регионального водоупора; 17 - изолинии среднегодовых расходов на 1 км ширины потоков; I8 - граница земель существующего орошения; 19 - граница земель, перспективных к орошению; 20 - горы и останцовные возвышенности; 21 - формирующаяся дельта.

ген-четвертичных) и межпластовых (меловых) вод; приводятся характеристики мощности (в изопахитах) этих водоносных толщ и возможности использования различных технических средств эксплуатации; указываются площади с утвержденными запасами подземных вод, наносятся прикаранельные линзы пресных вод и утвержденные по ним запасы, характеризуются площади возможного магазинирования поверхностного стока, с целью искусственного создания линз пресных вод.

Мелкомасштабные гидрогеологические карты, составляемые в естественных границах артезианских бассейнов и складчатых гидрогеологических областей I порядка, должны отображать генетические особенности региона и направленность гидрогеологического процесса. Такие карты являются основой для разработки программ дальнейшего использования водных ресурсов и проведения детальных гидрогеологических исследований.

При наличии карт, раскрывающих основные особенности природной гидрогеологической обстановки, целесообразно перейти к следующему этапу картирования - составлению гидрогеологических карт в рамках административных границ. Такие карты дадут возможность увязать гидрогеологические условия с конкретными планами развития народного хозяйства и учесть особенности развития производительных сил области или края.

УДК 556.3. 332 6 (575.13)

А.Н.Султанходжаев, Д.С.Ибрагимов, Г.Ю.Азизов,  
К.А.Сабиров, А.Ирмухамедов, С.У.Латипов

ОБ ОЦЕНКЕ ВОЗРАСТА ПОДЗЕМНЫХ ВОД  
ТРЕТИЧНЫХ ОТЛОЖЕНИЙ ФЕРГАНСКОГО  
АРТЕЗИАНСКОГО БАССЕЙНА .

О понятии "возраст воды" мнения разных ученых не- сколько различны. В.П.Савченко и А.Л.Козлов под термином "возраст природных газов" (или подземных вод) понимают время, в течение которого газы или воды находятся в земной коре. Они считают, что возраст реликтовых вод равен воз- расту пород (1,4). В представлении М.Н. Митина под возрас- том пластовых вод понимается промежуток времени между нача- лом формирования вод в горной породе, слагающей пласт, и моментом наблюдения (2). А.М. Овчинников и Л.В.Горбушина (3) указывают, что понятие "возраст воды" условное, так как в большинстве случаев подземный поток представляет собой сложную динамическую систему, элементы которой меняются в ходе геологической истории, в процессе миграции самой воды в земной коре. Подземные воды состоят из смеси вод, различ- ных по происхождению и возрасту. Следовательно, под "воз- растом воды" правильнее понимать средний возраст таких сме- шанных вод. Поэтому мы в целом придерживаемся последнего положения.

Для определения возраста подземных вод тре- тичных отложений нами выбран гелий-argonовый метод В.П.Сав- ченко, усовершенствованный нами применительно к условиям Ферганского артезианского бассейна (7). Выбор гелий-арго- нового метода обусловлен тем, что на большей части изучаемой территории Ферганского артезианского бассейна (6) в толще третичных отложений распространены пластовые воды, воз- возраста которых в основном превышает 1 млн лет. Расчет возра- ста производился для вод верхненеогеновых (бактрийских), ниж- ненеогеновых (массагетских) и палеогеновых отложений.

Верхненеогеновый комплекс в периферийных частях бассейна (в областях питания современными и инфильтрационными водами и на некотором удалении от них) содержит пресные и слабосолоноватые подземные воды; в центральных частях бассейна — солоноватые и солевые, а в промежуточной зоне в полосе адырного кольца, где расположены основные нефтегазоносные структуры Ферганы, — от слабосоленных до слабых рассолов. Возраст вод, рассчитанный по усовершенствованной нами формуле В.П. Савченко (7), в разных частях бассейна различен — от 3 до 9 млн : на территории курорта Чартак (восточная периклиналь Наманганской структуры) на глубинах 500–850 м. возраст вод соответственно — 0,5 и 2,5 млн. лет; к северо-западу от курорта Чартак в Шорбулакской антиклинали на глубине порядка 2800 м — 4,4 млн. лет; в Майлисуйской группе структур (III и IV антиклинали) — от 2,3 до 6 млн лет. Возраст увеличивается в направлении к структуре Майлису IV. В ряде структур Андижанской группы (Андижанской, Ходжиабадской и Южноаламышской) отмечено резкое увеличение значений возраста пластовых вод в купольных частях антиклиналей — до 9 млн лет. В Центральной Фергане, в районе ст. Вачновская, возраст слабоминерализованных термальных минеральных вод около 1,8 млн. лет; вблизи г. Риштан на глубине 1240 м — 2,2 млн. лет, минерализация — 22 г/л.

Подземные воды нижненеогеновых отложений характеризуются как высокоминерализованые — до 300 и более г/л.

Адырная полоса и центральная зона бассейна: на площади Наманганской структуры значение возраста изменяется от 7 до 25 млн. лет. Возраст увеличивается вниз по разрезу: в пределах Северо-Восточной Ферганы возраст пластовых вод (структур Майлису IV и Восточный Избаскент) изменяется от 5 до 15 млн лет; на площади Андижанской группы структур возраст подземных вод нижнего неогена — от 3–4 млн лет (Западный Шалвантай, Ходжиабад и Южный Аламышик) — до 8–14 млн.

лет (структурн Бостон и Андижан).

В Центральной Фергане значение возраста вод соленых, рассолов, термальных увеличивается по направлению от г. Ко-канда к г. Намангану: Коканд - около 4, Гуртепе - 4,5-5, г. Наманган - 5 млн. лет.

Воды палеогеновых отложений изучались по скважинам, пробуренным на площади нефтегазоносных структур. В пределах Наманганской группы по У пласту наблюдается изменение значений возраста от 40 до 47, а по УП от 50 до 54 млн. лет. В южной полосе адирной зоны по структурам Андижан, Чимион, Сохской группы, а также на северо-востоке Ферганы по ряду антиклиналей Майлисуйской группы возраст пластовых вод изменяется от 1,5 до 17 млн. лет. Воды пестрой минерализации - от слабосоленных до крепких рассолов.

Полученные значения возраста подземных вод третичных отложений были интерпретированы согласно разработанным и принятым положениям по региональным гидрогеологическим условиям Ферганского артезианского бассейна (6). В гидрогеологическом разрезе Ферганского артезианского бассейна (6) выделяется три структурно-гидродинамических этажа. Водоносные горизонты верхнего неогена относятся к третьему этажу и характеризуются сравнительно облегченными условиями стока подземных вод, причем региональный подземный сток направлен к западу, в Приташкентский артезианский бассейн. Современный инфильтрационный этап гидрогеологического развития способствует сравнительно широкому распространению молодых подземных вод. Об этом же свидетельствуют относительно низкие величины концентрации дейтерия в составе пластовых вод - до 0,97 - 0,99. Значение возраста здесь наименьшее /из опробованных нами вод/. Увеличение возраста вод в купольных частях ряда нефтегазоносных структур является результатом влияния частичного смешивания более древних вод, разгружающихся в этих местах из нижележащих отложений через тектонические и денудационные окна. Здесь в водах верхненеогеновых горизонтов, помимо наличия не свойственных для них иода, брома, следов

сероводорода, хотя и слабых концентраций, отмечается повышенное содержание дейтерия (до 1,01). Минерализация вод также заметно возрастает. Увеличение возраста вод с глубиной их залегания (курорт Чартак, Майлису IУ) является следствием более замедленных скоростей движения самих вод.

Массагетский и палеогеновый водоносные комплексы относятся ко второму структурно-гидродинамическому этажу. На западе комплексы выклиниваются в районе Хазаринской теснини, вследствие чего развитые в них воды не имеют прямой разгрузки, как воды верхнего этажа, в Приташкентский артезианский бассейн. Очагами локальных разгрузок служат гидрогеологические окна в купольных частях антиклинальных структур полосы адыров. В полосе адыров, по современным представлениям о гидродинамике второго структурно-гидродинамического этажа Ферганского артезианского бассейна, проходит фронт встречи седиментационных вод, поднимающихся из центральных зон бассейна, и инфильтрационных, стекающих из областей современного питания. Следовательно, мы вправе допустить, что на воды нижнеогеновых отложений центральных частей бассейна (в г.г. Коканд, Наманган, пос. Гуртепе современные инфильтрационные воды в настоящее время не влияют. Теперь рассмотрим причины сравнительно низких значений возраста (4-5 млн лет) подземных вод этой центральной зоны. Из истории геолого-гидрогеологического развития района известно, что в предбактрийское и в начале бактрийского времени массагетский водоносный комплекс испытал кратковременное влияние инфильтрационного водообмена, о чем свидетельствуют относительно низкие концентрации дейтерия (0,98-0,99). Примерно аналогичны значения возраста вод в районе структур Восточный Избаскент, Западный Палванташ, Ходжиевбад и Южный Аламышик - 3-5 млн лет. Увеличение значений возраста вод до 25 млн лет на структурах Наманган и до 15 млн лет в Майлису IУ можно объяснить залеганием этих вод в нижних частях нижнего неогена и влиянием вод нижележащих отложений (как и в купольных

частях структур Бостон и Андижан - 8-11 млн. лет.

Палеогеновый водоносный комплекс на структурах, с нарушенными естественными гидродинамическими условиями пластов (в частности, по Наманганской группе) содержит воды, возраст которых синхронен возрасту вмещающих отложений. Для площадей с нарушенными естественными гидродинамическими условиями в результате длительной эксплуатации месторождений с применением законтурного заводнения (нагнетания иностранных вод в продуктивный горизонт для поддержания пластового давления) характерна пестрая, по-видимому, сильно измененная картина распределения значений возраста пластовых вод. В центральных частях бассейна в палеогеновых горизонтах можно предположить наличие подземных вод, возраст которых соответствует возрасту вмещающих отложений.

Таким образом, изменение гидрогеологических условий артезианского бассейна или его части (под действием естественных или искусственных факторов) отражается на величинах возраста подземных вод. Следовательно, данные значения возраста можно использовать в комплексе с другими геолого-гидрогеологическими показателями для восстановления палеогидрогеологических и изучения современных гидрогеологических условий артезианских бассейнов и определения степени их изменения (и в частности гидродинамики) под влиянием хозяйственной деятельности человека. Кроме того, проведенные исследования подтверждают правильность высказываний А.М. Овчинникова и Л.В. Горбушиной, что в составе водоносных горизонтов, в основном, содержатся воды различного возраста и происхождения. Однако, достаточно часто встречаются подземные воды, возраст которых синхронен возрасту вмещающих отложений.

#### Л и т е р а т у р а

Г. А. Л. Козлов

Проблемы геохимии природных газов.

Гостоптехиздат, 1950

2. М.Н. Митин Способы расчета возраста пластовой воды по содержанию в ней редких газов. Труды ВНИИНефть, вып.9. Гостоптехиздат, 1956.
3. А.М. Овчинников, Л.В. Горбушина Вопросы определения возраста подземных вод. Изв. высш. учеб. завед. геол. и развед., М., 1965, 2.
4. В.П. Савченко Законы, управляющие системой жидкостей, газы и их приложение для выяснения генезиса природных газов. "Природные газы". М., 1936, II.
5. А.Н. Султанходжаев К характеристике изотопного состава подземных вод Ферганского артезианского бассейна. "Узб. геол. журн.", 1966, № 6.
6. А.Н. Султанходжаев О гидродинамических условиях глубоких водоносных горизонтов Ферганского артезианского бассейна. "Узб. геол. журн.", 1967, № 2.
7. А.Н. Султанходжаев Об определении возраста подземных вод Ферганского артезианского бассейна. "Узб. геол. журн.", 1971, 2.

О Г Л А В Л Е Н И Е

Султанходжаев А.Н., Куликов Г.В., Спиридов А.И., Трофимова И.Б., Азизов Г.Ю.	- О значении изучения возра- ста подземных вод по соот- ношению радиоактивных и ра- диогенных газов для исследо- вания тектонических процес- сов.....	3
Сабиров К.А.	- О результатах картирования подземных вод повышенной минерализации Средней Азии.....	10
Куликов Г.В., Козорез С.Е., Филиповский Н.А., Хамраев М.Р.	- Геолого-исторические усло- вия формирования юрского водонапорного комплекса Юго-Западного Узбекистана... .	21
Султанходжаев А.Н., Чалов П.И., Латипов С.У.	- О комплексном использова- нии стабильных и радиоак- тивных изотопов в изуче- нии гидрогеологических ус- ловий Приташкентского ар- тезианского бассейна.....	35
Алексеев Ф.А., Соколовский Л.Г. Султанходжаев А.Н., Танеев Р.Н.	- К вопросу об областях раз- грузки Каракумского арте- зианского бассейна.....	48
Горобушин Л.В., Султанходжаев А.Н., Спиридов А.И., Тыминский В.Г., Ирмухамедов М.А.	- Об использовании радиоизо- топных показателей при вы- боре районов захоронения промышленных отходов.....	66
Спиридов А.И., Султанходжаев А.Н., Сурганова Н.А., Тыминский В.Г.	- Некоторые вопросы методики и техники изучения изотопно- го состава урана в подзем- ных водах.....	81

Куликов Г.В. Салтейская Э.Н. Пашковский В.П. Кушниров И.В.	-Газовый состав подземных вод газонефтеносных отложений За- падного Узбекистана.....	87
Султанходжаев А.Н. Стойнов Т.Ф.	-Условия формирования сульфид- ных метаново-азотных высоко- минерализованных вод и рас- солов Оби-Шифо.....	91
Куликов Г.В. Вишняков А.С. Ходжибаев Н.Н. Соколов В.Н.	-О методике мелкомасштабного гидрогеологического картиро- вания.....	100
Султанходжаев А.Н. Ибрагимов Д.С. Азизов Г.Ю. Сабиров К.А. Ирмухамедов А. Датилов С.У.	-Об оценке возраста подземных вод третичных отложений Фер- ганского артезианского бас- сейна.....	114

Редактор Д.П.Баканова

Р06906 Подписано к печати 29/Х-Н.  
Формат 15/20 печ. л. 7,6 изд. л. 6,6  
Тираж 500, Цена 66  
Зар. С

Отпечатано на ротаприите  
Научно-производственного гидрогеологического  
объединения "Турен", Навои, 23